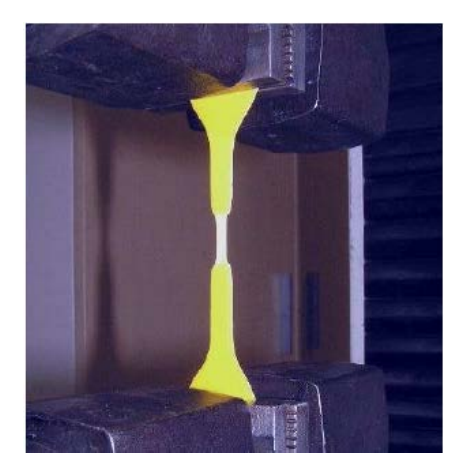
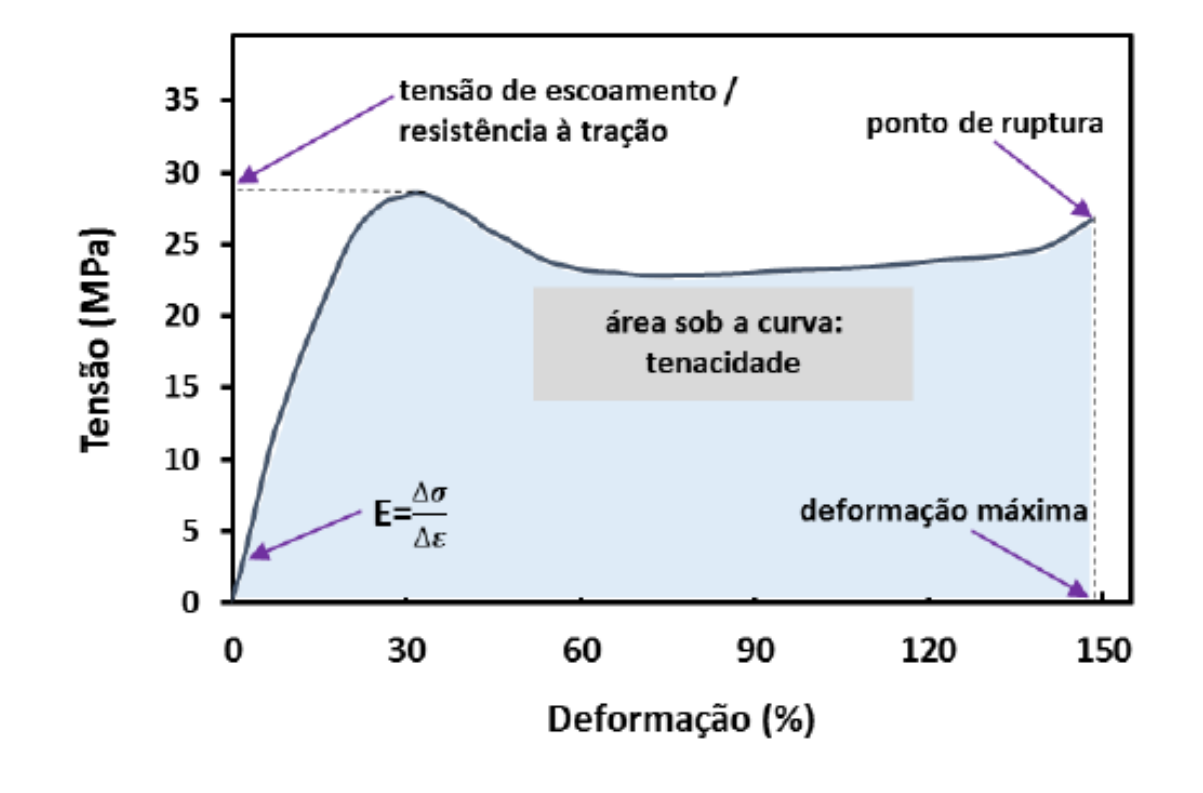
### Comportamento Mecânico



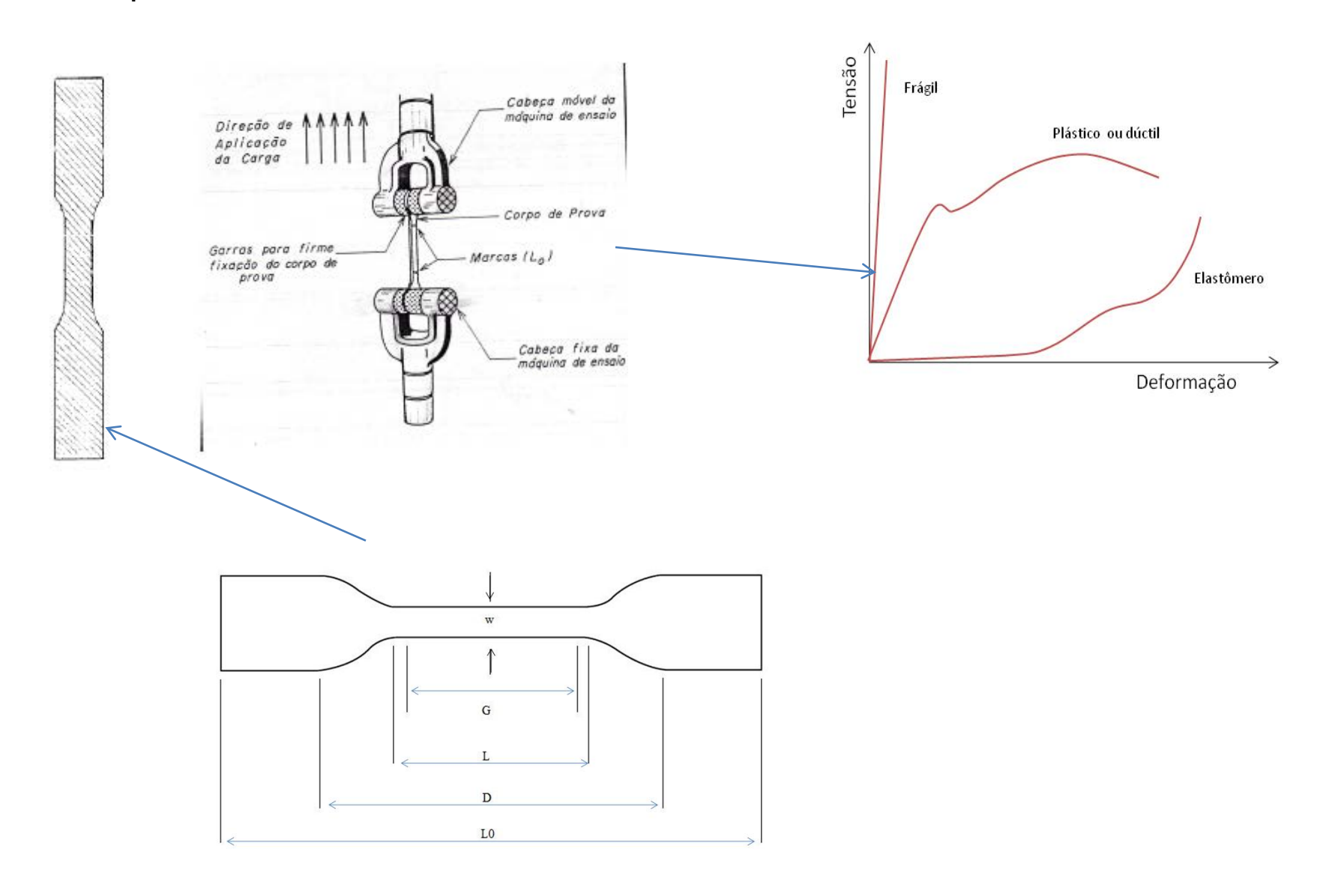
Tração



Flexão

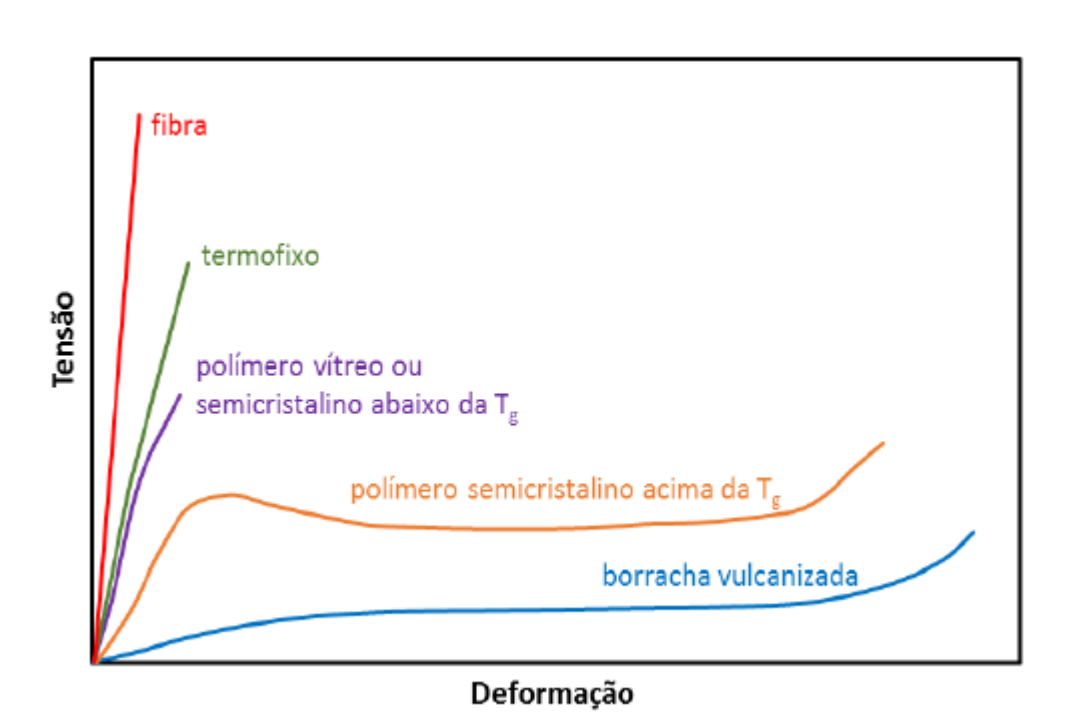


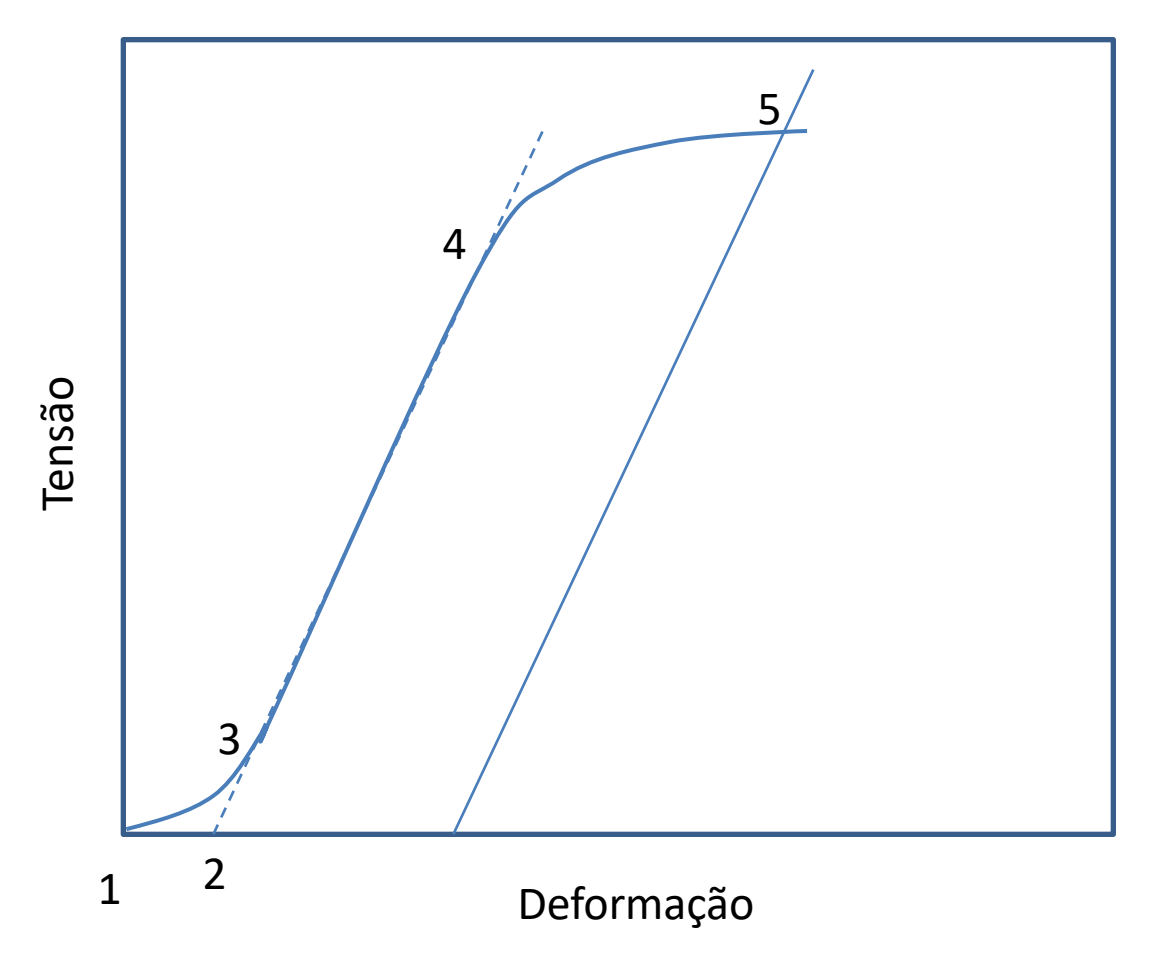
#### Propriedades Mecânicas



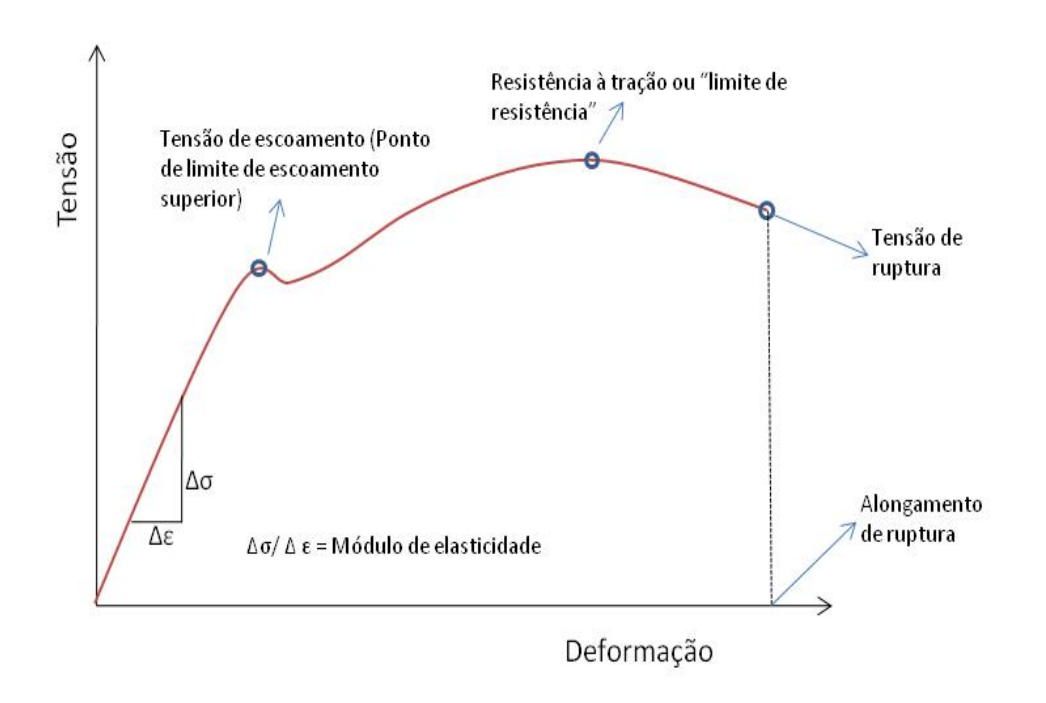
#### Ensaios principais:

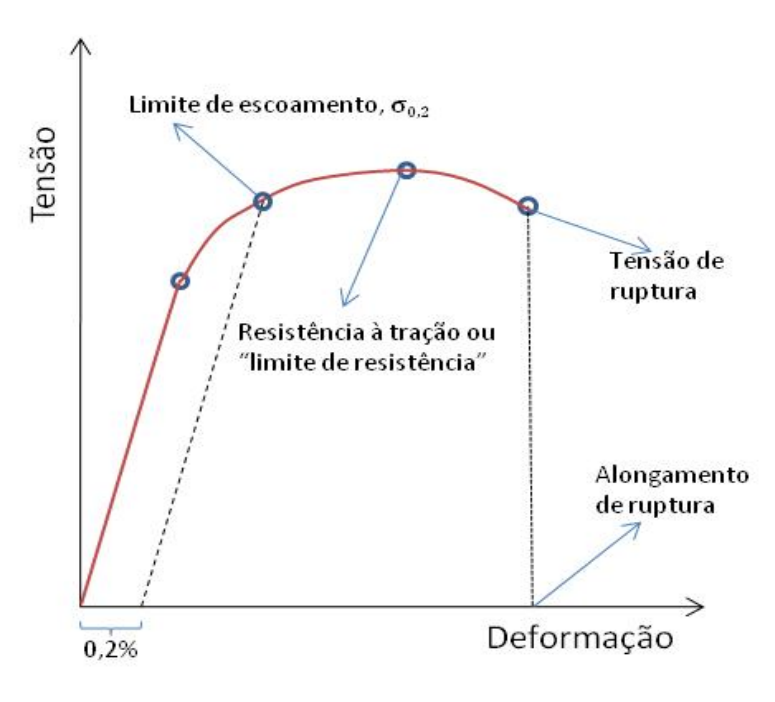
- Tração
- •Flexão
- •Compressão
- Cisalhamento
- •Impacto
- Dureza

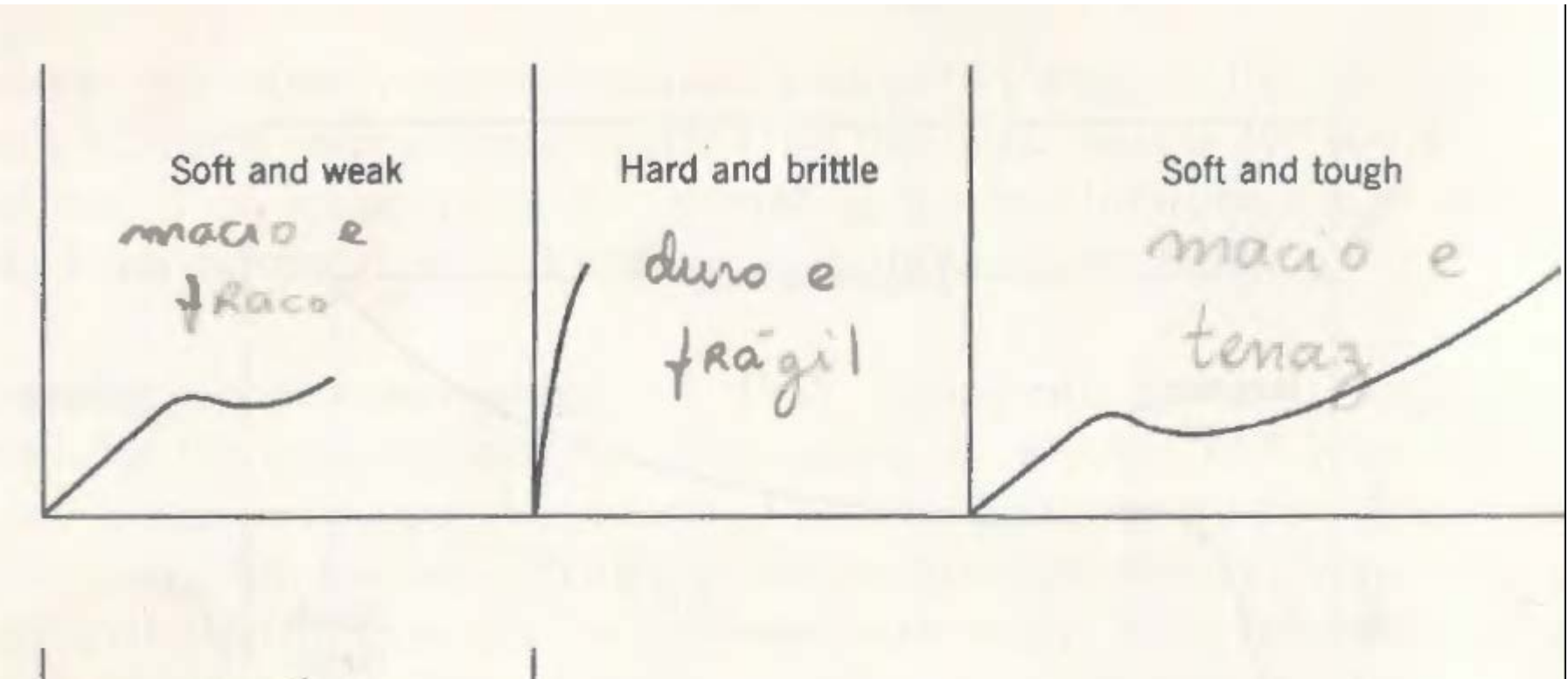




Curvas de Tensão-deformação. Em geral as curas de tensão-deformação típicas apresentem uma região inicial não linear indicada por 1-3, que não representem em absoluto uma propriedade do material, mas sim um artefato devido a acomodação do material na garra ou ao alinhamento no sentido da tração. Nesse caso deve-se tomar a linha 2-4 tendo como ponto zero o ponto 2. O módulo de elasticidade deve ser tomado então entre os pontos 2 e 4 (linha pontilhada).







Hard and strong

Hard and tough

dunce

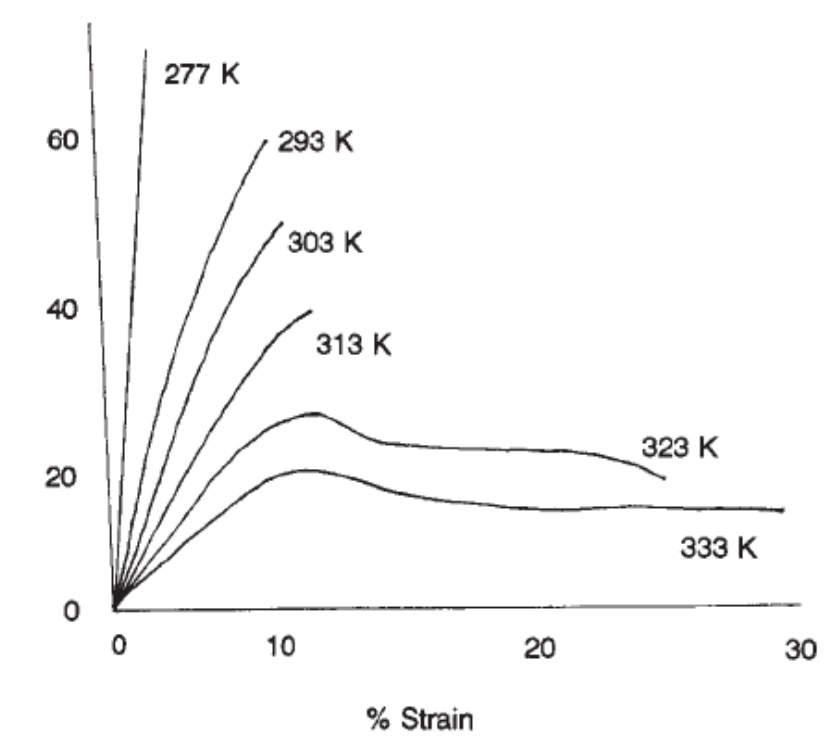
tourse

tenag

Descrição do polímero	Características das curvas tensão-deformação			
	Modulo	Limite de escoamento	Limite de resistência	Alongamento na ruptura
Macio e frágil	Baixo	Baixo	Baixo	Moderado
Macio e resistente	Baixo	Baixo	Limite de escoamento	Elevado
Duro e frágil	Elevado	Não observado	Moderado	Baixo
Duro e forte	Elevado	Elevado	Elevado	Moderado
Duro e resistente	Elevado	Elevado	Elevado	Elevado

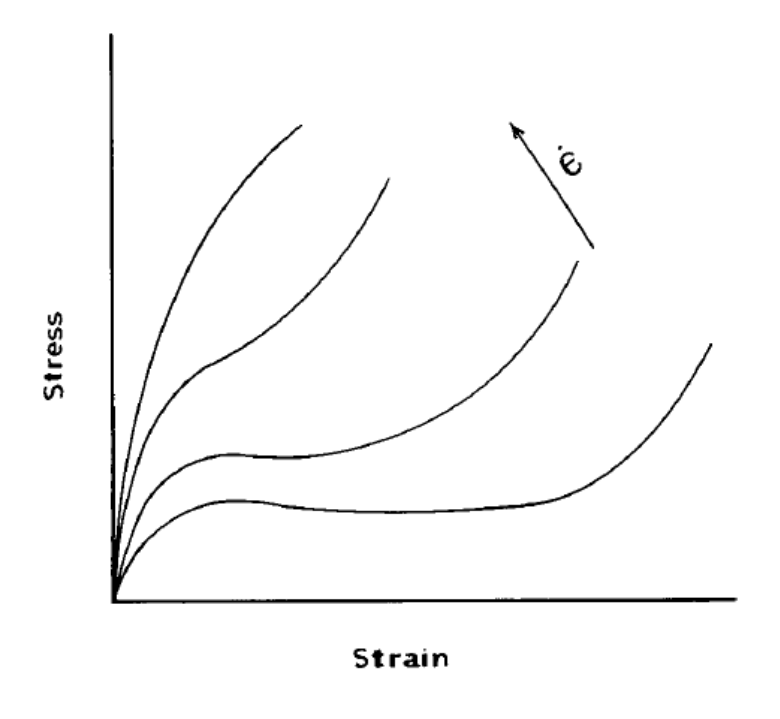
#### Tensão- deformação

Os polímeros apresentam respostas similares a temperatura e a taxa de deformação (tempo), como previsto pela teoria do princípio de superposição tempo-temperatura. O efeito da diminuição da temperatura equivale ao aumento da taxa de deformação.



Stress(MPa)

Variação do comportamento de tensão –deformação do PMMA com a temperatura. Gilmar e Williams JCE, 73, 1063, 1996.



Representação esquemática do efeito da taxa. Ebewele 13.32.

#### Microfibrilamento (crazing)

Em um ensaio de tração é possível observar em determinados estágios do processo a ocorrência de microfissuras que podem ser observadas na direção ortogonal à tensão aplicada.

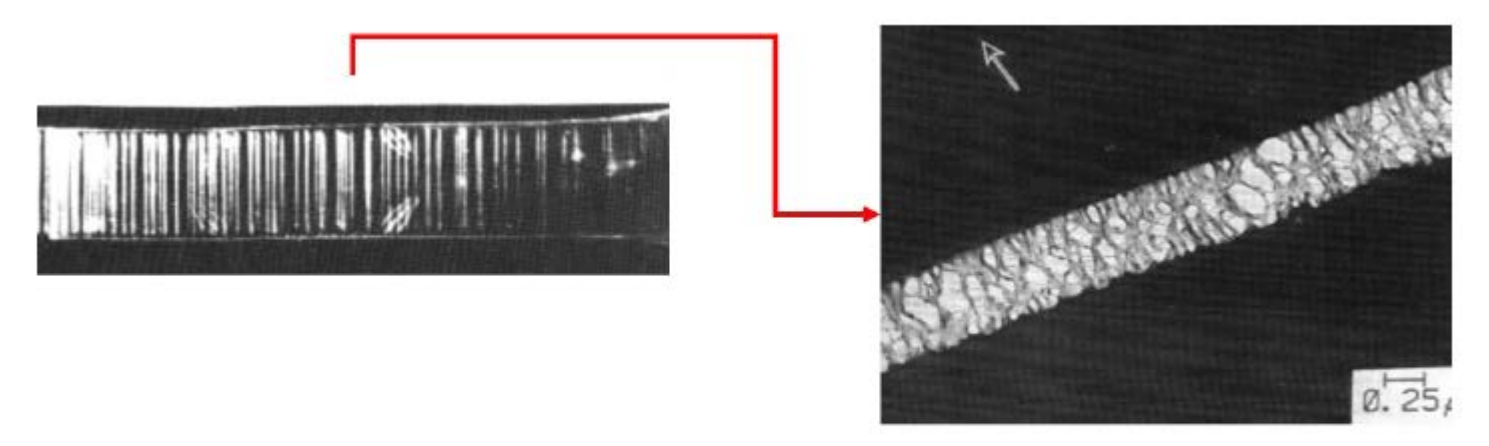
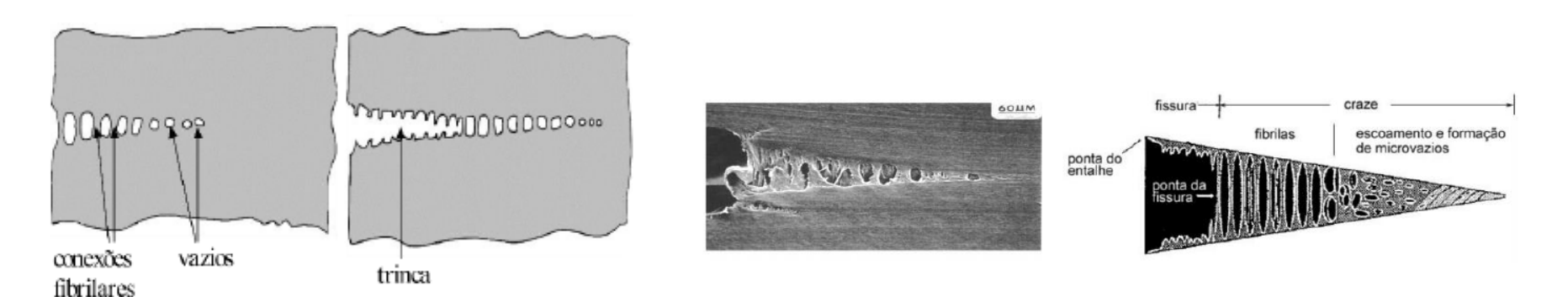
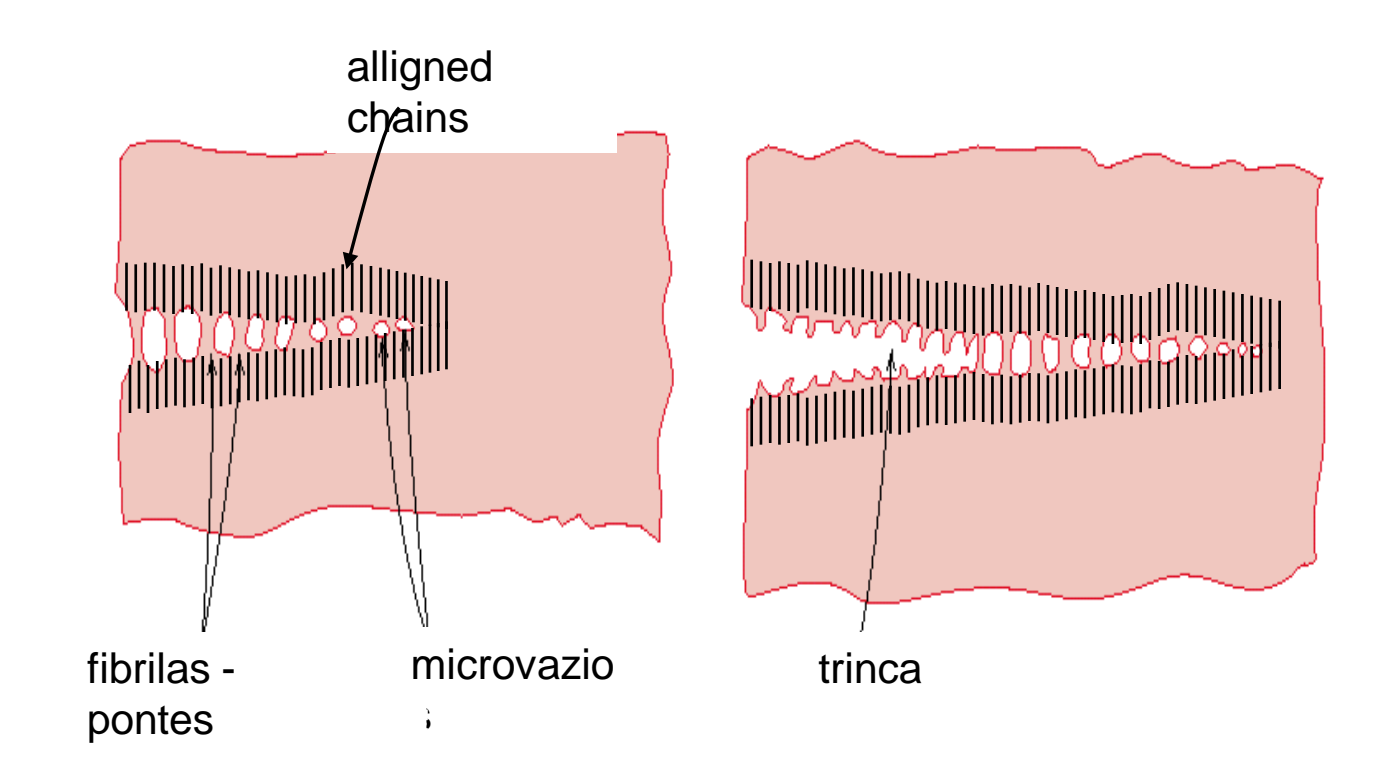
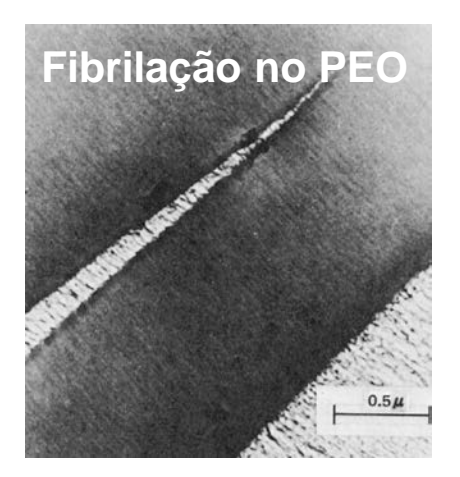


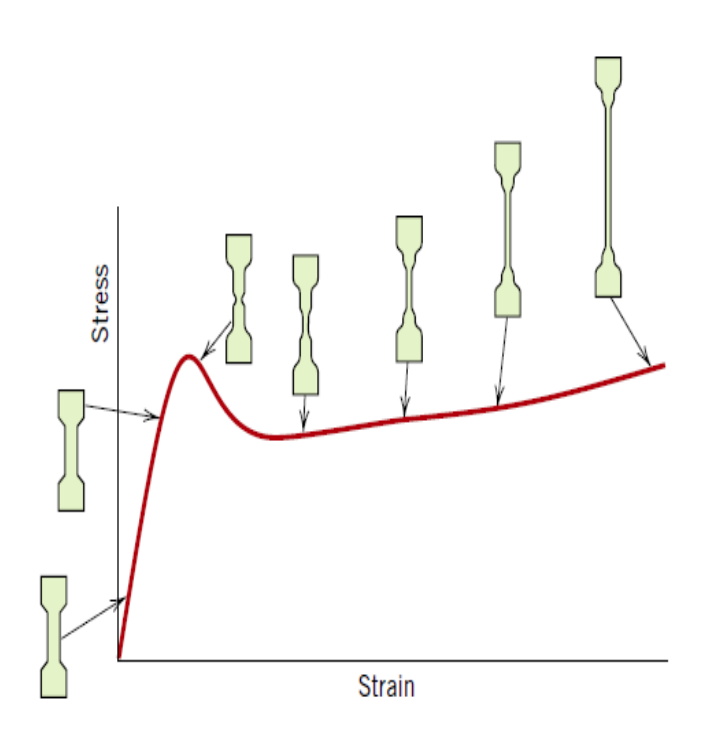
Figura 6.7. Aspecto geral de um corpo de prova de um polímero frágil após ensaio de tração e imagem por microscopia eletrônica do interior de uma fissura (Mills et al. 1994).

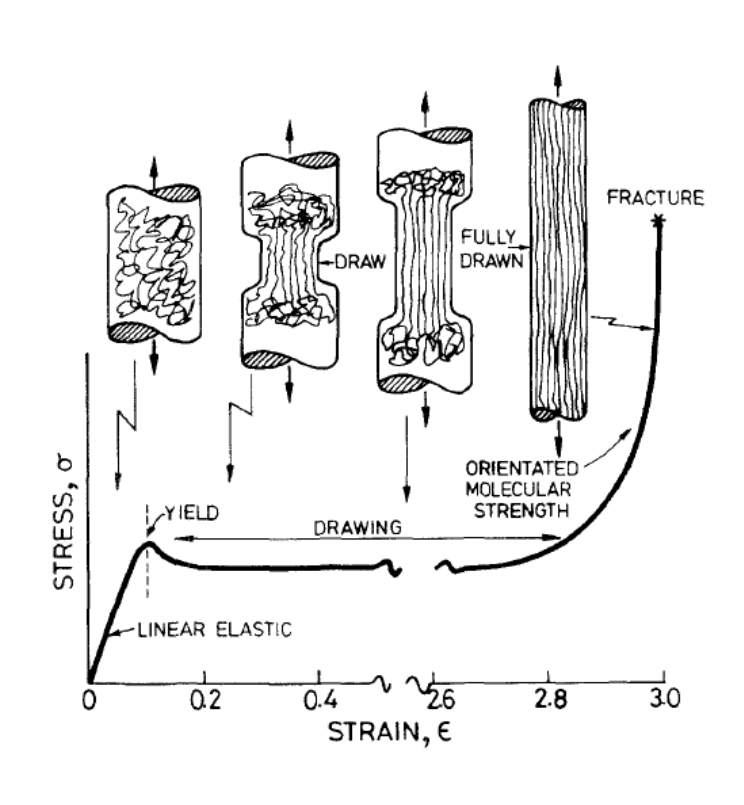




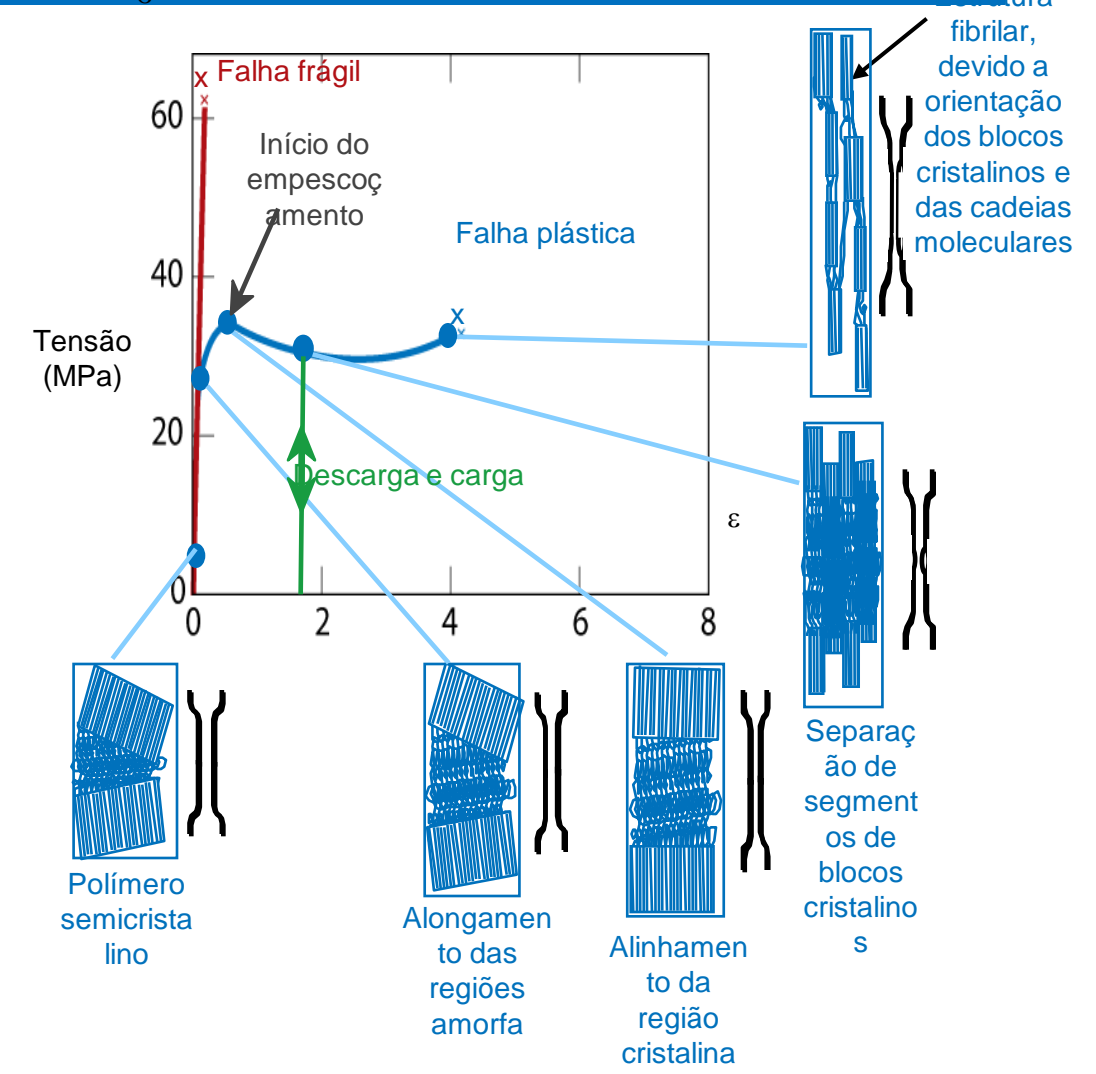


### Escoamento plástico (yielding)



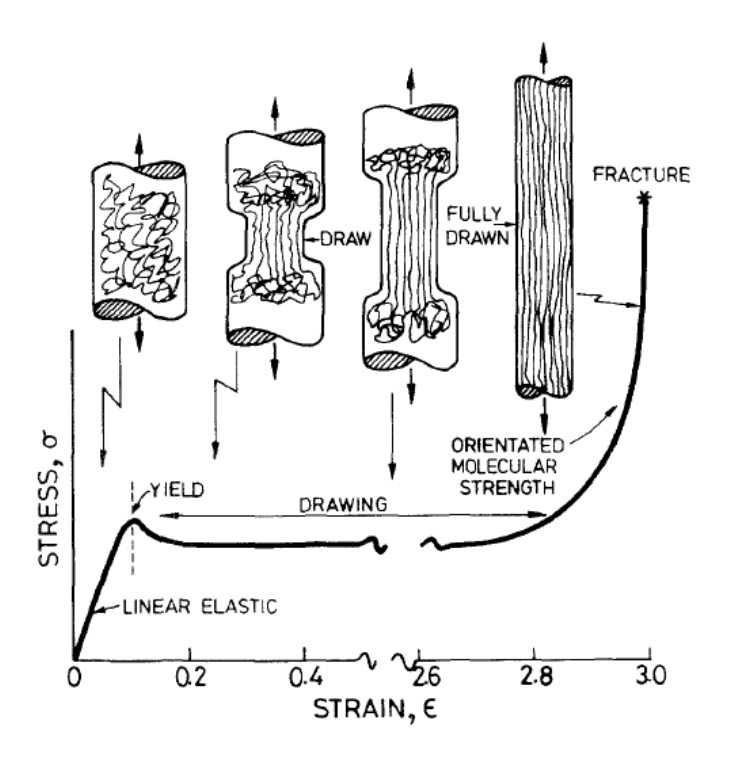


### Defeito da estrutura e <u>deformação de</u> Polímeros Semicristalinos



Stress-strain curves adapted from Fig. 15.1, *Callister 7e.* Inset figures along plastic response curve adapted from Figs. 15.12 & 15.13, *Callister 7e.* (Figs. 15.12 & 15.13 are from J.M. Schultz, *Polymer Materials Science*, Prentice-Hall, Inc., 1974, pp. 500-501.)





Semicristalino

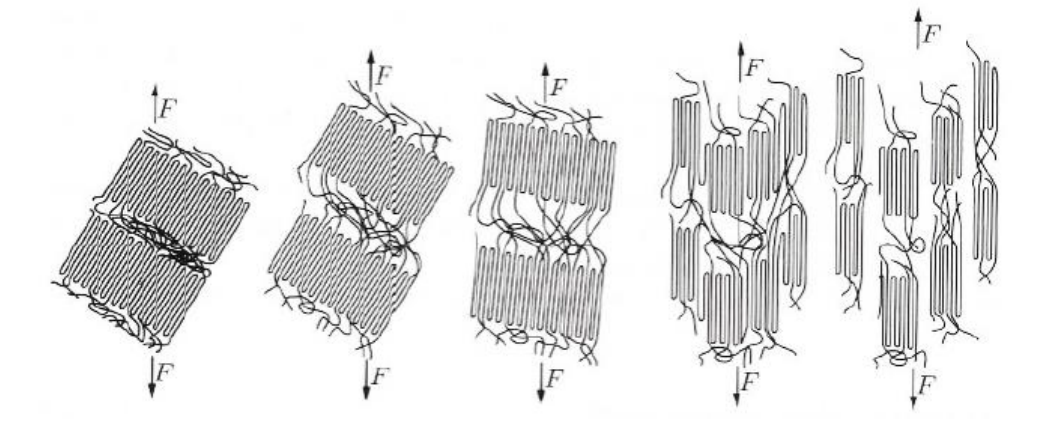


Tabela 6.1. Exemplos típicos das diversas influências no módulo elástico de polímeros. Dados coletados de fontes diversas.

Polímero	Módulo (MPa)	Tipo de efeito	
PET amorfo	1400	Catabaltatidada	
PET 40% cristalino	2000	Cristalinidade	
Poliamida 6 a 20°C	2700	<b>.</b>	
Poliamida 6 a 50°C	1400	Temperatura	
PEAD	800	Grupos	
Poliestireno	3100	volumosos	
PEAD	800	51.11	
PVC	3000	Polaridade	
PEAD injetado	800	o »	
PEAD fibra (ultraorientado)	90000	Orientação	
PVC	3000		
PVC com plastificante (20% DOP)	120	Aditivos	
PVC com carga (30% mica)	4200		

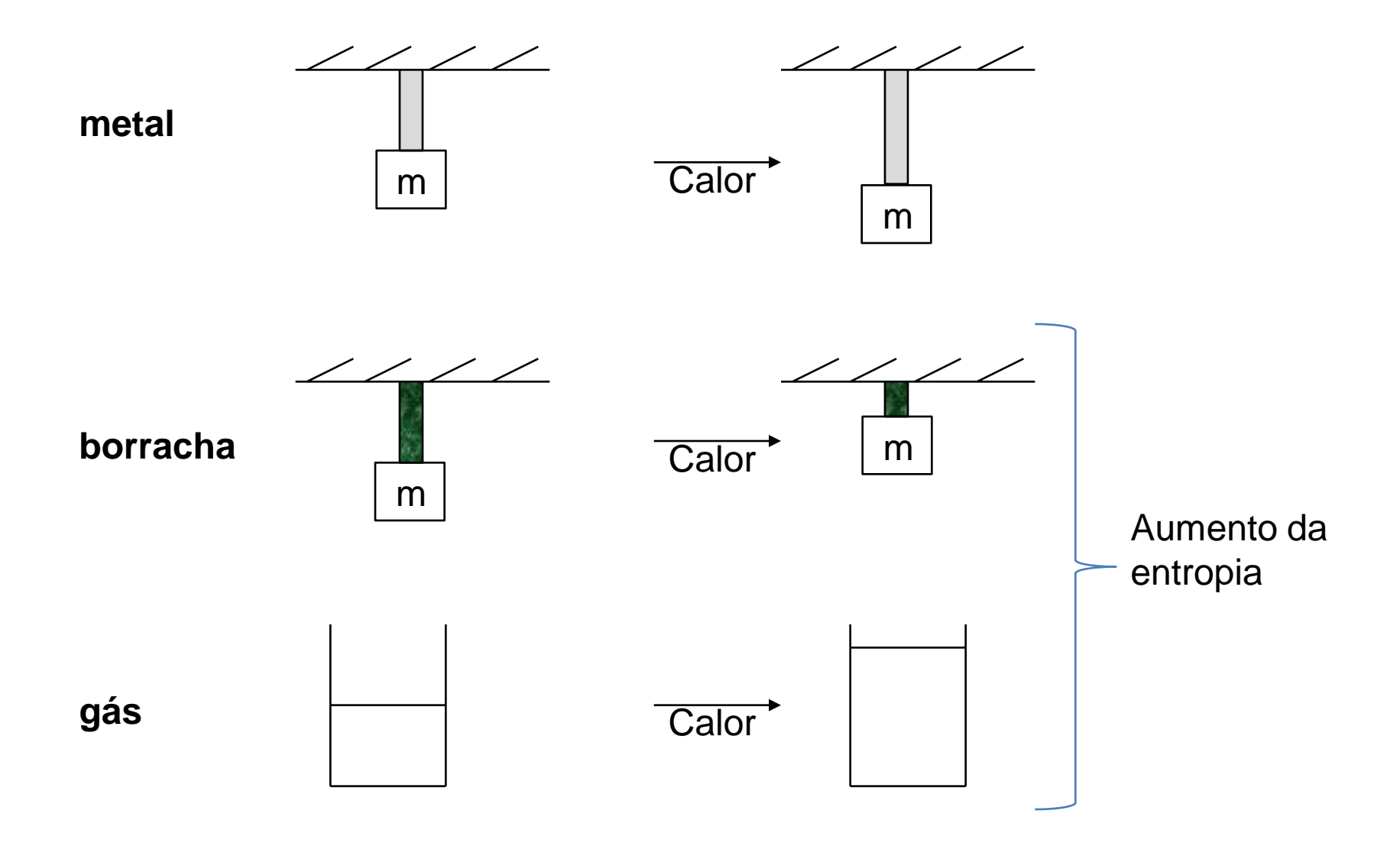
### Elastômeros (A borracha) <u>A origem da força retrativa</u>

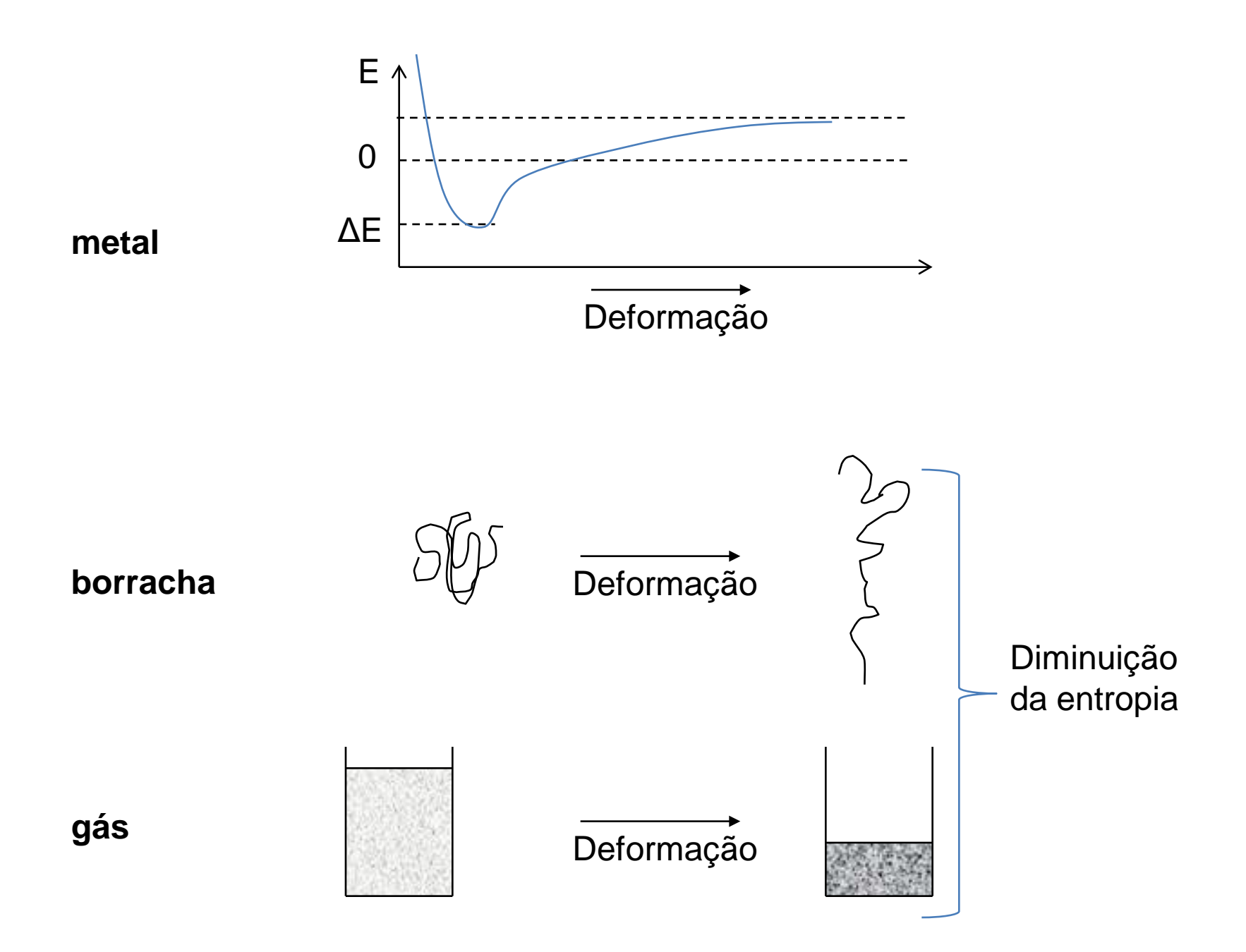
O aumento na temperatura ocasionará as seguintes reações nos materiais: a) uma lâmina metálica tensionada, b) em um pedaço de borracha tensionado e d) em um gás pressurizado:

O metal sofre um aumento na sua deformação (aumento da oscilação dos átomos em torno de sua posição de equilíbrio)

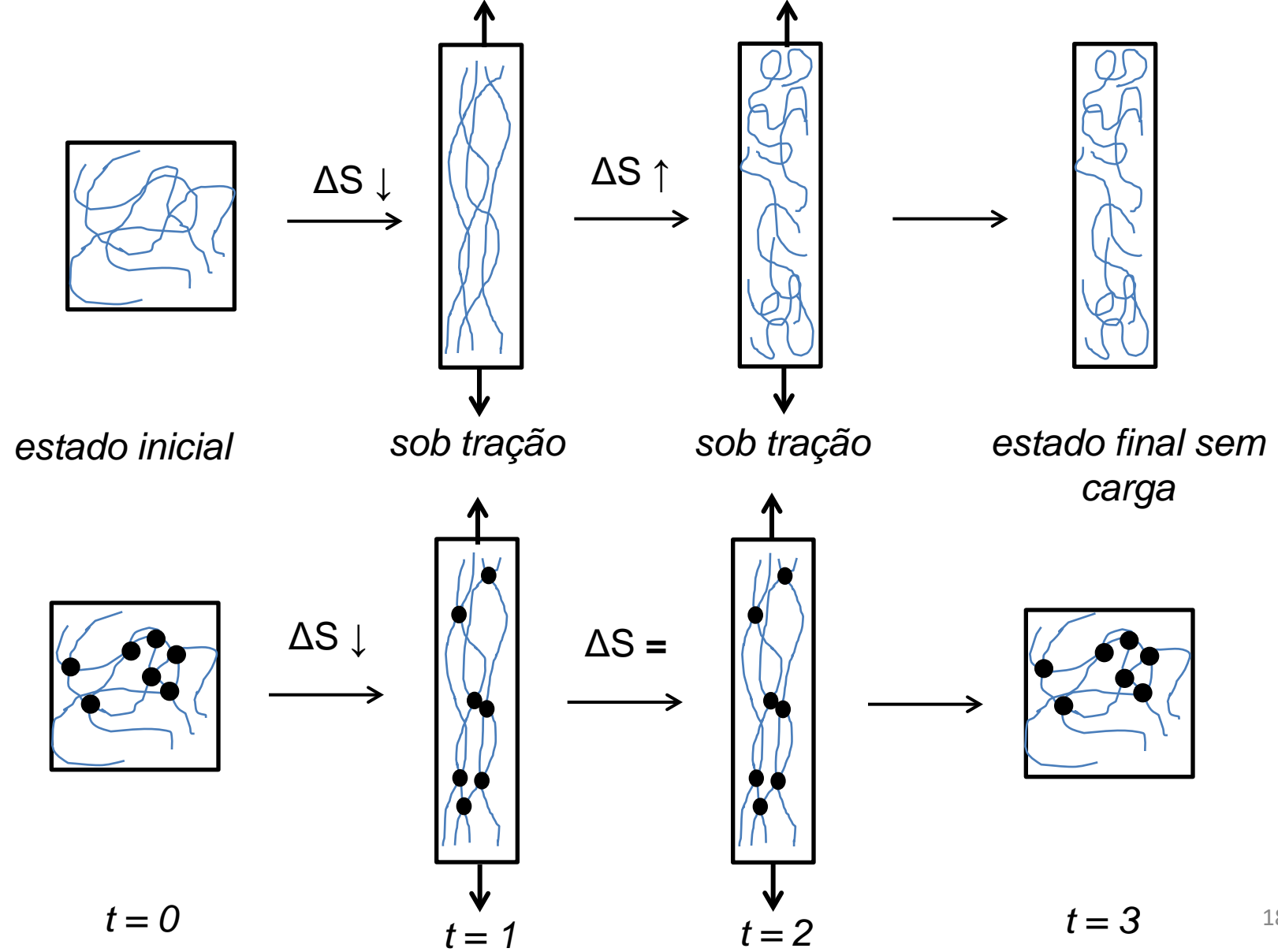
A borracha sofre uma retração (A expansão provoca uma redução da entropia. O Aquecimento favorece a movimentação, o que permite uma diminuição da entropia com a retração das cadeias)

O gás sobre expansão (o aquecimento permite a expansão e o aumento da entropia que foi reduzida com a compressão.





#### Deformação e relaxação de um elastômero e um termoplástico. Variação da entropia.



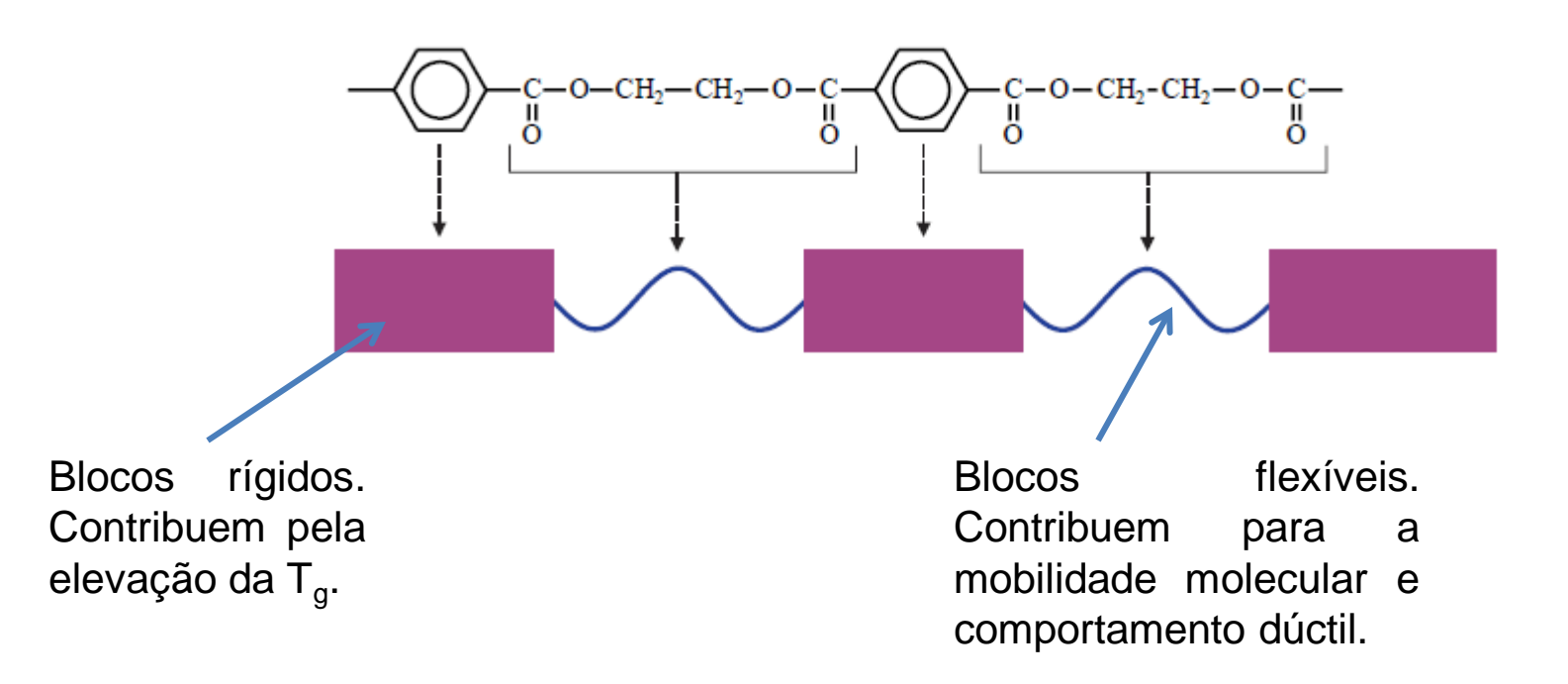
#### Conceitos correspondentes entre um gás ideal e um elastômero

PV = nRT	G = nRT	
A entropia é calculada a partir da probabilidade de encontrar <i>n</i> moléculas em um dado volume	A entropia é calculada a partir da probabilidade de encontrar a distância ponta-a-ponta $r$ em $r_0$	
A probabilidade do volume do gás decrescer espontaneamente $(\delta U/\delta V)\tau = 0$ , assumindo que a energia interna é zero	Probabilidade de um elastômero se alongar espontaneamente $(\delta U/\delta V)\tau$ , $v=0$ , a energia interna é assumida como constante.	
O Volume molar do gás é zero	O elastômero é assumido como sendo incompressível (volume molar é constante)	
Pressão P é dada por –(δF/δV)τ	A força retrativa f é dada por $-(\delta F/\delta V)\tau$ ,v	
Sperling pg. 442	$E = \frac{3RT\rho}{M_c} \qquad \begin{array}{l} \text{Onde R \'e a constante universal dos} \\ \text{gases, T a temperatura absoluta, } \rho \text{ a} \\ \text{densidade e Mc a massa molar m\'edia} \\ \text{entre os pontos de reticulação.} \end{array}$	

r = comprimento de contorno (L)

#### Deformação pseudo-dúctil (elástica forçada)

Caso do PET que apresenta  $T_g = 70$  °C. Na temperatura ambiente está no estado vítreo. Contudo, não apresenta um comportamento frágil, mas dúctil. Outros exemplos: PBT, PEEK, PC, PAs.



**Transição** β ~ **- 60** °**C** – Responsável pela tenacificação à baixa temperatura.

#### Deformação pseudo-dúctil

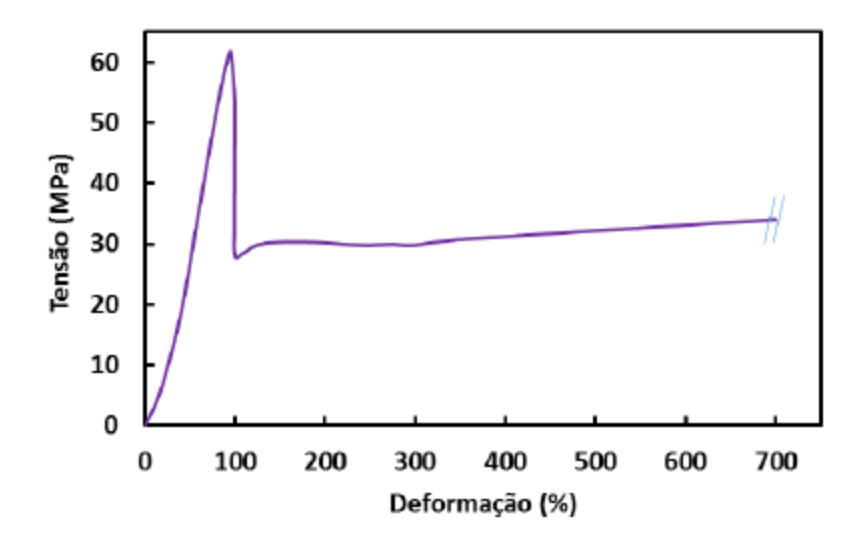


Figura 6.17. Curva tensão-deformação de uma amostra de PET realizada na temperatura ambiente, que não rompeu durante o ensaio. Dados baseados em (Teofilo and Rabello 2015).

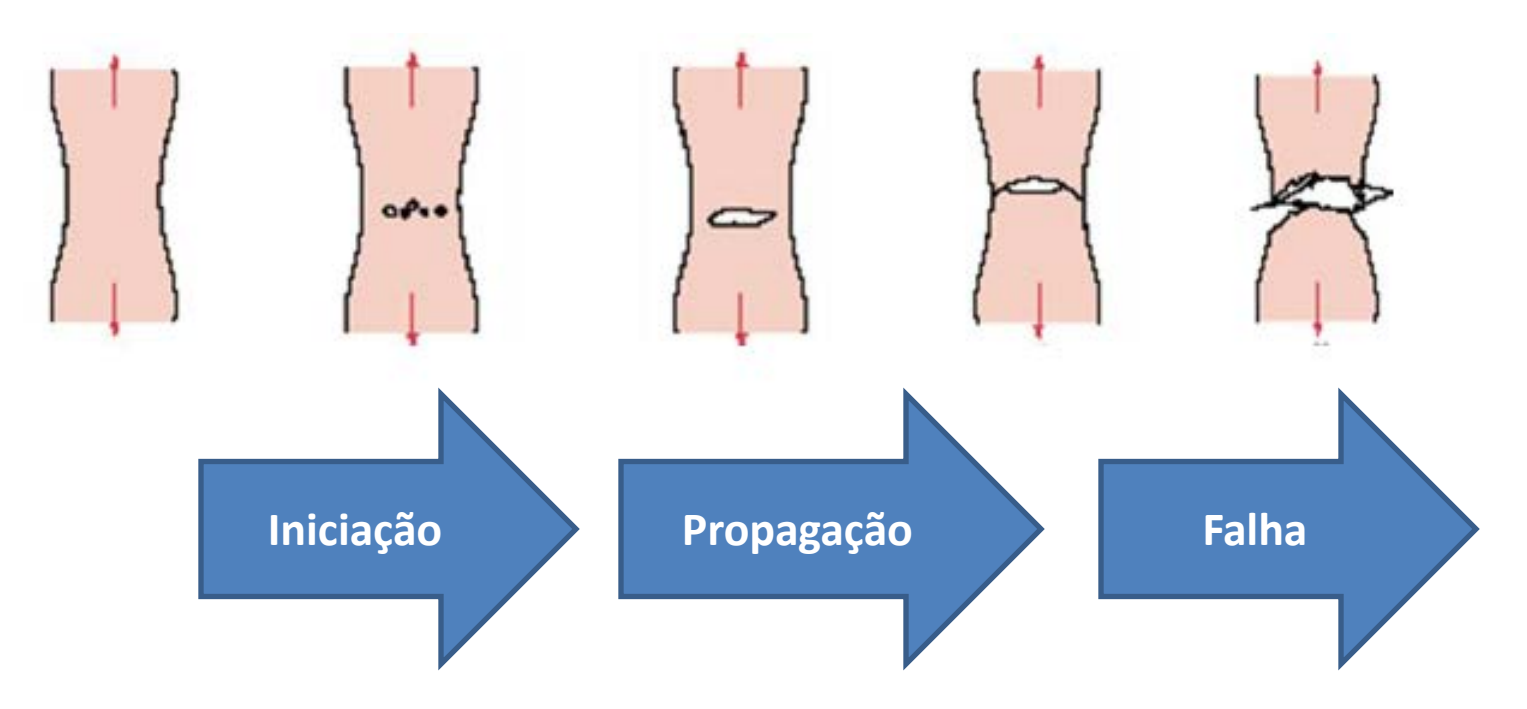
Observe que se assemelha a uma deformação plástica convencional, onde ocorre a formação de pescoço após o escoamento.

Tabela 6.2. Valores de  $T_g$  e  $T_{g\beta}$  para alguns polímeros comerciais. Dados obtidos de fontes diversas.

Polímero	T <sub>g</sub> (°C)	T <sub>gβ</sub> (°C)
PET	70	-60
PBT	55	-100
Policarbonato	145	-90
PVC	80	-20
PMMA	105	10
PA 6	50	-20
Polipropileno	-10	-60
Poliestireno	100	80

# Fratura

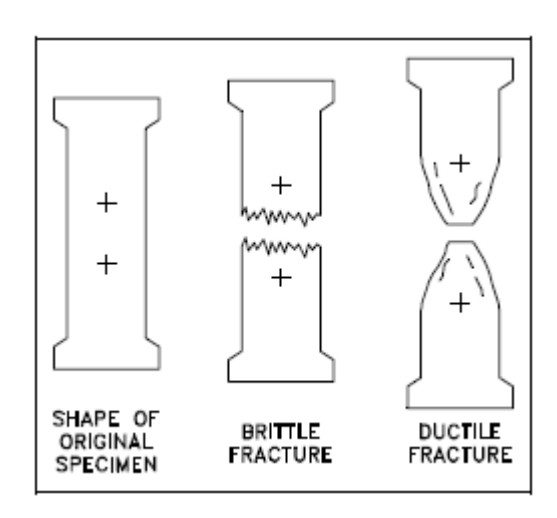
### O processo de Fratura



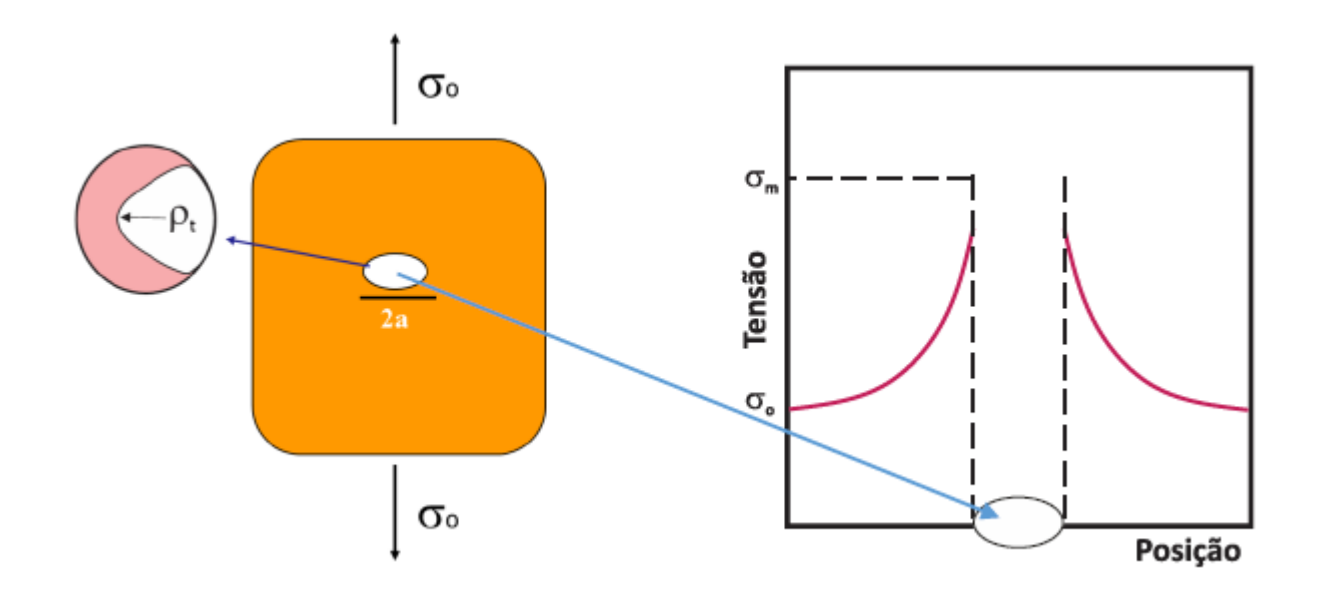
**Iniciação**: Concentração de tensão (defeitos internos ou na superfície) que geram então uma trinca.

Propagação: Pode ser dúctil ou frágil.

Falha: Catastrófica ao final.



#### Mecânica da Fratura



A resistência mecânica de um material (e isso vale para todos os materiais, não apenas para os poliméricos) é muito menor do que o valor teórico de resistência, calculado a partir das energias de ligação entre os átomos. Em 1921, o engenheiro inglês Alan Arnold Griffith desenvolveu uma teoria, que é a base da mecânica da fratura até hoje, propondo que a resistência mecânica muito mais baixa observada seria devido à defeitos presentes, que amplificam localmente a tensão aplicada (Griffith and Taylor 1921).

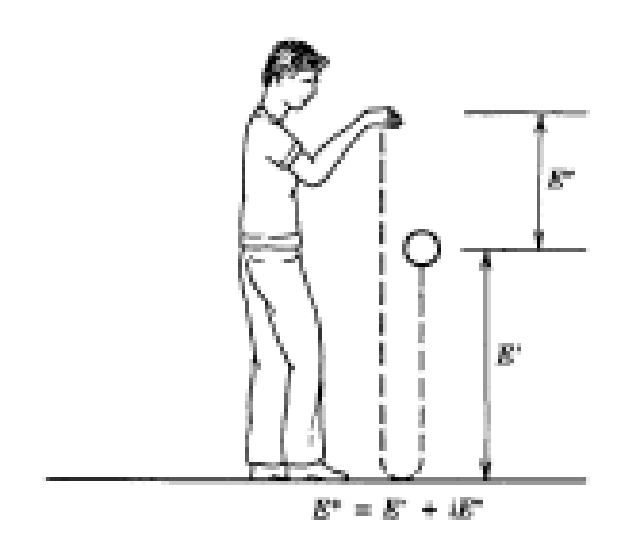
#### Fator de concentração de tensão crítico Kc

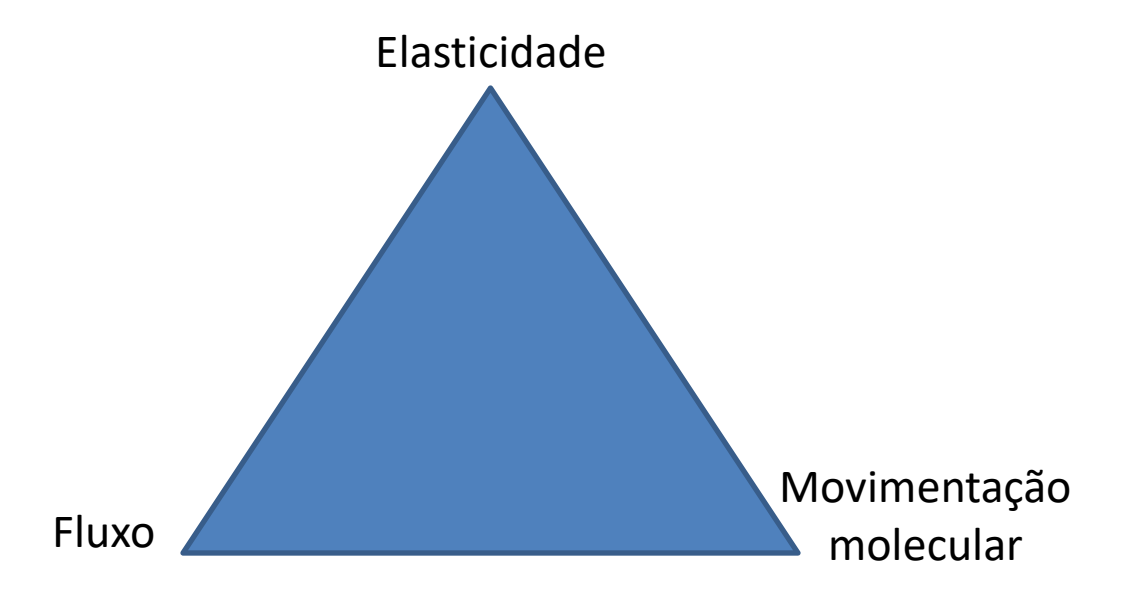
$$\sigma_m = \sqrt{2\sigma_0 \left(\frac{a}{\rho_t}\right)}$$

$$K = \frac{\sigma_m}{\sigma_o}$$

Polímero	KI <sub>c</sub> (MPa.m½)
Epóxi	0,6
Epóxi tenacificado	2,3
PA 66 (seca)	3,0
PA 66 (úmida)	7,7
Poliestireno	0,7
Polipropileno	3,3
Poliacetal (POM)	4,0

### Viscoelaticidade dos Polímeros





Materiais reais exibem sempre alguns elementos das duas características, fluxo e elasticidade.

- •Os líquidos não são totalmente fluídos puramente Newtonianos e,
- •Os sólidos não apresentam comportamento puramente elástico.

Devido as cadeias longas dos polímeros (*natureza macromoleular*), suas características viscoelásticas são especialmente marcantes.

#### Consequências da Viscoelasticidade dos Polímeros

- 1. As propriedades de tensão-deformação são muito dependentes da taxa de deformação aplicada. Para os materiais tradicionais (metais e cerâmicas, o comportamento de tensão deformação é essencialmente independente da taxa de deformação.
- 2. Sob carga constante, a deformação dos materiais poliméricos aumenta com o tempo (fluência "creep").
- 3. Quando um polímero é submetido a carga constante, a tensão requerida para manter a deformação diminui com o tempo (relaxação de tensão ).
- 4. A deformação produzida em um polímero sob tensão senoidal apresenta componentes em fase e fora de fase, sendo a defasagem (ângulo) entre a tensão e a deformação nos dá uma medida da fricção interna energia mecânica transformada em calor.

Dependendo da velocidade (escala de tempo) com a qual um polímero é deformado, ele pode se comportar como um sólido ou como um líquido. Este comportamento é denominado de comportamento viscoelástico ou resposta do material.

#### Considerando dois regimes de deformação:

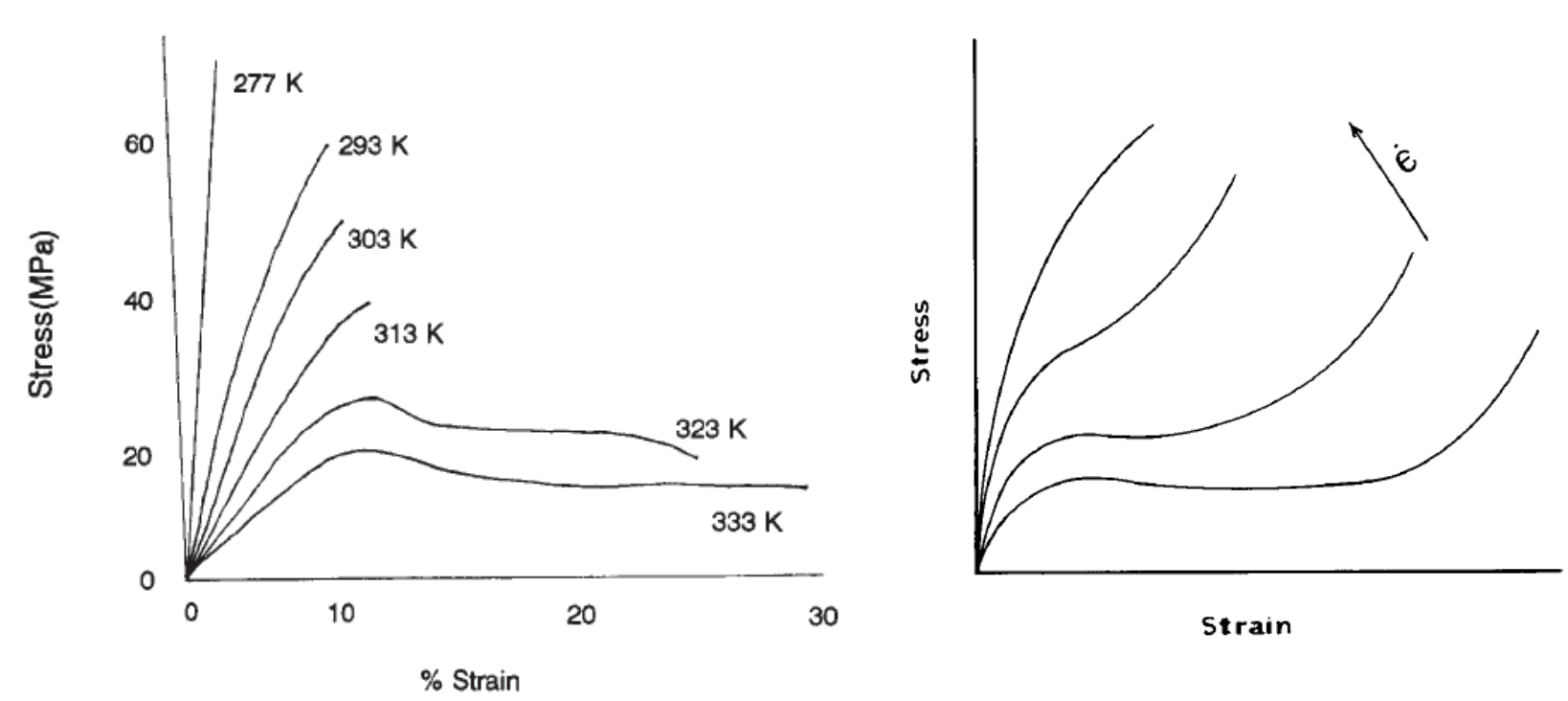
- √ Viscoelasticidade linear: pequenas deformações
- ✓ Viscoelasticidade não-linear: **grandes deformações**, inclui o estudo da reologia dos polímeros, em especial acima da T<sub>g</sub> e no estado fundidos.

Na viscoelasticidade linear o teste de *relaxação sob tensão* é interpretado sob a ótica do princípio *de superposição tempo-temperatura* e do princípio de superposição de Boltzmann.

Antes de discutirmos o teste de relaxação sob tensão, vamos discutir as cinco regiões da viscoelasticidade.

### Revendo o comportamento de Tensão- deformação em função da temperatura e da taxa de deformação

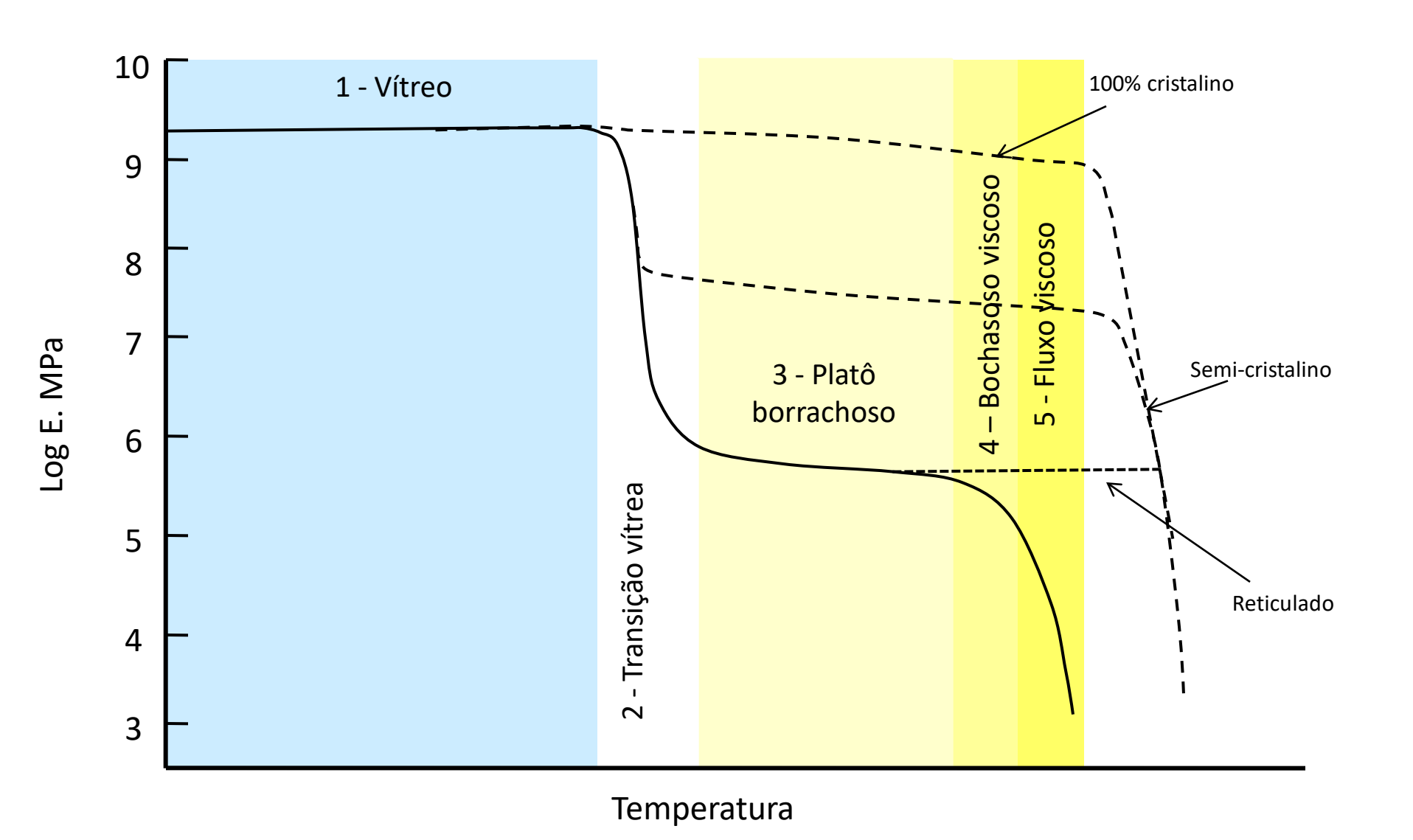
Os polímeros apresentam respostas similares a temperatura e a taxa de deformação (tempo), como previsto pela teoria do princípio de superposição tempo-temperatura. O efeito da diminuição da temperatura equivale ao aumento da taxa de deformação.



Variação do comportamento de tensão –deformação do PMMA com a temperatura. Gilmar e Williams JCE, 73, 1063, 1996.

Representação esquemática do efeito da taxa. Ebewele 13.32.

### As cinco regiões do comportamento viscoelástico



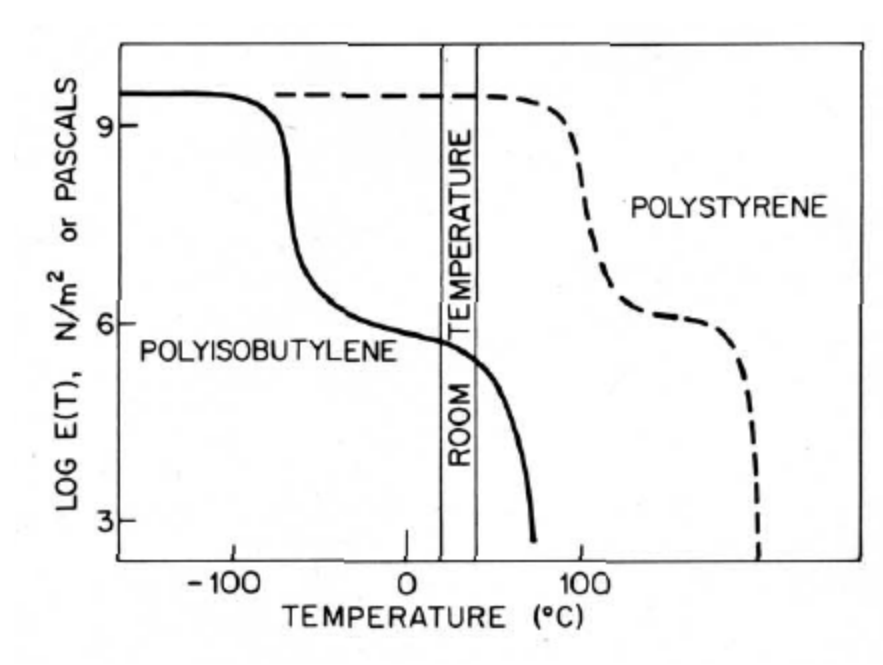
## Algumas características importantes das regiões de viscoelasticidade

#### 1-A região do estado vítreo

Um exemplo típico de um material no estado vítreo na temperatura ambiente é o poliestireno e o poli(metacrilato de metila).

O **Módulo de Young** (abaixo da  $T_g$ ) é praticamente constante para uma grande gama de polímeros, com valores de aproximadamente 3 X  $10^{10}$  dinas/ cm2 ou 3 X  $10^9$  Pa.

Módulo- temperatura para borracha de poliisobutileno e para um plástico o poliestireno.



#### 2-A região da Transição vítrea

- •O módulo sofre uma queda de 1000 em um intervalo de 20 a 30 °C.
- •O comportamento do polímero nessa região se assemelha ao do couro. Ou seja flexível mas resistente à deformação.
- •Qualitativamente é a região onde se iniciam as movimentações coordenadas de longo alcance. Abaixo da  $T_g$  1 a 4 átomos estão envolvidos, enquanto que após  $T_g$  estão envolvidos em geral de 10-50 (ver tabela). (Quando a tg se torna independente de  $M_c$  em uma curva de  $M_c$  X  $T_g$  temos o número de átomos correspondente.

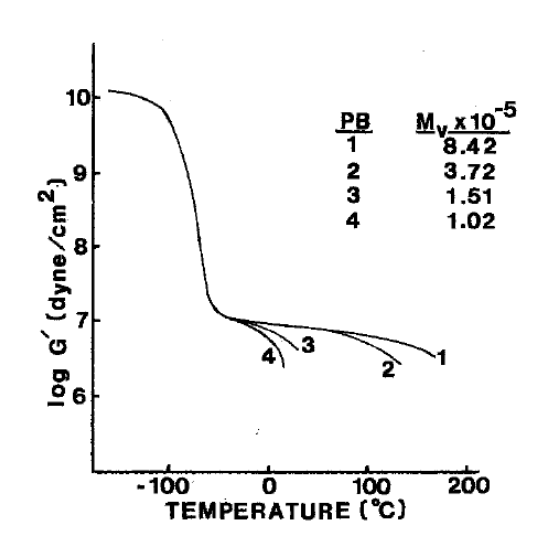
Polímero	T <sub>g</sub> (°C)	Número de átomos envolvidos
Poli(dimetil siloxano)	-127	40
Poli(etileno gliclo)	-41	30
Poliestireno	+100	40-100
poliisopreno	-73	30-40

#### 3-A região do platô de borracha (Estado Borrachoso)

- •Módulo "constante" após a transição vítrea com valor típico da ordem de 2 X 10<sup>6</sup> Pa.
- •O polímero exibe elasticidade de longo alcance, de modo que o material pode ser alongado substancialmente e retornar a mesma situação após a tensão ser removida.

#### <u>Duas situações podem ser observadas</u>

- 1. <u>Polímero li</u>near. Nesse caso o módulo irá cair lentamente nessa região. A largura do platô irá depender da massa molar do polímero sendo mais larga para maior massa molar (ver figura). O material pode apresentar fluência mesmo a temperatura ambiente. Isso vale para polímeros amorfos. Para semicristalinos o comportamento é distinto e depende do grau de cristalinidade.
- 2. <u>Polímero é reticulado</u>. Nesse caso o módulo é constante (linha pontilhada na fig anterior). A porção da fluência é eliminada. A equação pontilhada segue a equação E = 2nRY, onde n é número de segmentos de cadeias ativos.



Efeito da massa molar no plato do polibutadieno

### 4-A região do Fluxo Borrachoso

- •Ocorre para os polímeros lineares e não para os vulcanizados ou reticulados que mantêm o platô borrachoso até a decomposição.
- •Caracterizada por apresentar tanto as propriedades de fluxo viscoso como de borracha.

Para experimentos em curto espaço de tempo, os enrosco s entre as cadeias não tem tempo para se desligarem e o material se comporta como borracha. Para tempos longos, ocorre a fluência do material

#### 5-A região do fluxo viscoso

Em temperaturas ainda mais altas a região de fluxo é observada. O material flui e no limite a equação de um líquido Newtoniano representa o sistema:

$$f = \eta \left(\frac{ds}{dt}\right)$$

Onde f representa a tensão de cisalhamento e s a deformação. (ds/dt) = gradiente de velocidade na direção normal.

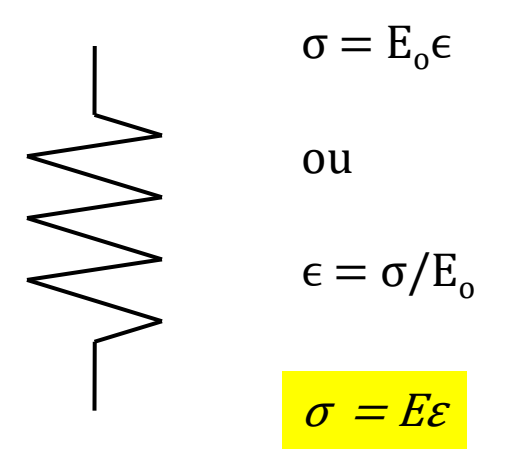
•Notar que o módulo (E) e a viscosidade estão relacionados pelo tempo de relaxação molecular.

Um critério tanto para a  $T_g$  tanto para materiais inorgânicos como para polímeros é a temperatura onde a viscosidade do fundido atinge valores da ordem de 1  $\times$  10<sup>13</sup> poises durante o resfriamento.

Em resumo, os materiais poliméricos apresentam comportamento tanto viscoso (dissipativo) como elástico (conservativo). Os modelos mais usuais para cada um desses comportamento são dados abaixo (fluído Newtoniano e Mola)

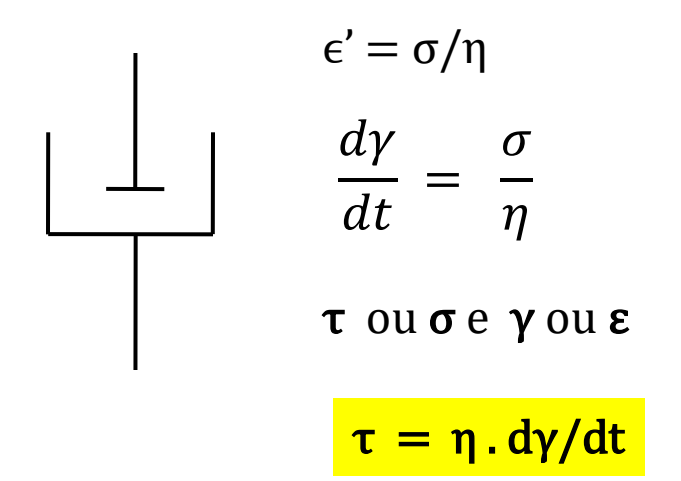
# Comportamento puramente Elástico

#### Mola



# Comportamento viscoso Puro

#### **Amortecedor**

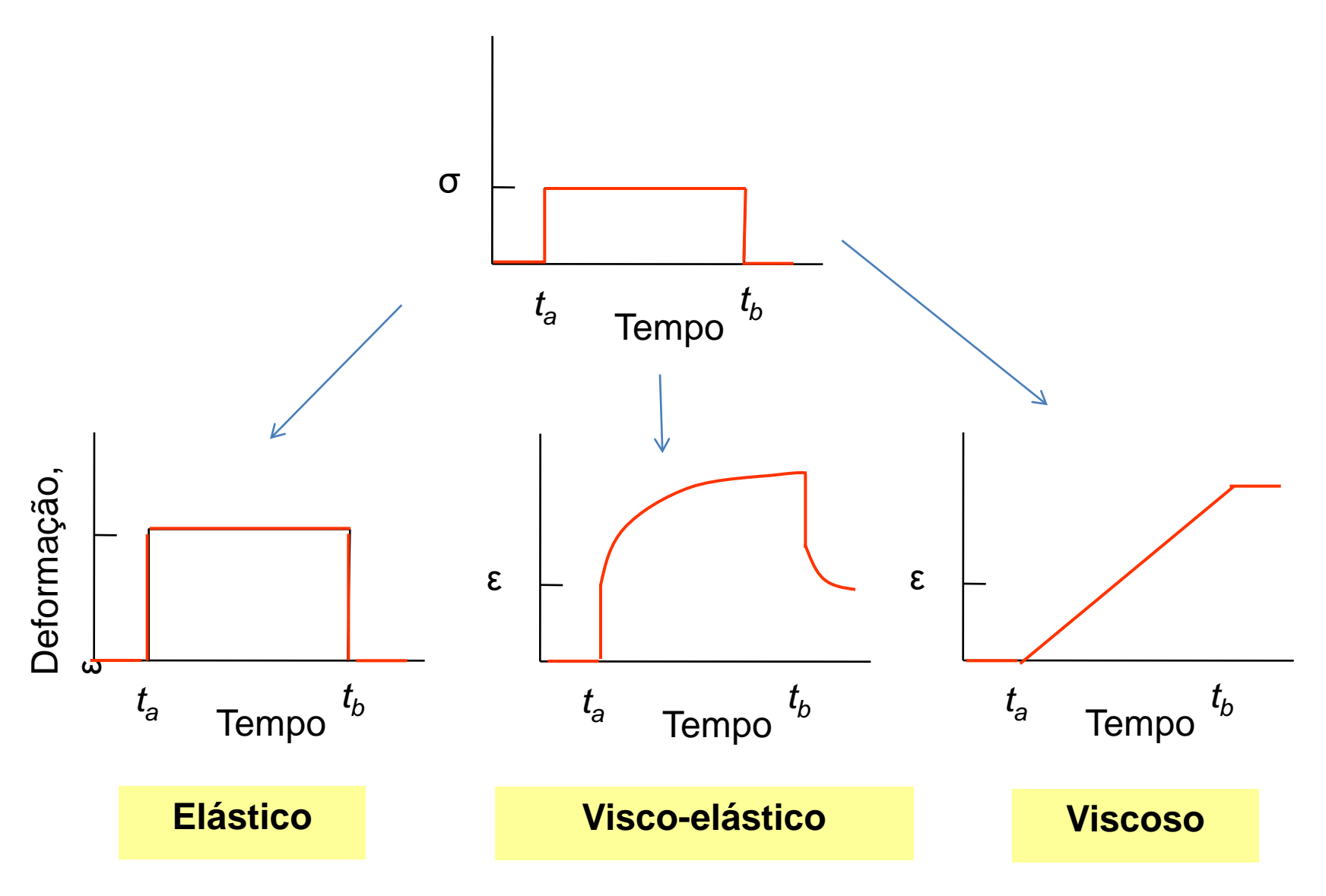


# Ensaios mecânicos e o comportamento viscoelástico

O comportamento viscoelástico marcante dos polímeros pode ser observado mais marcadamente em alguns ensaios mecânicos:

- •Tensão deformação
- Fluência e tensão- relaxação
- •Dinâmicomecânico (p. ex. pêndulo de torção)

# Deformação Visco-elástica



### Relaxação de Tensão

Ensaio de relaxação sob tensão. O corpo de prova é deformado de uma quantidade fixa,  $\epsilon_0$ , e é medida a tensão necessária para manter a deformação em função do tempo. Esse tipo de medida é de difícil execução e por esse motivo não é muito freqüente. A figura abaixo apresenta as curvas de módulo de relaxação do poliisobutileno a várias temperaturas, onde o módulo de relaxação é definido por:

$$E_{r(tT)} = \sigma(t)/\varepsilon_o$$

Onde,  $\varepsilon_0$  é a deformação aplica e  $\sigma(t)$  a tensão medida no tempo t.

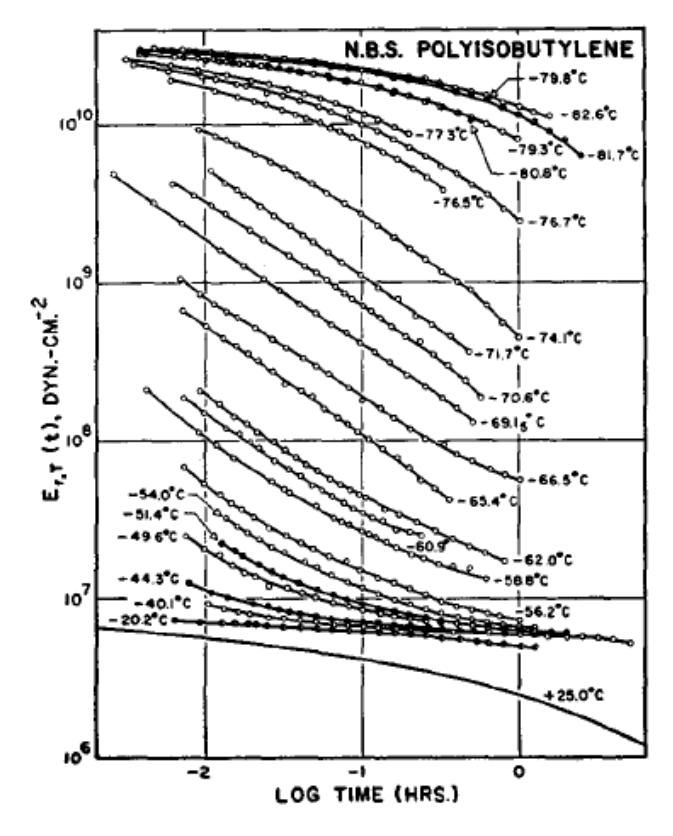
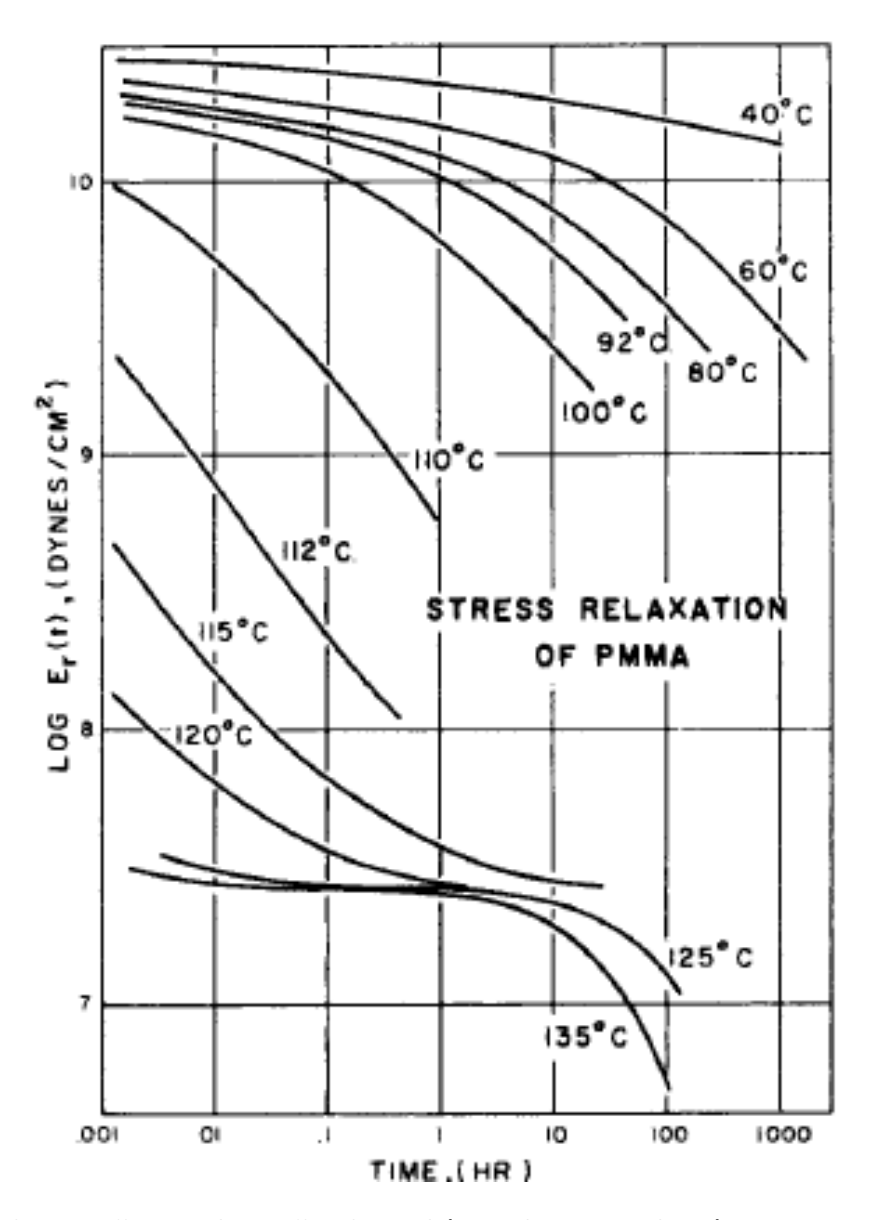


Fig. 1. Stress-relaxation of N.B.S. (National Bureau of Standards) polyisobutylene.

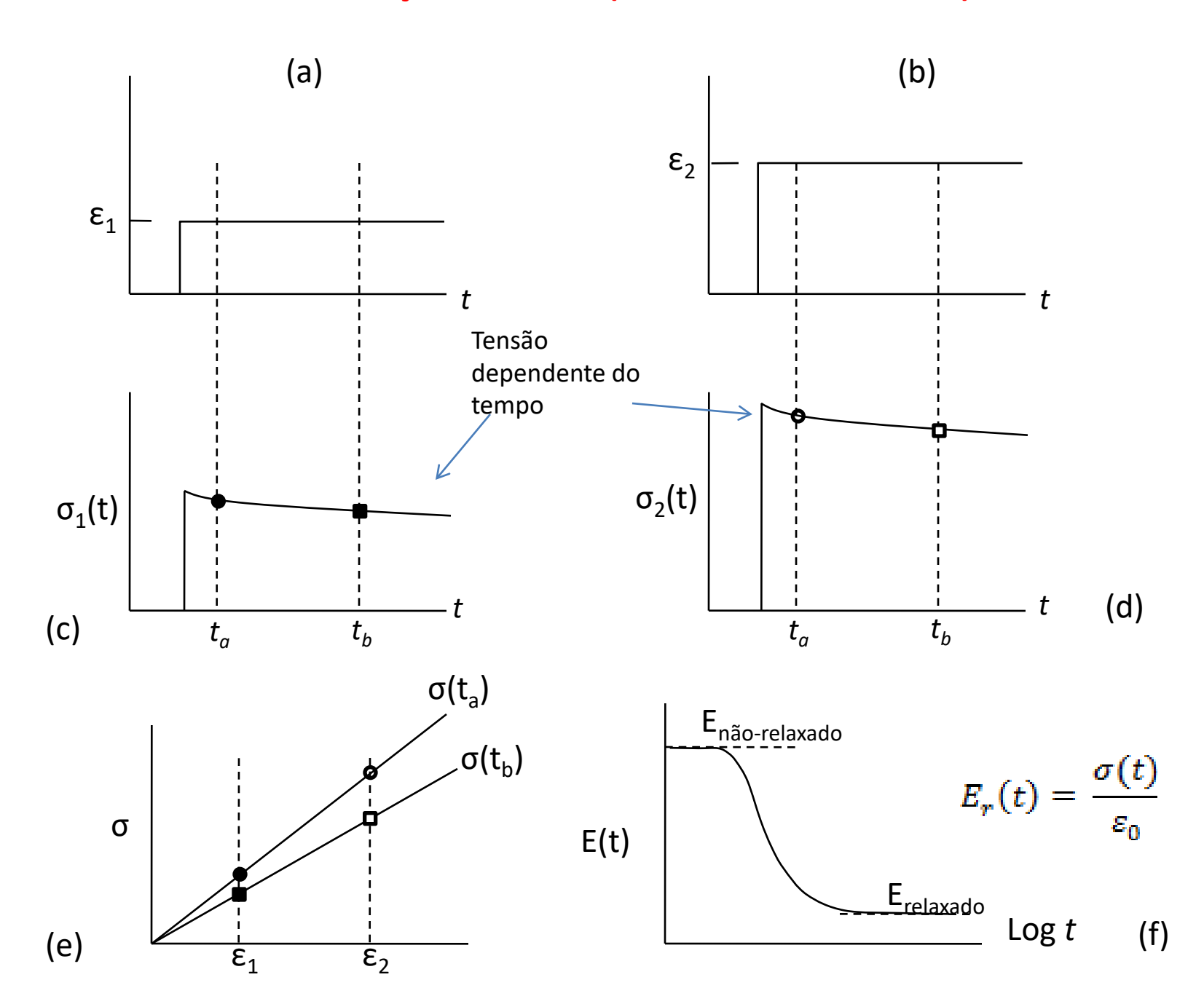
E. Catsiff and A.V. Tobolsky – J. Colloid Sci., 10, 375, 1955.

Curva de decaimento da tensão com deformação constante com o tempo: Módulo de Relaxação,  $E_{r(t, T)}$ .



Curva de tensão – relaxação do poli(metil metacrilato) com Mv = 3,6  $X10^6$  g/mol.deformação (Sperling p. 477 10.12 e Ebewele cap. 13.5)

### Ensaio de relaxação de tensão (viscoelasticidade linear )



Na figura anterior, temos: (a) uma deformação constante  $\varepsilon_1$ , aplicada no t=0 leva a uma tensão dependente do tempo  $\sigma_1(t)$ ; (b) já uma deformação ainda maior  $\varepsilon_2$  aplicada no tempo t=0 leva a uma tensão dependente do tempo  $\sigma_2(t)$ ; (e) a tensão no tempo  $t_a$ ,  $\sigma(t_a)$ , e no tempo  $t_b$ ,  $\sigma(t_b)$ , são lineares com relação a deformação; (f) a dependência observada para E(t) com log t no decorrer de uma relaxação completa.  $E_{nr}$  e  $E_r$  são os módulos de não relaxação e de relaxação, respectivamente.

Nesse experimento, depois de uma primeira relaxação (a), o corpo de prova é deixado para relaxar e uma segunda deformação ainda maior é aplicada. A tensão em função do tempo é apresentada em (c e d). Para pequenas deformações (como na fluência) é observado que as curvas obtidas para um mesmo tempo t, (curvas isotempo, do inlês "isochronals") são lineares, como ilustrado em (e). Portanto, se pegarmos em um tempo arbitrário t a tensão nos dois experimentos  $\sigma_1(t)$  e  $\sigma_2(t)$ , teremos:

$$\sigma_1(t)/\epsilon_1 = \sigma_2(t)/\epsilon_2$$

A tensão nos dois experimentos no mesmo tempo t são proporcionais à deformação imposta. Esse fato leva a definição do módulo de relaxação de tensão no tempo t:

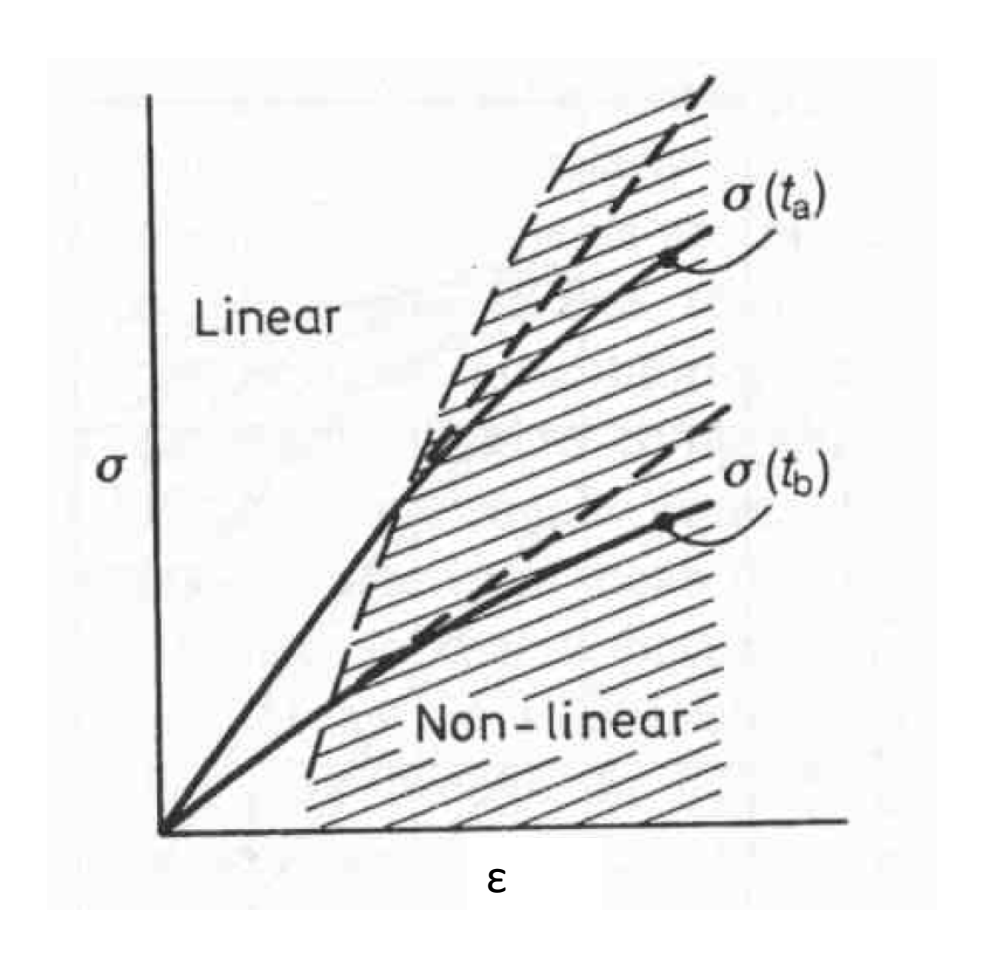
$$E(t) = \sigma(t)/\epsilon$$

O módulo tensão-relaxação é uma importante característica dos materiais viscoelásticos e é observado para qualquer polímero com deformações inferiores a ~0,005.

 $E_{nr}$  e  $E_{r}$ , os módulos de não relaxação e de relaxação, respectivamente são obtidos em tempos muito pequenos ou muito grandes e são portanto valores limite. Nessa situação extrema, o esforço está se tornando cada vez mais elástico e independente do tempo. Temos :  $E_{nr}^{-1} = J_{nr}$  e  $E_{r}^{-1} = J_{r}$  que são os valores limite para a compliância J(t), observada durante a fluência do material.

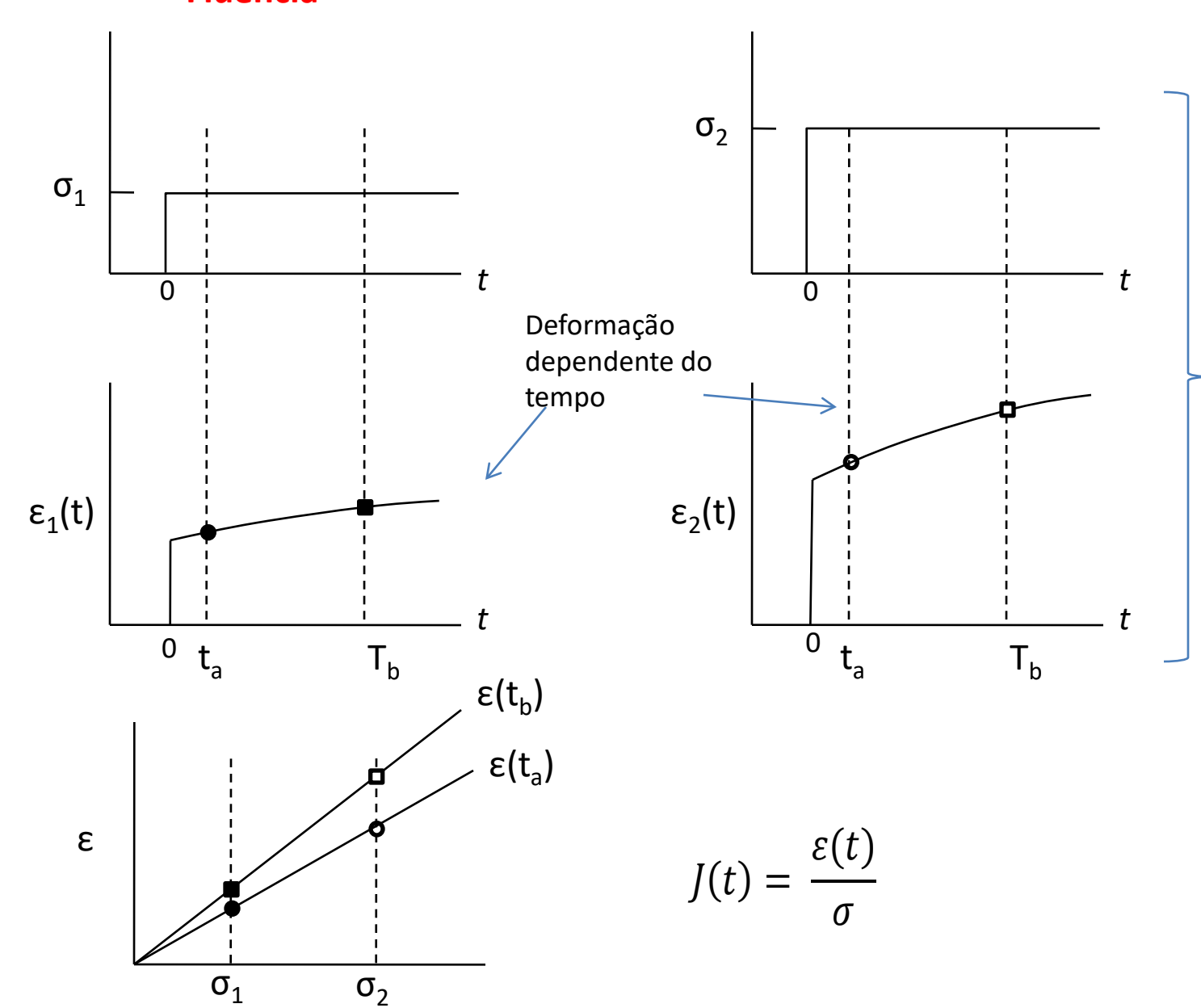
A determinação da curva de  $E_{nr}$  e  $E_{r}$  depende de se conhecer o intervalo de deformação no qual um corpo de prova apresenta um comportamento de tensão-relaxação linear, permitindo assim a determinação de uma série de curvas para um mesmo tempo, t (isotemporais "isochronals").

A transição do regime linear para o regime não linear, é apresentada na Figura a seguir:



Viscosidade linear na relaxação de tensão

### Fluência



Para uma tensão constante aplicada (σ) a deformação (ε) observada é dependente do tempo.

Para um tempo arbitrário t, a deformação ( $\epsilon$ ) para duas tensões ( $\sigma_1$ ,  $\sigma_2$ ) será dada por  $\epsilon_1$ ,  $\epsilon_2$ , de modo que:

$$\frac{\varepsilon_1(t)}{\sigma_1} = \frac{\varepsilon_1(t)}{\sigma_2} = J(t)$$

J (t) é a **compliância em fluência**. No regime linear o seu valor é constante para as diferentes tensões aplicadas.

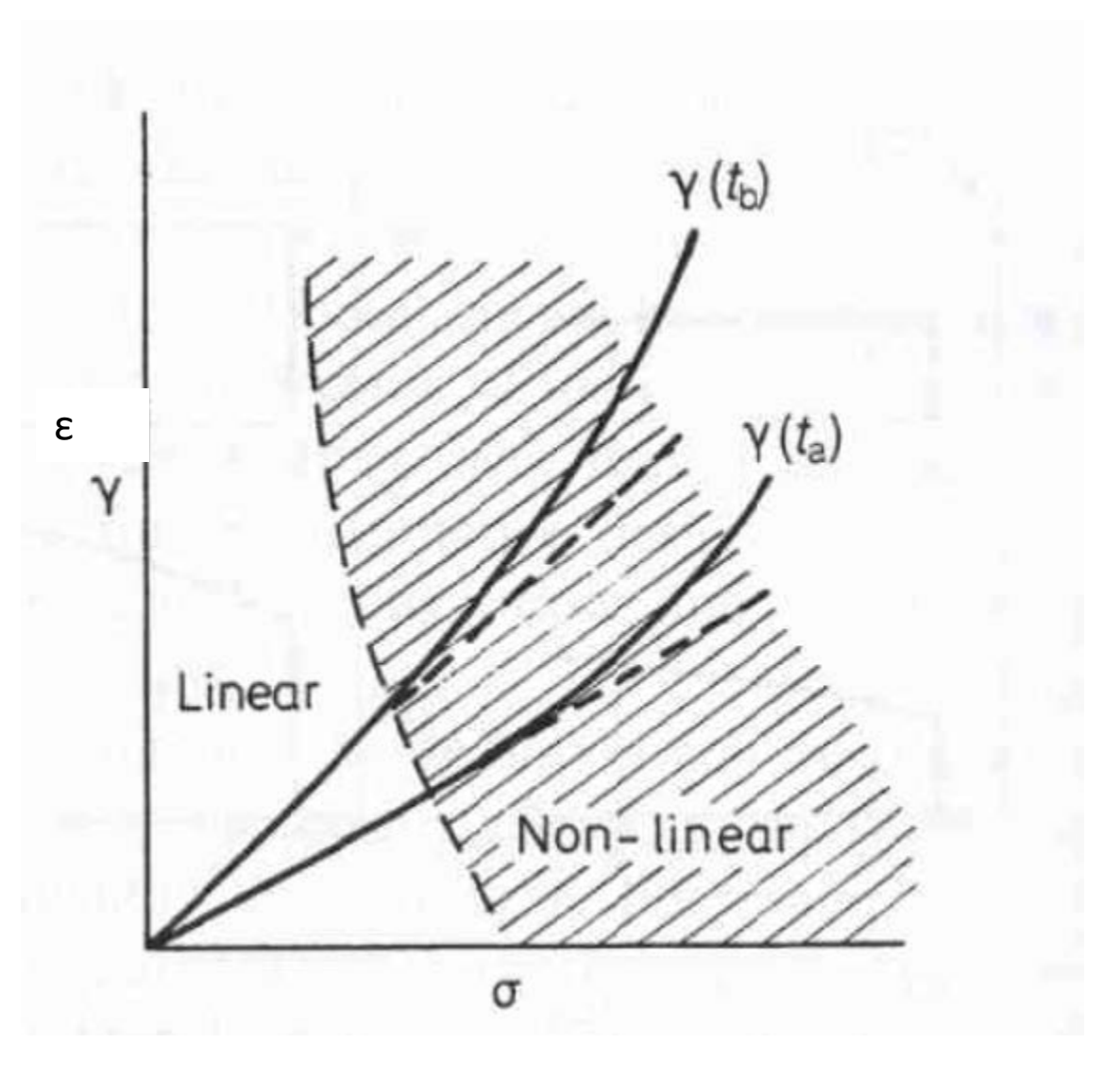
De um modo geral a compliânce em fluência é dada por:

$$J(t) = \frac{\varepsilon(t)}{\sigma}$$

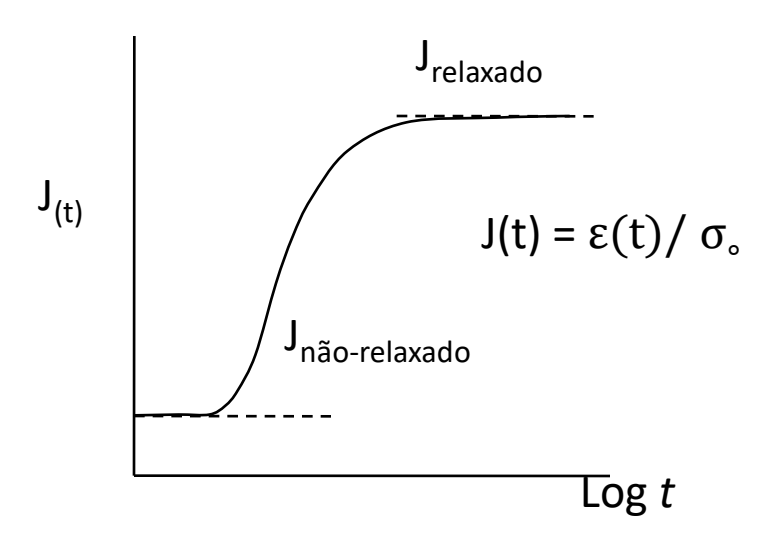
Os polímeros exibem esse comportamento de fluência viscoelástica linear em baixas tensões, suficientemente baixas de forma que a deformação seja inferior a aprox. 0,005 (ou 0,5%). No experimento de fluência ("creep") o gráfico da deformação em função da tensão para um dado tempo t é denominado de isotemporais (isochronal).

Representando graficamente as várias isotemporáis ( como da fig. anterior de  $\epsilon$  x  $\sigma$ ) podemos determinar a região de deformação onde um material apresenta comportamento linear.

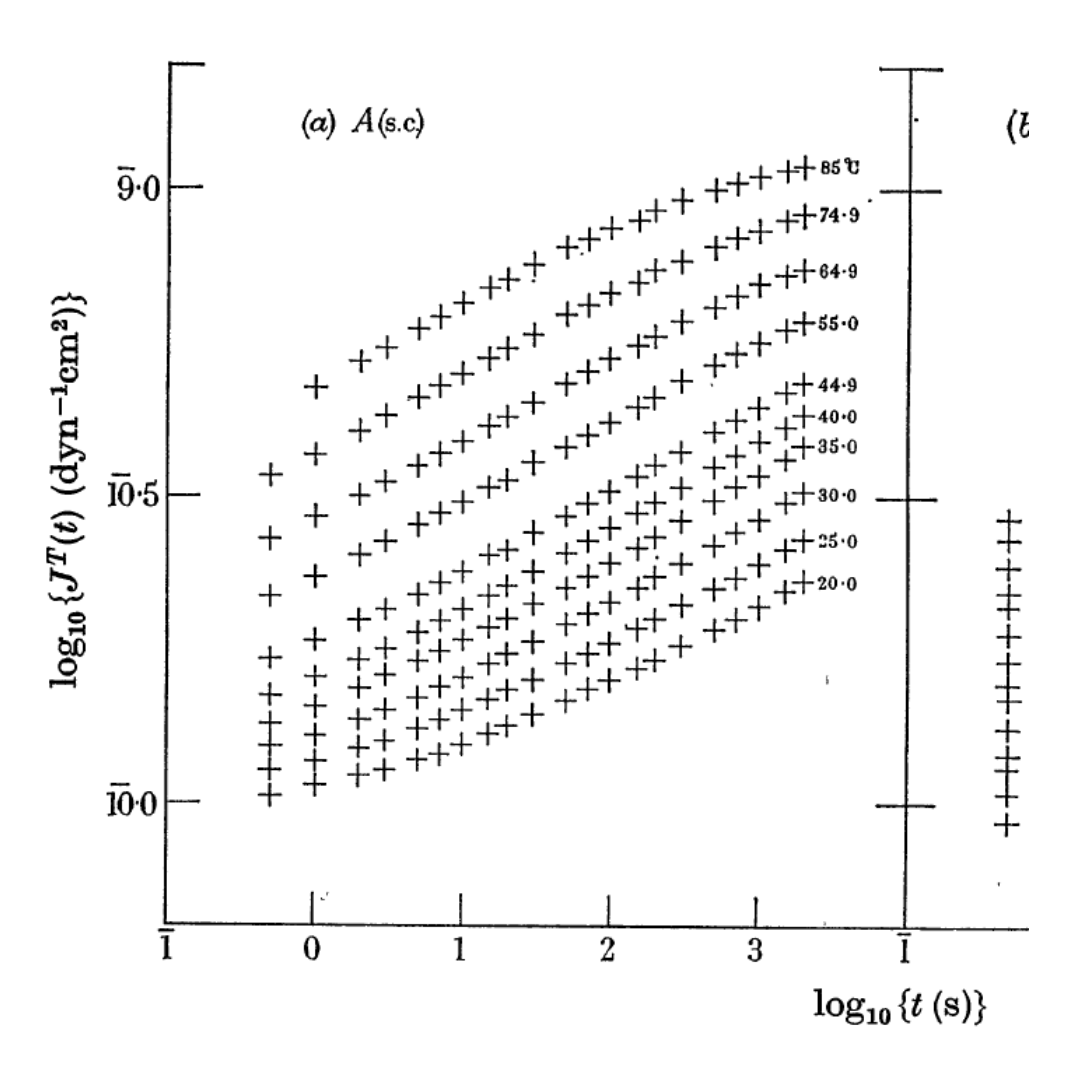
Curva isotemporáis tomadas em T<sub>a</sub> após o início do experimento de fluência. O diagrama ilustra a transição entre a região linear para a região não linear do comportamento viscoelástico.



Se J(t) for medido em um período de tempo de várias décadas e graficado como log t ele irá apresentar um comportamento como abaixo. Em tempos muito baixos e muitos longos J(t) apresenta uma dependência com o tempo pequena ou nula.



Em tempos intermediários apresenta uma forma sgnoidal. Se as medidas forem feitas em um intervalo relativamente curto de tempo de apenas algumas décadas, uma curva como a da figura a seguir é observada.



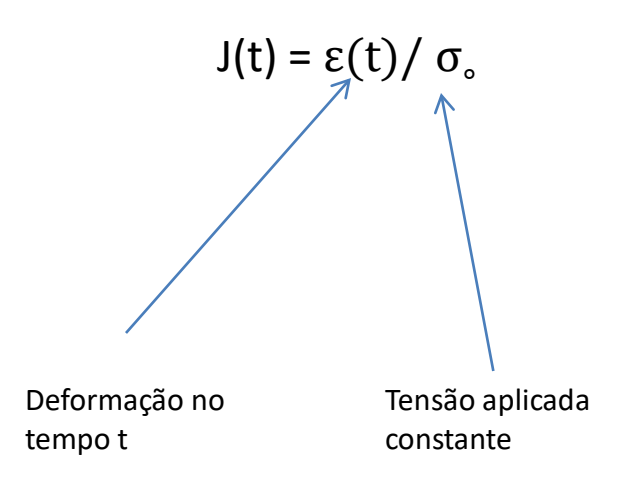
Compliancia de deformação (fluência) J(t) de polietileno linear em diferentes temperaturas (medidas feitas em tempos de 0,8 a 2000 s. McMcrum and Morris.

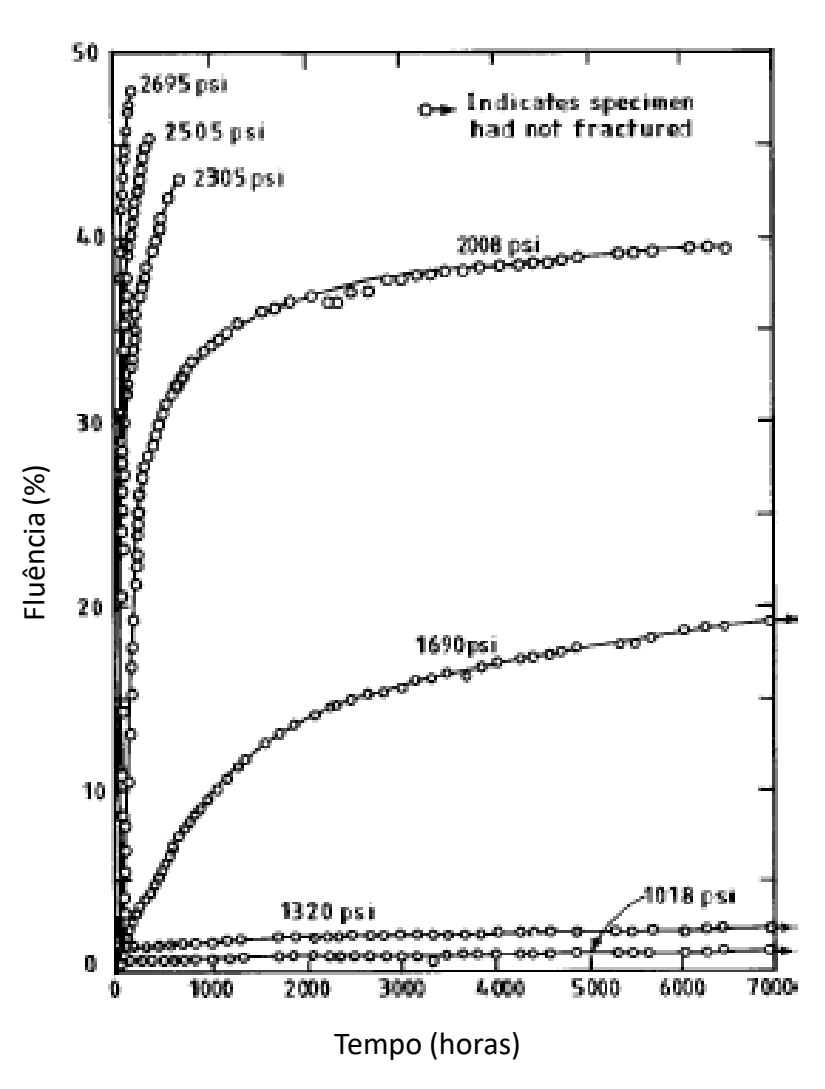
Proc. R. Soc. Lond. A 1966 292, 506-529

### Fluência

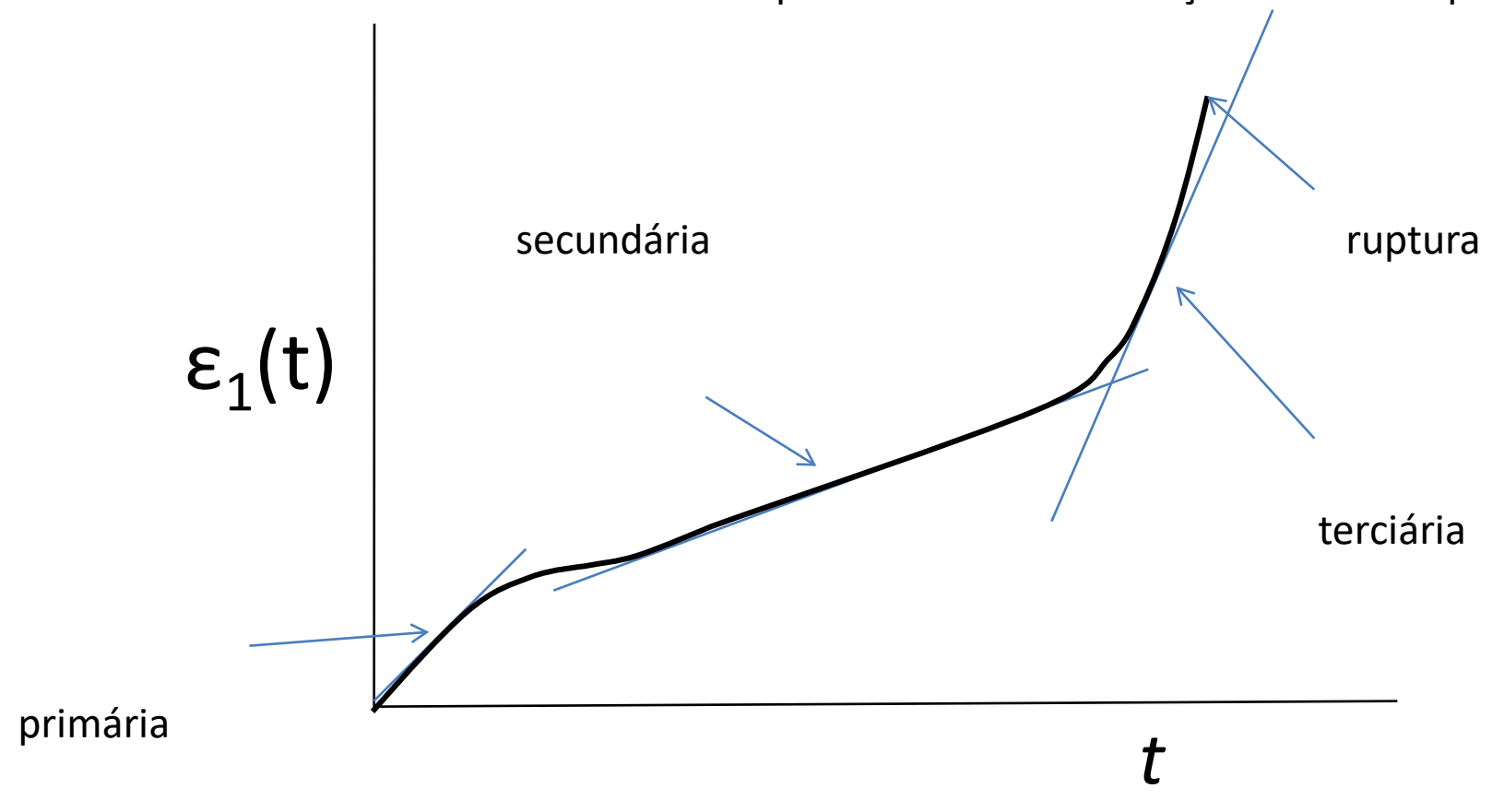
Medida da deformação em função do tempo com tensão aplicada constante. Compliancia, J.

Recíproco do módulo (dependente do tempo).





Fluência do acetato de celulose a 45 oC. Ebewele 13.3) De um modo geral, as curvas de fluência apresentam três regiões distintas, como mostrado abaixo na curva da dependência da deformação com o tempo:



- 1- Deformação suave com o tempo
- 2- Deformação linear com o tempo (proporcional)
- 3- razão de fluência acentuada

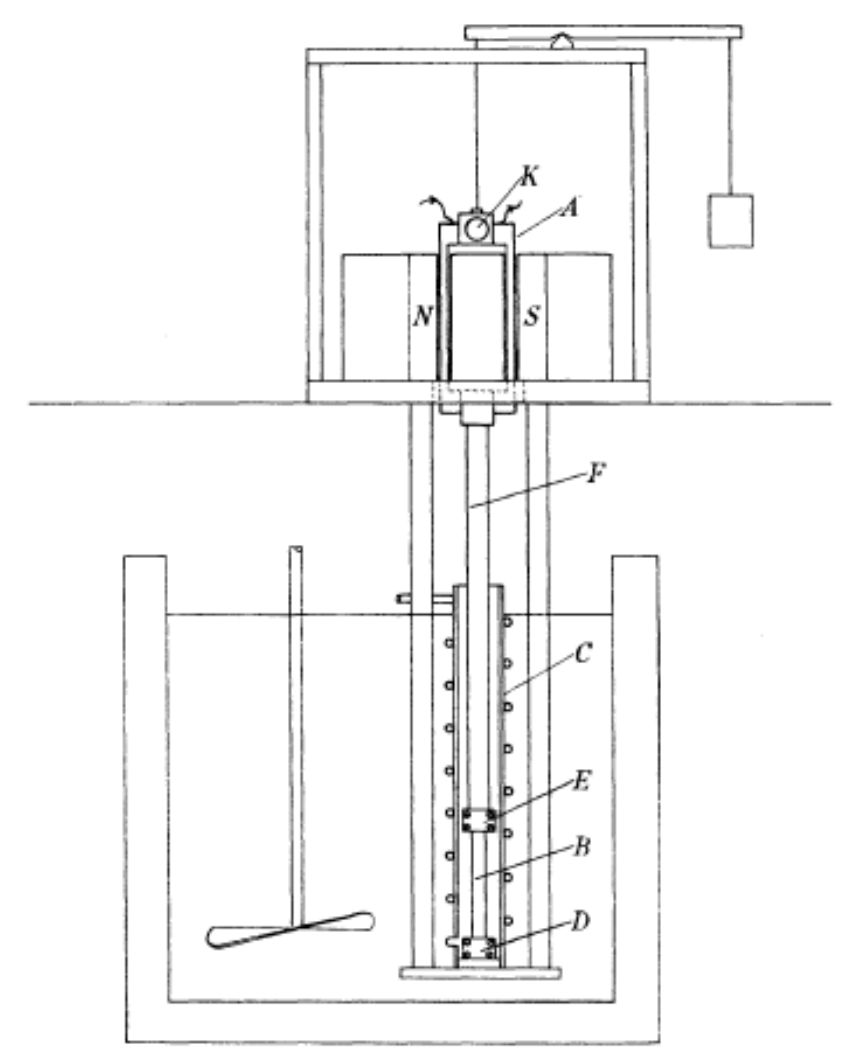


FIGURE 1. Apparatus used for the measurement of creep and stress relaxation. The oil bath is cooled by a heat interchanger which is not shown.

On the Measurement of the Activation Energies for Creep and Stress Relaxation

N. G. McCrum and E. L. Morris

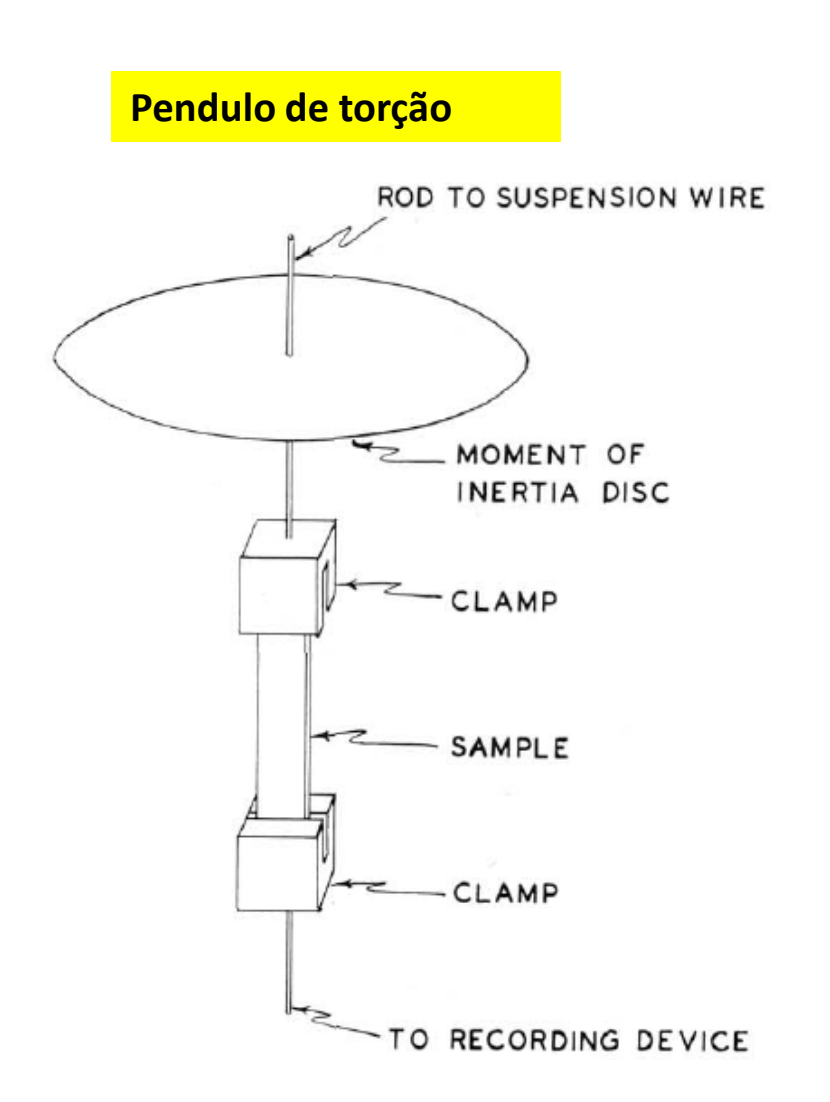
Proc. R. Soc. Lond. A 1964 **281**, 258-273 doi: 10.1098/rspa.1964.0181

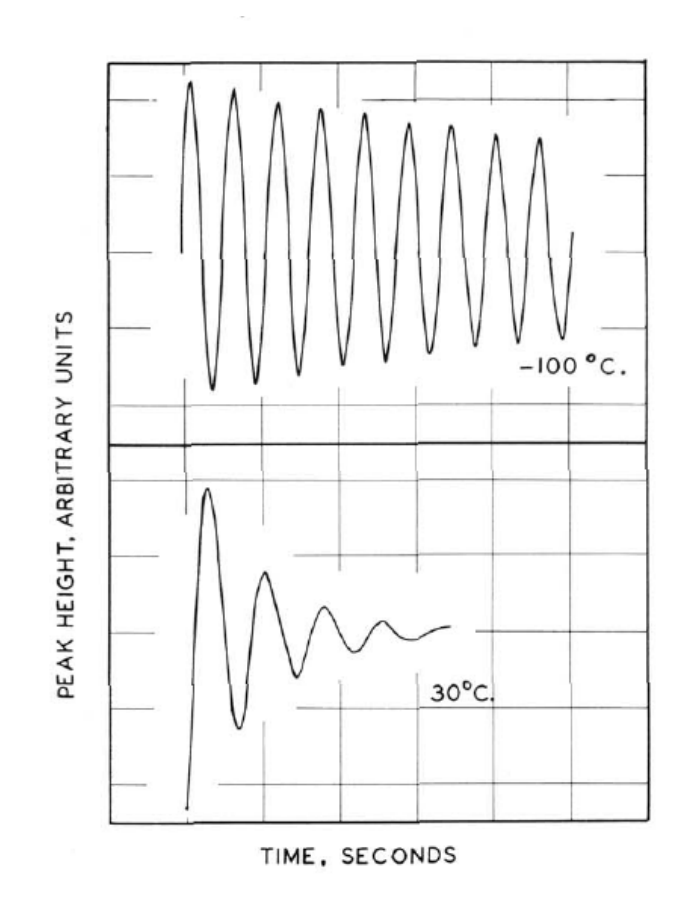
# Ensaios dinâmicosmecânicos

- •O pêndulo de torção
  - Ensaios de DMA

# Pendulo de torção

Maiores detalhes sobre as transições dos materiais viscoelásticos podem ser obtidos em medidas dinâmicomecânicas.





Decaimento ou amortecimento com o tempo. Medindo o decaimento podemos determinar a T<sub>g</sub> Kolesk J.V., JEC, 43, 255, 1966.

A frequência de oscilação,  $\omega$  é governada pelo momento de inércia do pêndulo I e pelo torque produzido por unidade de rotação ( $\theta = 1$ )  $T_1$ :

$$\omega = \sqrt{\frac{\Gamma_1}{I}}$$

Para corpos de prova circulares de comprimento I e raio a, temos

$$\Gamma_1 = \frac{NG'}{I}$$

Onde N é o momento polar de área N =  $\pi a^4/2$ A frequencia  $\omega$  oscilação ressonante decai. A razão das sucessivas amplitudes  $A_n$  e  $A_{n+1}$  gera o decréscimo logarítmico

$$\Lambda = \ln \frac{A_n}{A_{n+1}}$$

A relação entre  $\Lambda$  e tan  $\delta$  para  $\Lambda$  <<1 é'

$$\Lambda = \pi \tan \delta$$

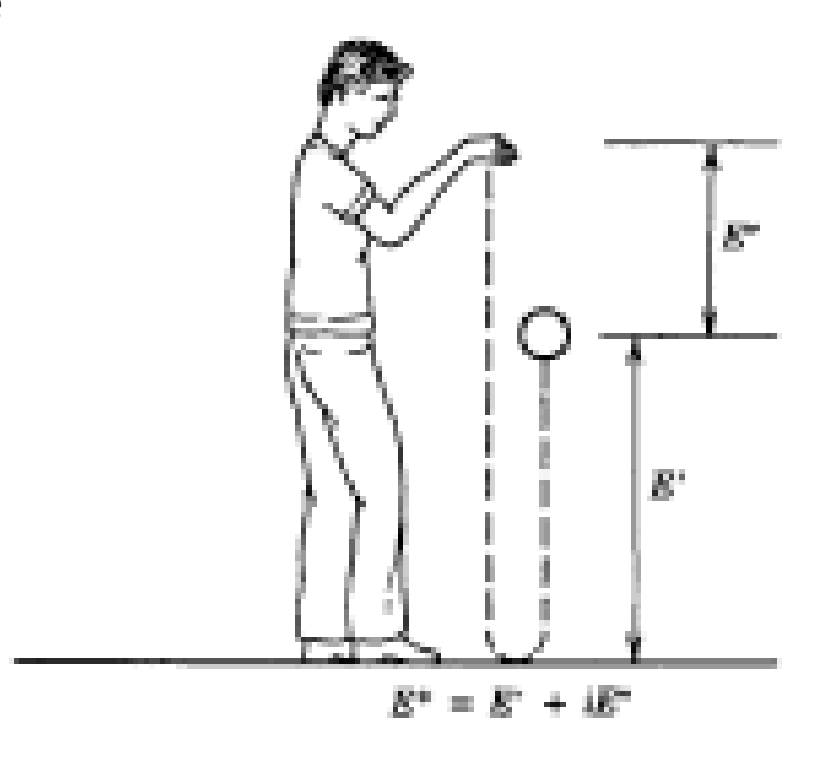
$$G' = \frac{Il\omega^2}{N}$$
  $\tan \delta = \frac{G''}{G'} = \frac{\Lambda}{\pi}$ 

## Ensaio dinâmico-mecânico (DMA ou DMTA)

Medida: Submetendo a amostra a uma deformação contínua de baixa amplitude de maneira cíclica (p. ex. pêndulo de torção).

Dessa forma, as moléculas deformadas irão estocar uma certa quantidade de energia elasticamente e irão dissipar um outra porção na forma de calor. A quantidade E' é o módulo de estocagem de Young e E" o módulo de perdas de Young. E' é uma medida da energia dissipada como calor (fricção interna)

$$\frac{E''}{E'} = tan\delta$$



onde tan  $\delta$  é a tangente de perdas (ângulo entre os componentes em fase e fora de fase no movimento cíclico. tan  $\delta$  apresenta uma série de máximos. O pico de tan  $\delta$  e o pico de E" são tomados como correspondentes a temperatura de transição vítrea.

### Ensaio dinâmico mecânico

O resultado de um ensaio dinâmico mecânico com tan  $\delta$ , E' e E'' é mostrado a seguir:

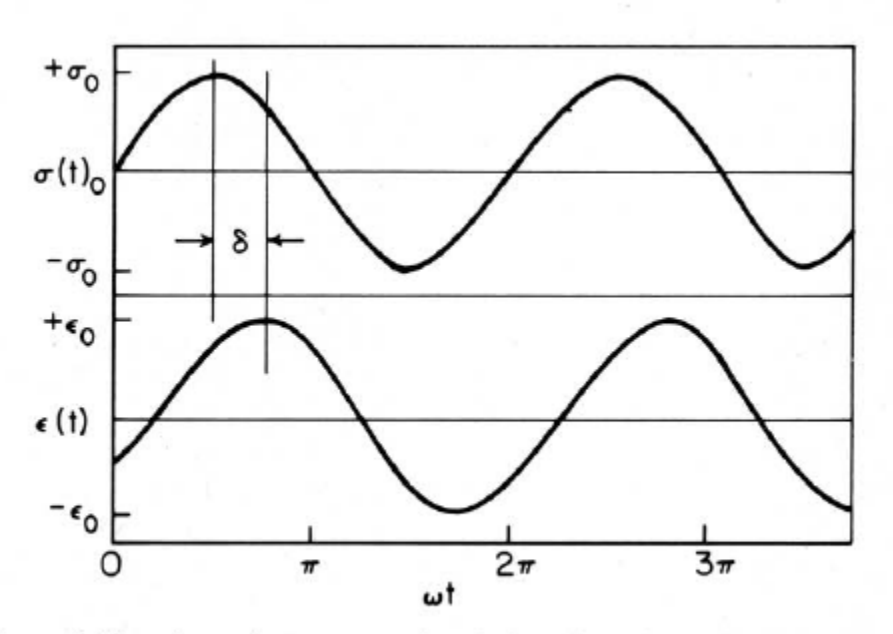
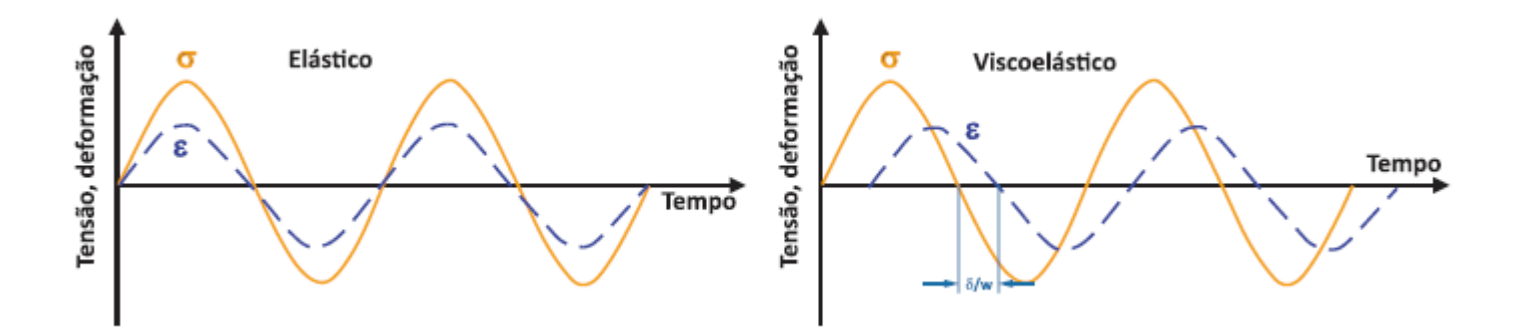
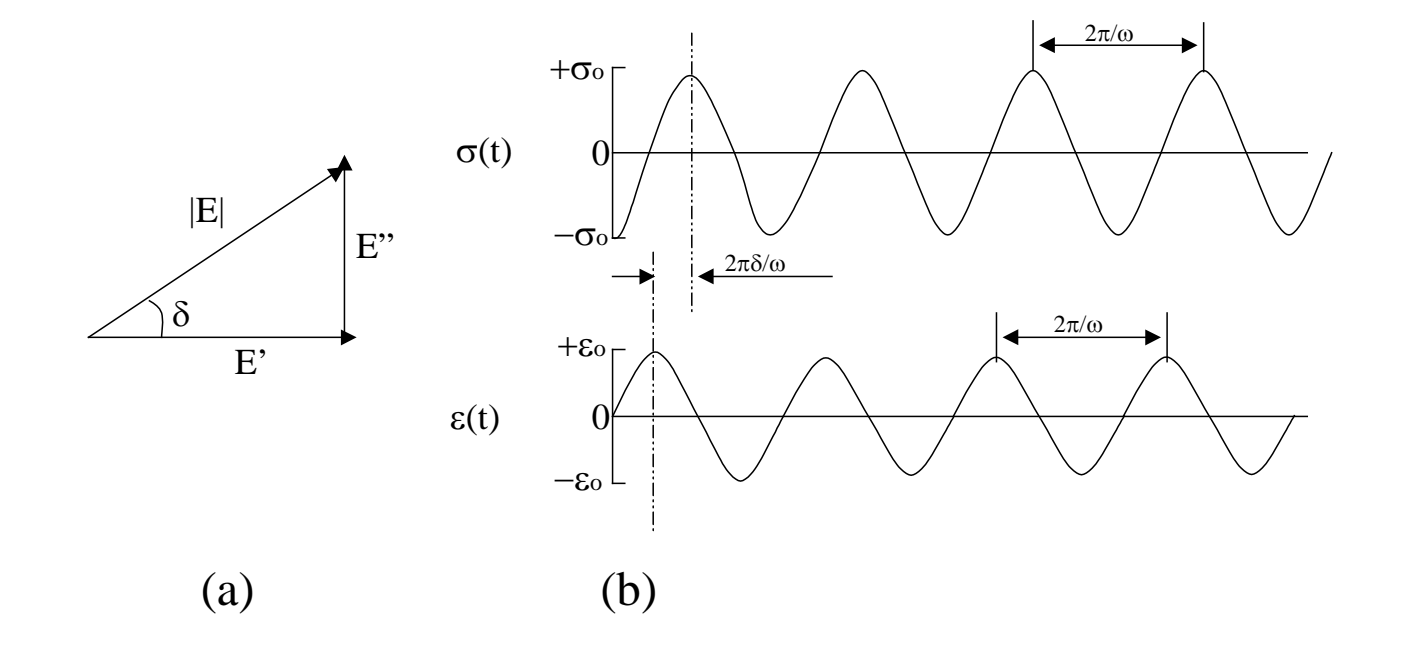


Figure 5. Time dependent stress and strain in a dynamic mechanical experiment.

J.J. Aklonis - JCE 58, 893, 1981





Aplicando uma deformação de alongamento senoidal,  $\epsilon$ , com frequência fixa,  $\omega$ , em um corpo de prova e com pequena amplitude a tensão também irá variar de modo senoidal mas fora de fase com a deformação de um ângulo  $\delta$ .

$$\varepsilon = \varepsilon_o sen\omega t$$

$$\sigma = \sigma_o sen(\omega t + \delta)$$

Expandindo a equação anterior:

$$\sigma = \sigma_0 sen\omega t \cos \delta + \sigma_0 \cos \omega t sen \delta$$

Em termos dos módulos de armazenagem, E', e de perdas, E'', temos:

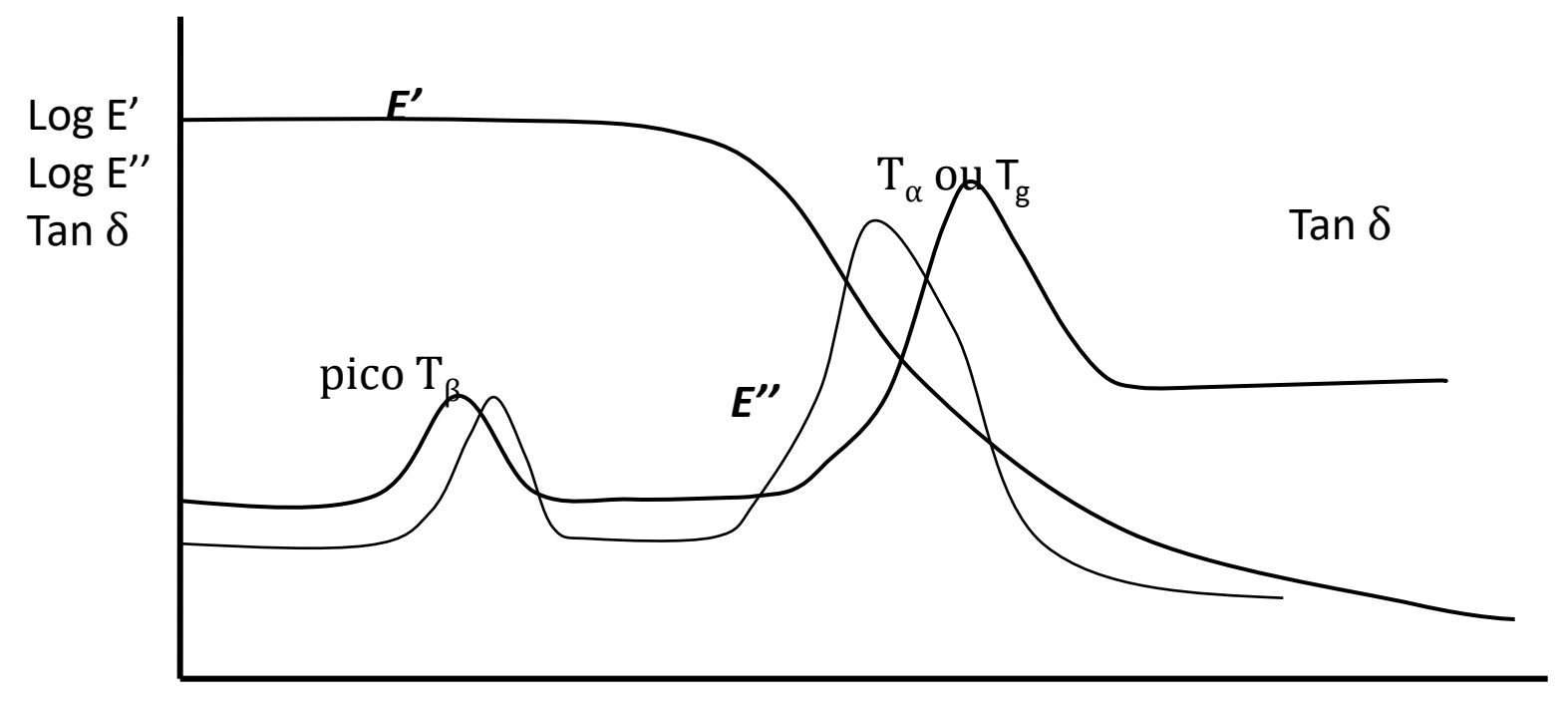
$$\delta = \varepsilon_0 E' \operatorname{sen}\omega t + \varepsilon_0 E'' \operatorname{cos}\omega t$$

Os dois módulos, E', e E'', podem ser definidos como:

$$E' = \frac{\sigma_0}{\varepsilon_0} \cos \delta \qquad E'' = \frac{\sigma_0}{\varepsilon_0} \sin \delta$$

A razão desses módulos nos dá o fator de dissipação,  $\delta$ , sendo que o módulo pode ser expresso na forma complexa e cujo valor absoluto é respectivamente:

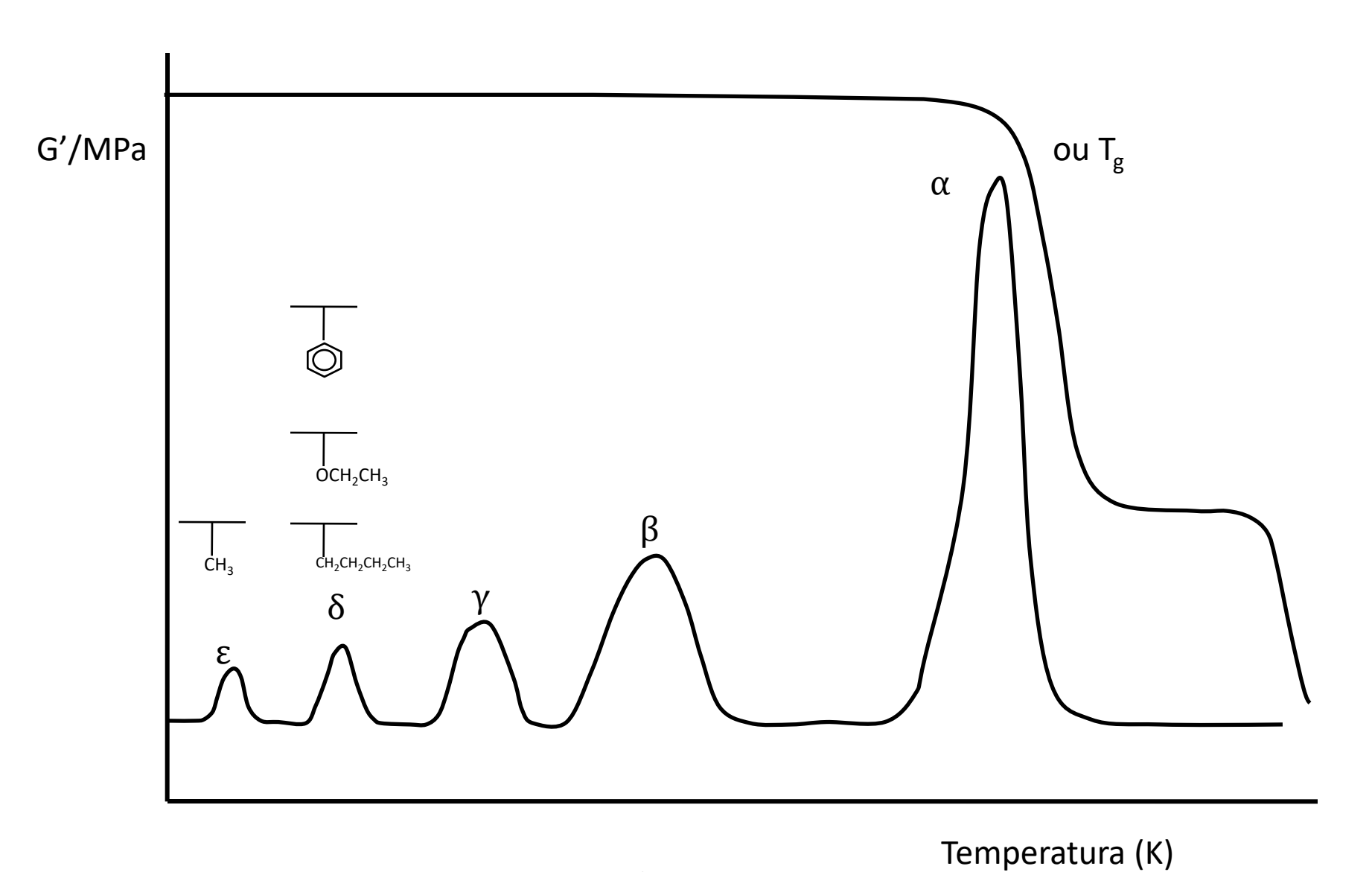
$$E^* = E' + iE''$$
  $E = \{E'^2 + E''^2\}^{1/2}$   $\tan \delta = \frac{1}{\omega \theta} = \frac{E''}{E'}$ 



Temperatura (K)

O módulo de armazenamento E' tem um comportamento muito próximo do módulo de Yong, sendo um pouco menor que este, dependendo do valor de E":

 $E^* = E' + iE''$ , dendo que  $E = |E^*|$ , e i é a raiz quadrada de -1.

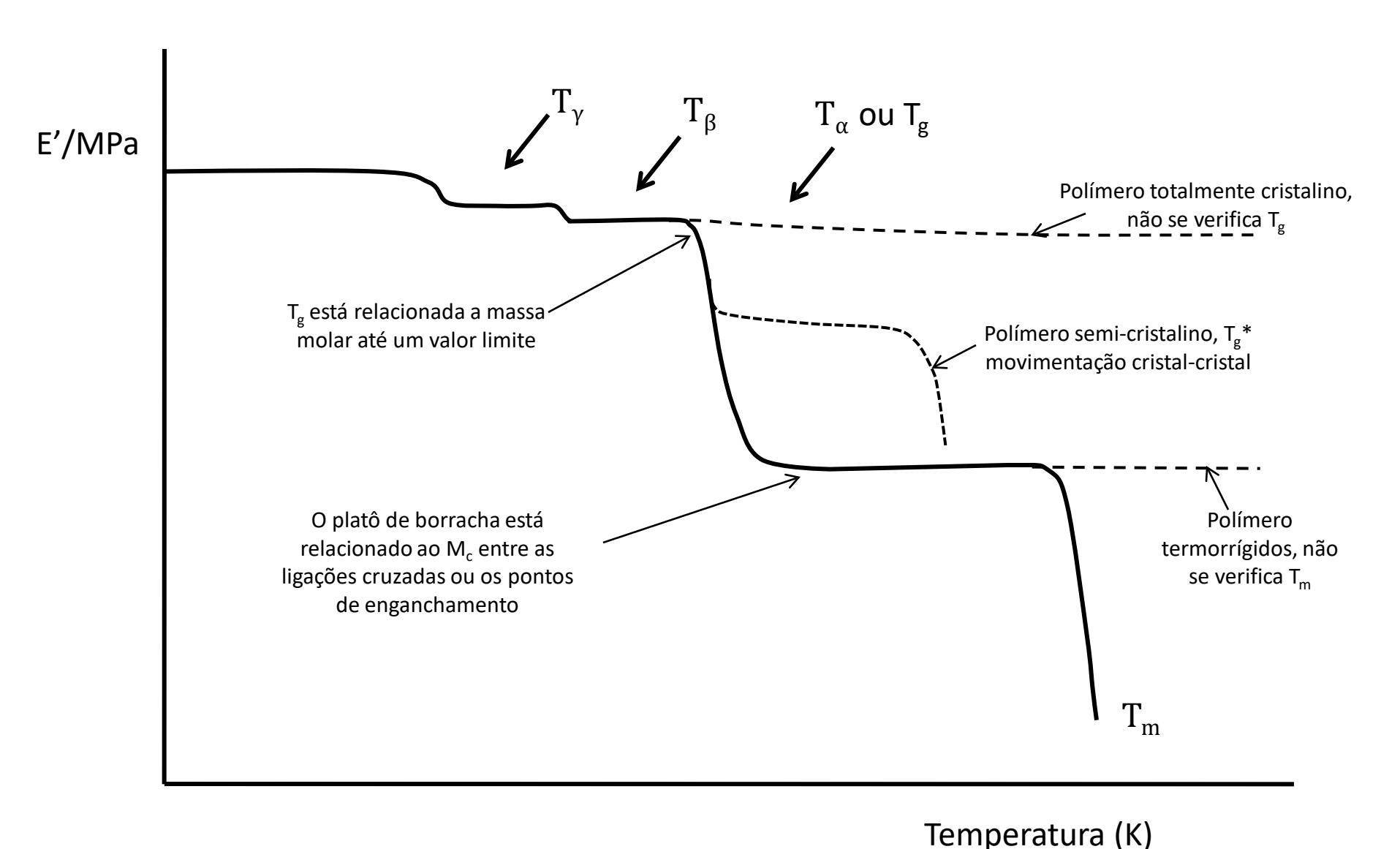


Movimentos locais

Flexão e distensão Grupos laterais

Movimentos graduais as cadeias Movimentos amplos das cadeias

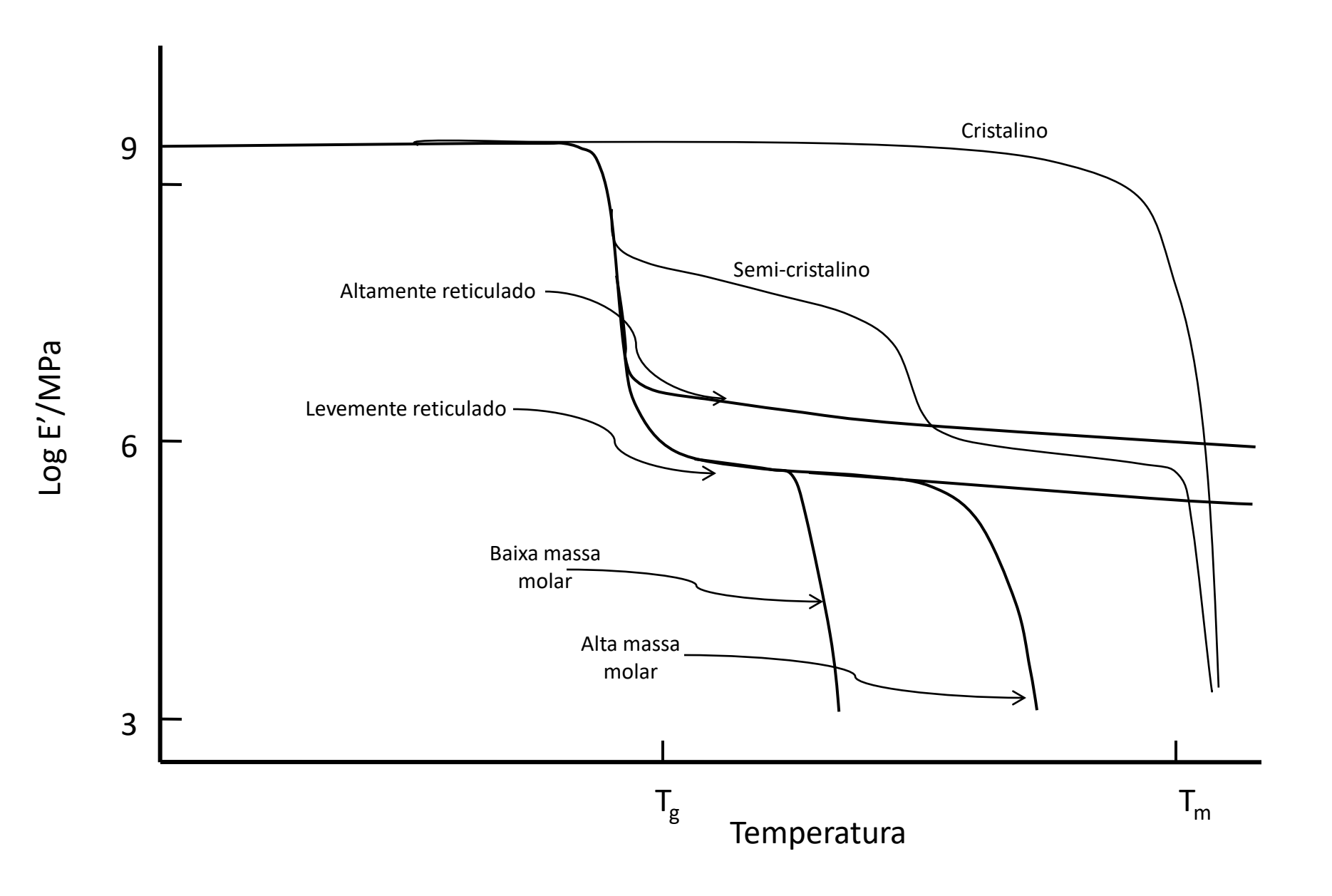
Escorregamento de cadeia



Movimentos locasi Flexão e distensão **Grupos laterais** 

Movimentos graduais as cadeias Movimentos amplos das cadeias

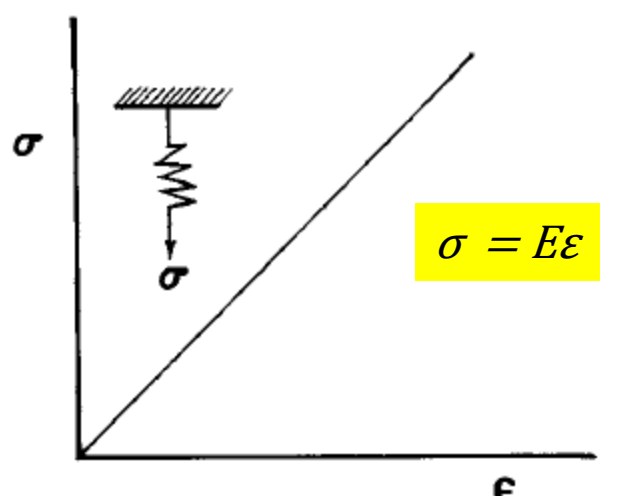
Escorregamento de cadeia



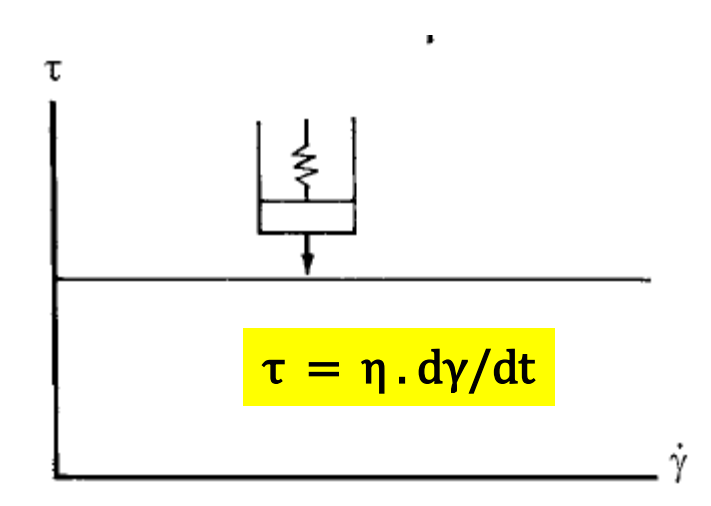
# Comportamento puramente Elástico

# Comportamento viscoso Puro

elástico ideal material responde O instantaneamente à tensão e quando esta é removida, retorna suas dimensões originais imediatamente e de forma completa (sem deformação permanente). A deformação induzida é proporcional à tensão aplicada e independente da taxa com a qual o corpo é deformado (comportamento de acordo com a lei de Hooke). Comportamento de uma mola iď



A caracteristica dominante nos fluídos é a viscosidade, que é equivalente a elastcidade dos sólidos. De acordo com a lei de Newton, a resposta de um fluído a uma tensão de cisalhamento,  $\tau$  é dada por:  $\tau = \eta \cdot d\gamma/dt$ , onde  $\eta$  é a viscosidade e  $d\gamma/dt$  a taxa de cisalhamento.



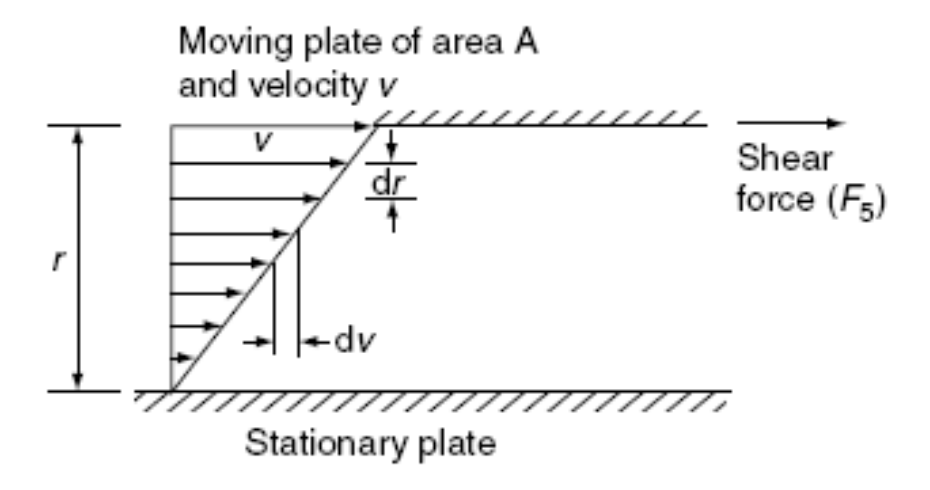
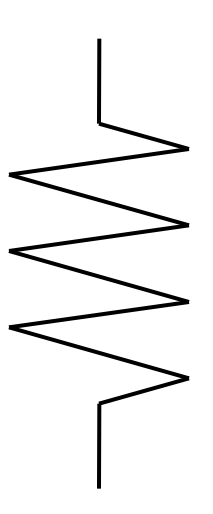


FIGURE 3.25 Velocity distribution of a liquid between two parallel plates, one stationary and the other moving.

# Comportamento puramente Elástico

# Comportamento viscoso Puro





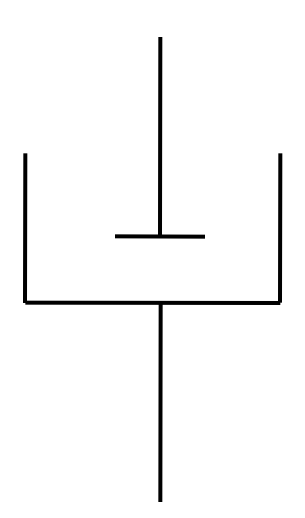
$$\sigma = E_0 \epsilon$$

ou

$$\epsilon = \sigma/E_o$$

$$\sigma = E\varepsilon$$

#### Amortecedor



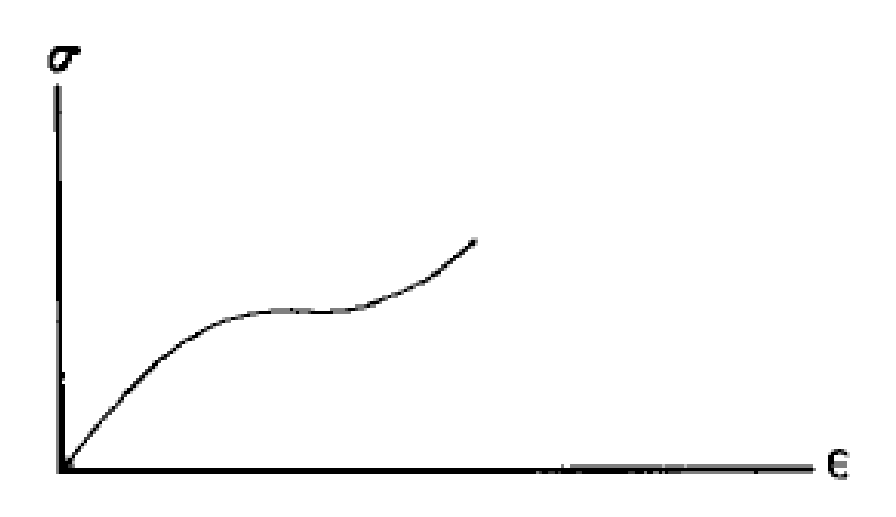
$$\epsilon' = \sigma/\eta$$

$$\frac{d\gamma}{dt} = \frac{\sigma}{\eta}$$

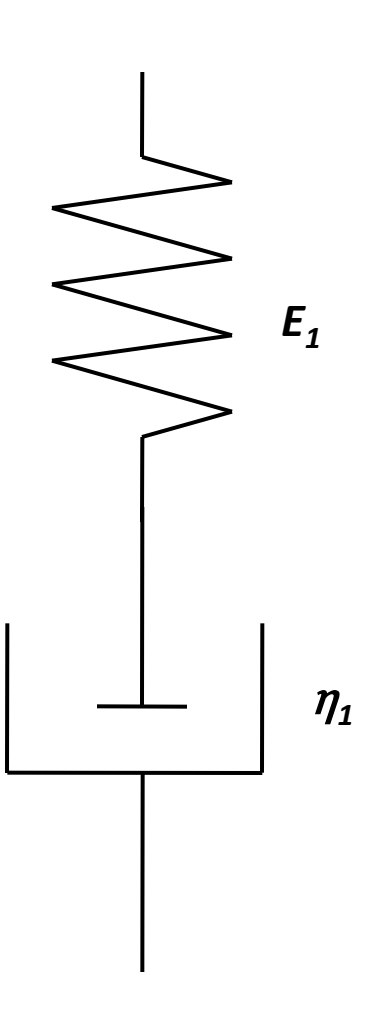
τ ου σ ε γ ου ε

$$\tau = \eta \cdot d\gamma/dt$$

# Comportamento ViscoElástico

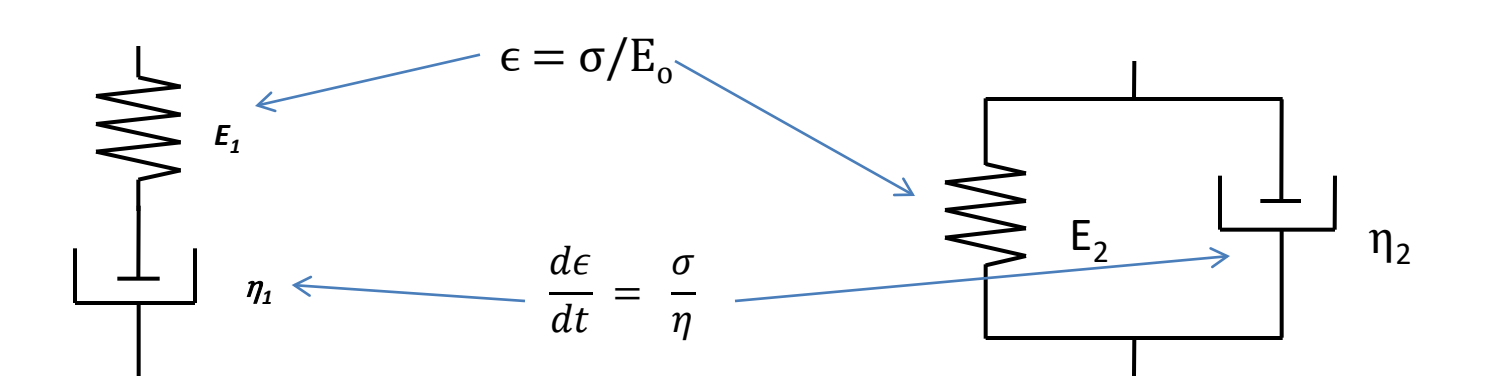


Tensão – deformação material Visco-elástico



O elemento de Maxwell

### Modelos de Maxwell e de Kelvin (ou Voight)



#### Elemento de Maxwell

### 1-Mola e amortecedor – mesma tensão

$$\sigma_{tot} = \sigma_{mola} = \sigma_{amortecedor}$$

### 2-Deformações podem ser diferentes

$$\varepsilon_{tot} = \varepsilon_{mola} + \varepsilon_{amortecedor}$$

$$\varepsilon = \frac{1}{E}\sigma + \frac{1}{\eta}\sigma$$

### Elemento de Voight ou Kelvin

1-Mola e amortecedor–mesma deformação

$$\varepsilon_{tot} = \varepsilon_{mola} = \varepsilon_{amortecedor}$$

2-As tensão podem ser diferente

$$\sigma_{\text{tot}} = \sigma_{\text{mola}} + \sigma_{\text{amortecedor}}$$

$$\sigma_{total} = E\varepsilon + \eta \frac{d\varepsilon}{dt}$$

## Tempo de Relaxação

## Maxwell

$$E_{1} \longleftarrow \sigma_{e} = E \varepsilon_{e}$$

$$\eta_{1} \longleftarrow \sigma_{v} = \eta \frac{d \varepsilon_{v}}{dt}$$

$$\sigma_{tot} = \sigma_{mola} = \sigma_{amortecedor}$$

$$\varepsilon_{\text{tot}} = \varepsilon_{\text{mola}} + \varepsilon_{\text{amortecedor}}$$

$$\frac{d\varepsilon}{dt} = \frac{d\varepsilon_1}{dt} + \frac{d\varepsilon_2}{dt} = \frac{1}{E} \frac{d\sigma}{dt} + \frac{\sigma}{\eta}$$

Sob condições de deformação constante,

temos:

$$\frac{1}{E}\frac{d\sigma}{dt} + \frac{\sigma}{\eta} = 0$$

Resolvendo para  $\sigma = \sigma_0$ 

$$\sigma = \sigma_0 exp\left(-\frac{E}{\eta}t\right)$$

Onde  $\sigma_o$  e a tensão inicial aplicada. Nessa condição de tensão constante o polímero irá relaxar exponencialmente com o tempo. Em  $t = (\eta/E)$  a tensão será reduzida para 1/e ( $\sigma = 0.37\sigma_0$ ). Esse tempo característico é o **tempo de relaxação**,  $\lambda$ .

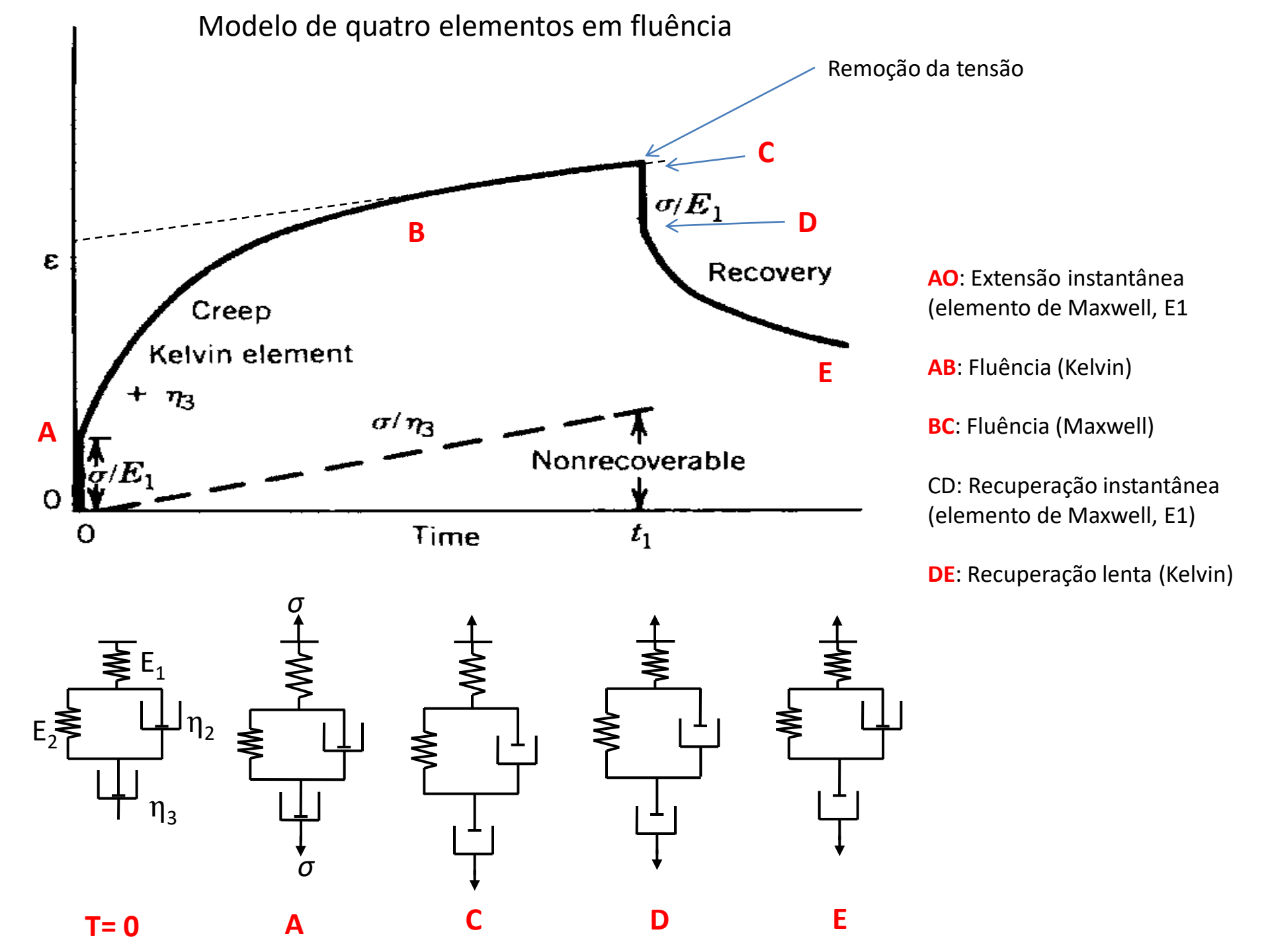
### Tempo de Relaxação

O tempo de relaxação, τ, de um polímero indica a ordem de magnitude do tempo requerido para uma certa porção da cadeia polimérica relaxar ou seja responder a uma tensão externa aplicada. (τ tem unidades de tempo).

Para o modelo de Maxwell o tempo de relaxação pode ser dado por:

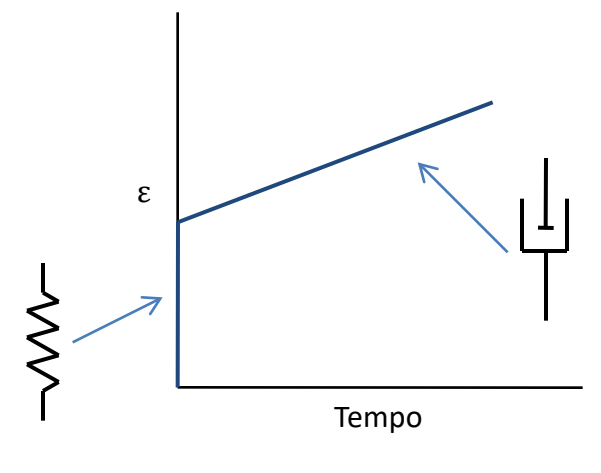
$$\tau = \eta/E$$

Portanto,  $\tau$  relaciona o módulo com a viscosidade de um material.  $\eta$  tem unidades de *Pa.s* e *E* unidades de *Pa*, logo  $\tau$  tem unidade de tempo (s).

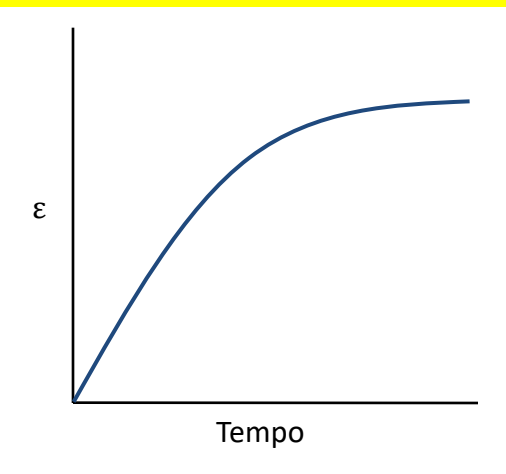


# Exemplo da aplicação dos modelos de Maxwell e de Kelvin para um experimento de fluência

É aplicado uma tensão (rapidamente), σ, ao elemento e a deformação é observada em função do tempo



Elemento de Maxwell



Elemento de Kelvin

A mola responde imediatamente sendo a altura da linha vertical dada por  $\epsilon = \sigma/E$ . A mola então se mantém alongada enquanto o amortecedor gradualmente flui para fora, gerando a curva inclinada. O modelo demonstra a elasticidade seguida do fluxo.

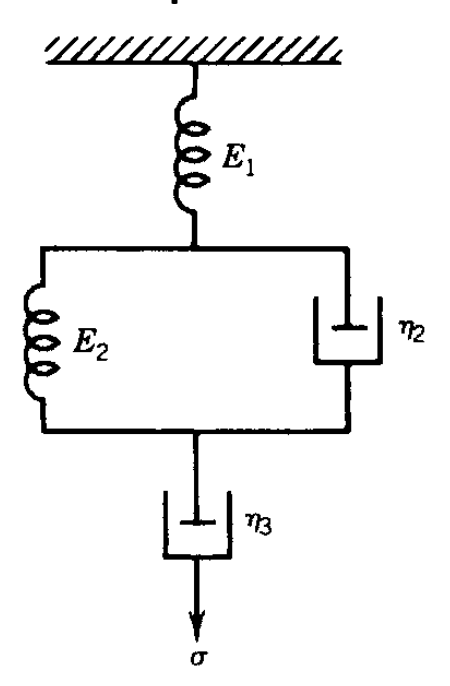
No elemento de Kelvin (Voigt) tanto a mola como o amortecedor respondem em conjunto. O amortecedor responde lentamente, transferindo para a mola a tensão. Quando a mola experimenta toda a tensão aplicada ambos a mola e o amortecedor param de se deformar e a fluência é interrompida. Nesse caso temos um comportamento assintótico com tempos longos

Equações dos modelos de Maxwell e Voigt para a Fluência, tensão-relaxação e experimento dinâmico mecânico.

Modelo	Maxwell $\varepsilon = \frac{1}{E}\sigma + \frac{1}{\eta}\sigma$	Kelvin ou Voigt $\sigma_{total} = E arepsilon + \eta rac{darepsilon}{dt}$	
Fluência	$\varepsilon(t) = \sigma_0 \left[ \frac{1}{E} + \frac{t}{\eta} \right]$	$arepsilon(t) = rac{\sigma_0}{E} \left[ 1 - e^{-t/ au}  ight]$ $J = rac{arepsilon(t)}{\sigma_0} = J \left[ 1 - e^{-t/ au}  ight]$ $J = 1/E = m\'odulo\ rec\'iproco$	
Tensão-relaxação	$\sigma=\sigma_0 exp\left(-rac{E}{\eta}t ight)$ $ au=\eta/ ext{E}=$ tempo de relaxação $\sigma=\sigma_0 exp\left(rac{-t}{ au} ight)$ $E_r(t)=Ee^{-t/ au}$	$\sigma(t) = E\varepsilon$	
Dinâmico mecânico	$tan \delta = \frac{1}{\tau \omega}$ $E' = \frac{E\tau^2 \omega^2}{1 + \omega^2 \tau^2}$ $E'' = \frac{E\tau \omega}{1 + \omega^2 \tau^2}$	$\tan \delta = \frac{\eta \omega}{E} = \tau \omega$ $\sigma' = E \varepsilon' \ e \ \sigma'' = \eta \omega \varepsilon''$ $E' = \frac{\sigma'}{\epsilon'} e \ E'' = \frac{\sigma''}{\epsilon''} = \eta \omega$	

# Outros Modelos combinando mola e amortecedor

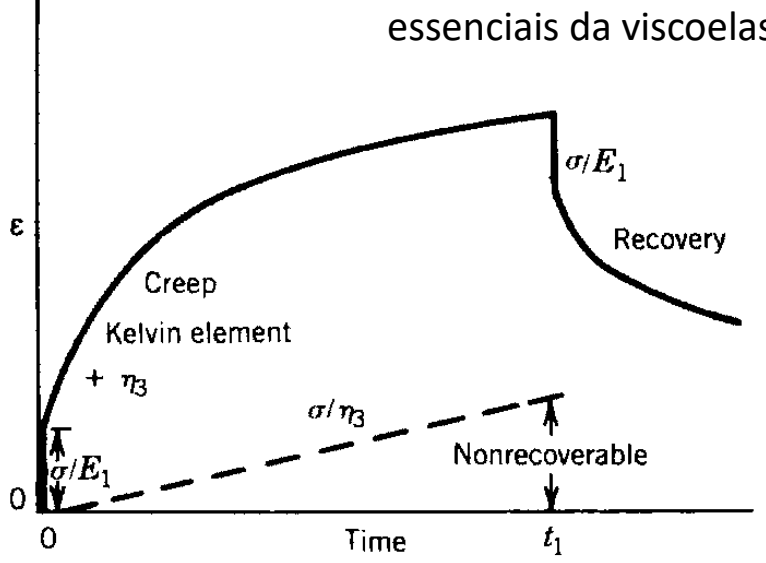
#### Modelo de quatro elementos



Modelo de quatro elementos

qua

Modelo mais simples que melhor descreve os materiais reais. Apresenta todas as características essenciais da viscoelasticidade.



Fluência prevista para o modelo de quatro elementos .

$$\varepsilon(t) = \varepsilon_1 + \varepsilon_2 + \varepsilon_3$$

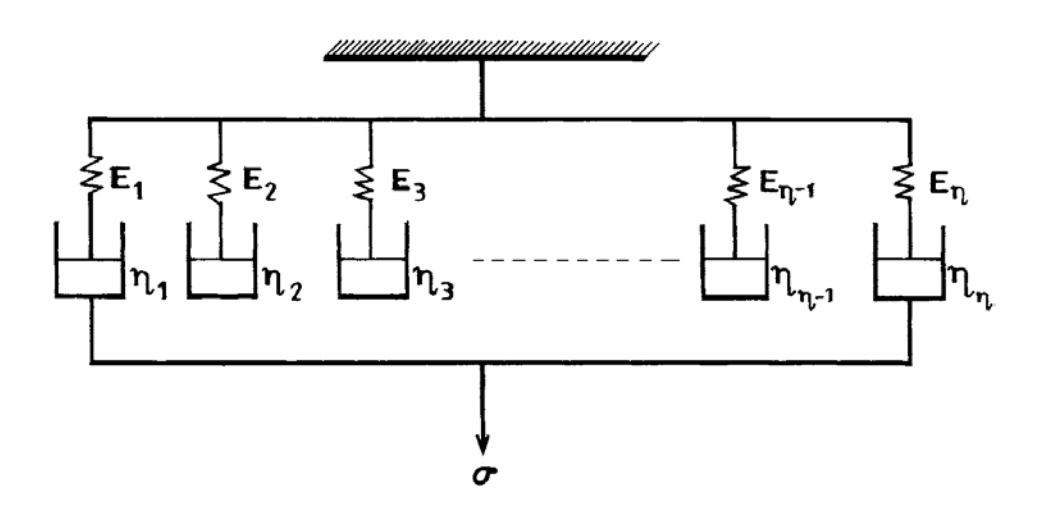
$$\varepsilon(t) = \frac{\sigma_0}{E_1} + \frac{\sigma_0}{E_2} \left[ 1 - e^{-t/\tau_2} \right] + \frac{\sigma_0 t}{\eta_3}$$

# Outros Modelos combinando mola e amortecedor

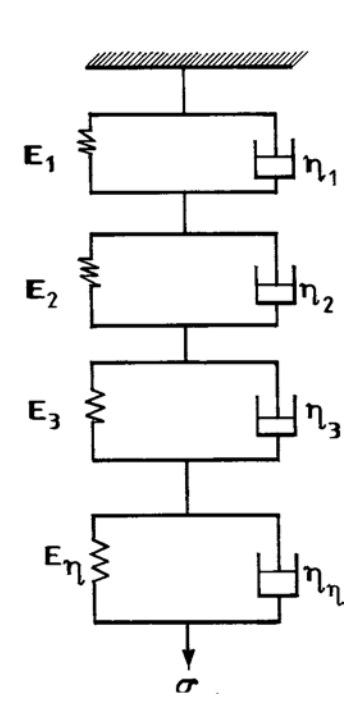
#### Modelo de Takaynagi

Maxwell-Weichert (relaxação)

$$\sigma = \sigma_1 + \sigma_2 + \sigma_3 + \ldots + \sigma_{n-1} + \sigma_n$$



#### Voigt-Kelvin (Fluência)

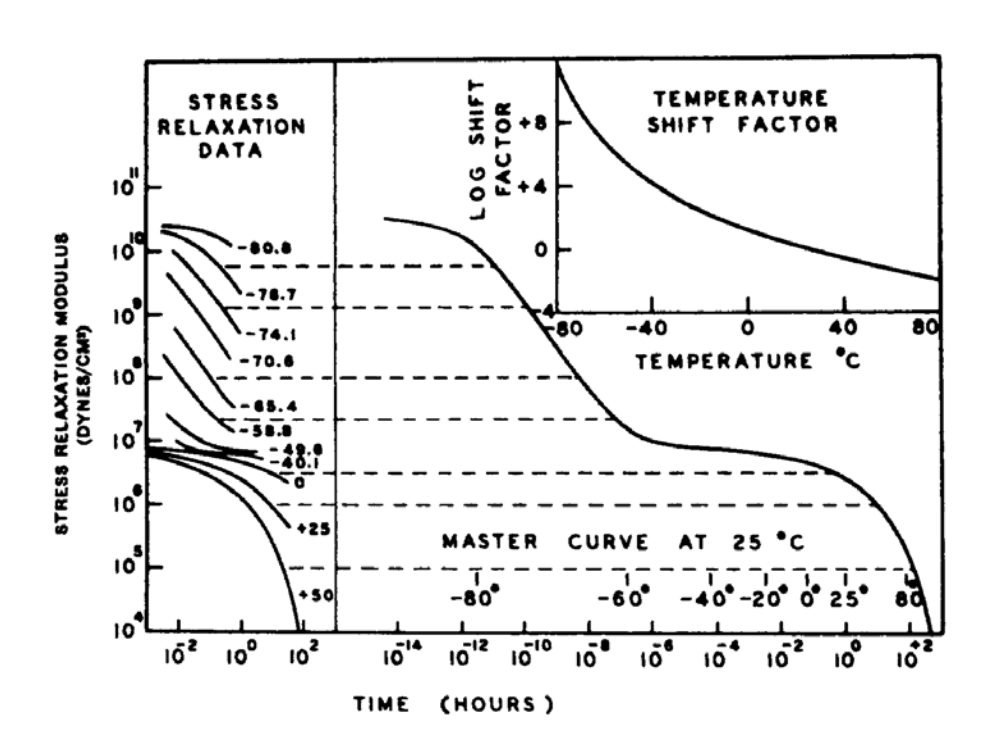


## Princípio da Superposição tempotemperatura

#### Princípio da superposição tempo-temperatura

Aplicações das curvas de relaxação de tensão e o princípio da superposição tempo-temperatura (Teoria WLF - Williams- Landel – Ferry, JACS, 77, 3701, (1955)).

$$loga_T = log rac{t(T)}{tig(T_{ref}ig)} = rac{-C_1(T-T_{ref}ig)}{C_2 + (T-T_{ref}ig)}$$



A construção de uma curva padrão para o poli<br/>isobutileno. T<br/>g do polímero a 10 seg é -70  $_{\rm o}{\rm C}.$ 

#### O fator de deslocamento:

$$log a_T = log \frac{t(T)}{t(T_g)} = \frac{-17,44(T - T_g)}{51,6 + (T - T_g)}$$

$$log a_T = log \frac{t(T)}{t(T_{ref})} = \frac{-8,86(T - T_{ref})}{101,6 + (T - T_{ref})}$$

$$T_{ref} = 50 \text{ K acima da } T_g$$

0.001

0.01

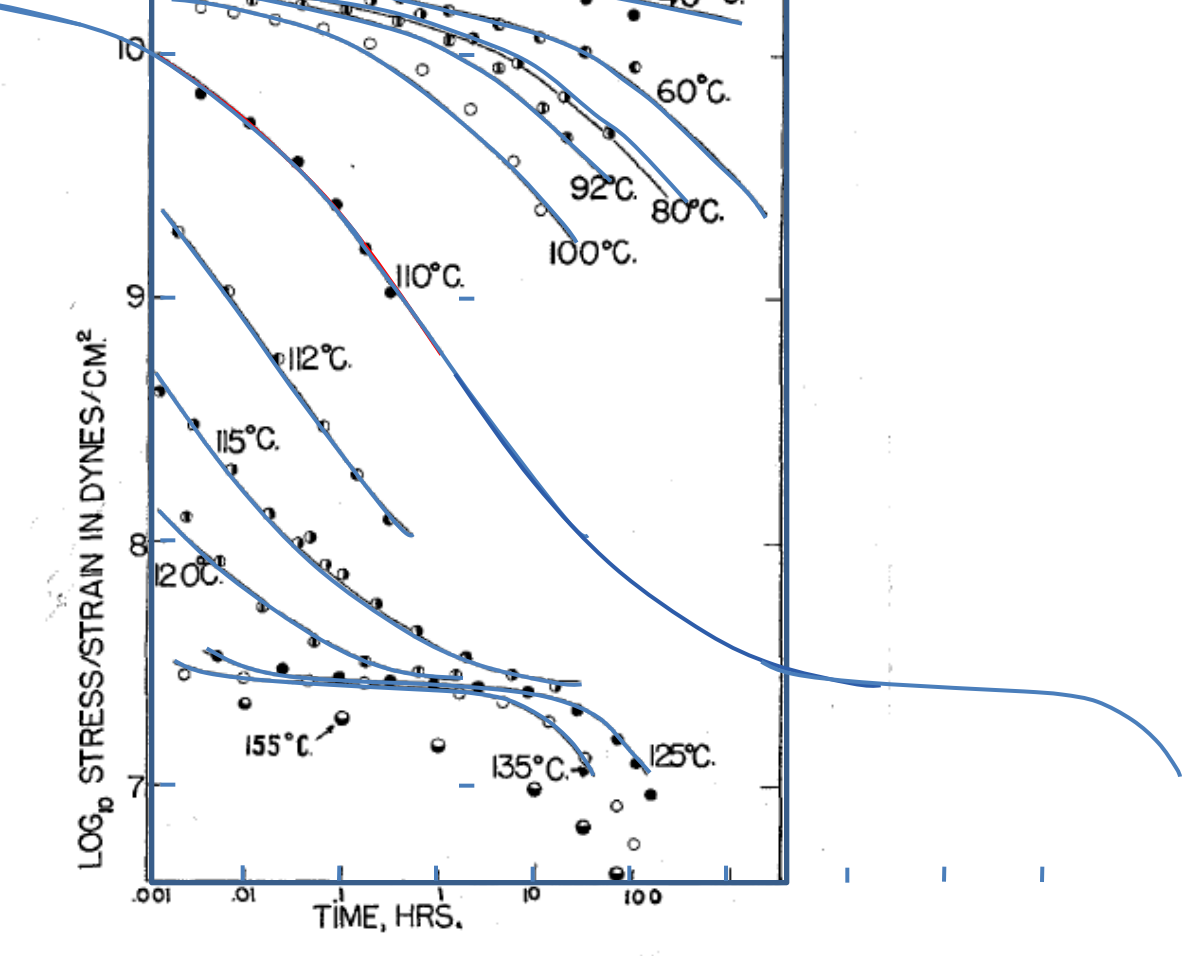
TIME, HRS

Fig. 5. Comparison of experimental curves and master stress relaxation curve for polymethyl methacrylate.

100

10

0.1



TIME, HRS

Fig. 5. Comparison of experimental curves and master stress relaxation curve for polymethyl methacrylate.

0.001 0.01 0.1 **1** 10 100

#### Teoria WLF - Williams - Landel - Ferry

$$loga_T = log \frac{t(T)}{t(T_{ref})} = \frac{-C_1(T - T_{ref})}{C_2 + (T - T_{ref})}$$

POLYMETHYL METHACRYLATE

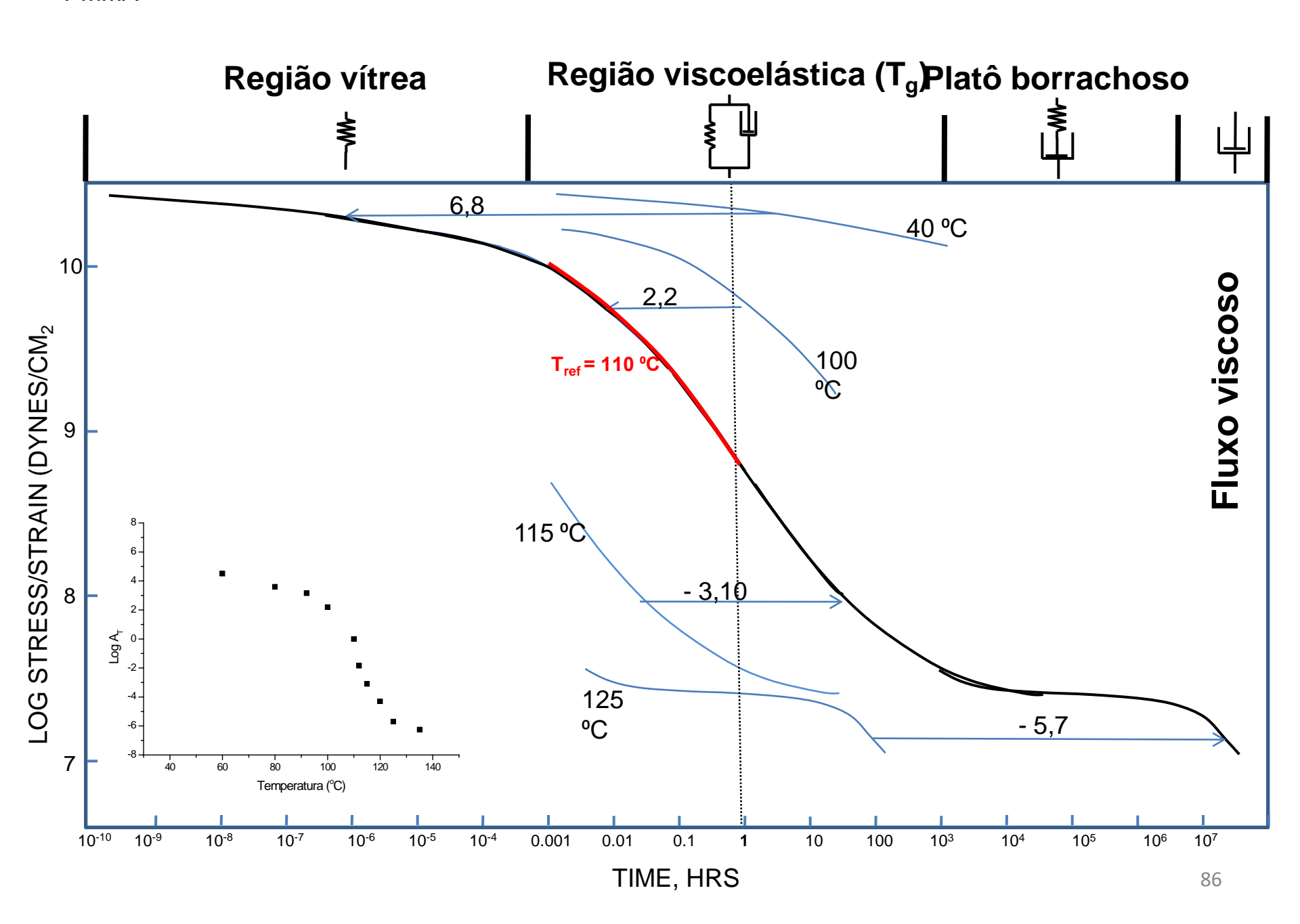
 $T_{ref} = 50 \text{ K acima da } T_g$ 

#### TABLE I

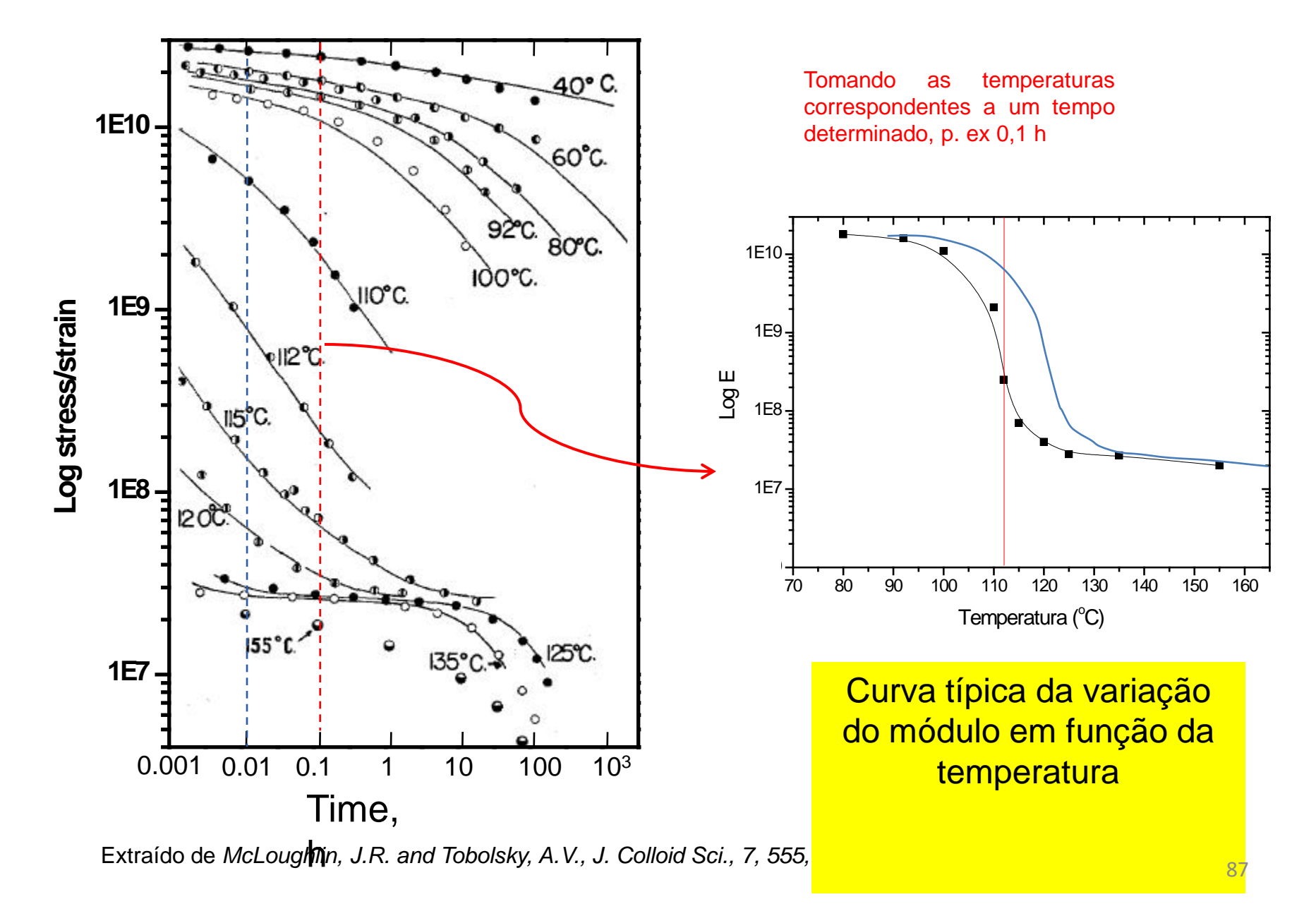
Dependence of  $\kappa(T)$  on Temperature for Polymethyl Methacrylate

$^{T}_{\circ C}$ .		κ	log₁e κ	$-\frac{d \log_{10} \kappa}{dT}$
40	4.0	$\times$ 10 $^{\circ}$	6.60	
20	2.0	U 101	4.50	0.105
60	3.2	$\times$ 104	4.50	0.045
80	4.0	$\times 10^{3}$	3.60	
				0.038
92	1.4	$\times$ 10 <sup>3</sup>	3.15	A 116
100	1.6	$\times$ 10 <sup>2</sup>	2.20	0.118
100	1.0	× 10	2,20	0.220
110	1.0		0	
119	1.4	V 10-2	1 05	0.925
112	1.4	× 10 <sup>-2</sup>	-1.85	0.417
115	8.0	$\times$ 10 <sup>-4</sup>	-3.10	
				0.240
120	5.0	× 10⁻⁵	-4.30	0.280
125	2.0	× 10 <sup>-6</sup>	-5.70	0.200
,	3.0			0.055
135	5.60	$\times$ 10 <sup>-7</sup>	-6.25	

k(T) descreve a quantidade de deslocamento da curva mestre ao longo do eixo logaritmo de tempo de uma temperatura para a outra.



## Conjunto completo de curvas de relaxação de tensão para o PMMA desde o estado vítreo até o estado borrachoso



### Fundamentos do Princípio de Superposição Tempo-Temperatura Consequências da teoria do volume livre:

**Observação**: O temo e a temperatura exercem papel equivalente sobre as propriedades viscoelásticas dos polímeros

**Implicação a primeira vista**: Em temperaturas mais elevadas, o tempo se move mais rápido para as moléculas. (ver dependência tempo de relaxação e temperatura). Sendo P a probabilidade de as barreiras para a rotação/movimentação cooperativas por unidade de tempo serem superadas.

$$P = exp\left(\frac{-E_{atv}}{KT}\right)$$

O aumento da temperatura provoca um aumento das movimentações coordenadas de segmentos da macromolécula.

Aumentando o Tempo, aumentamos a probabilidade de ocorrer movimentos coordenados de segmentos da macromolécula

Equivalência tempo-temperatura

Efeito da massa molar sobre o módulo de armazenamento G' para uma série regular de PS.

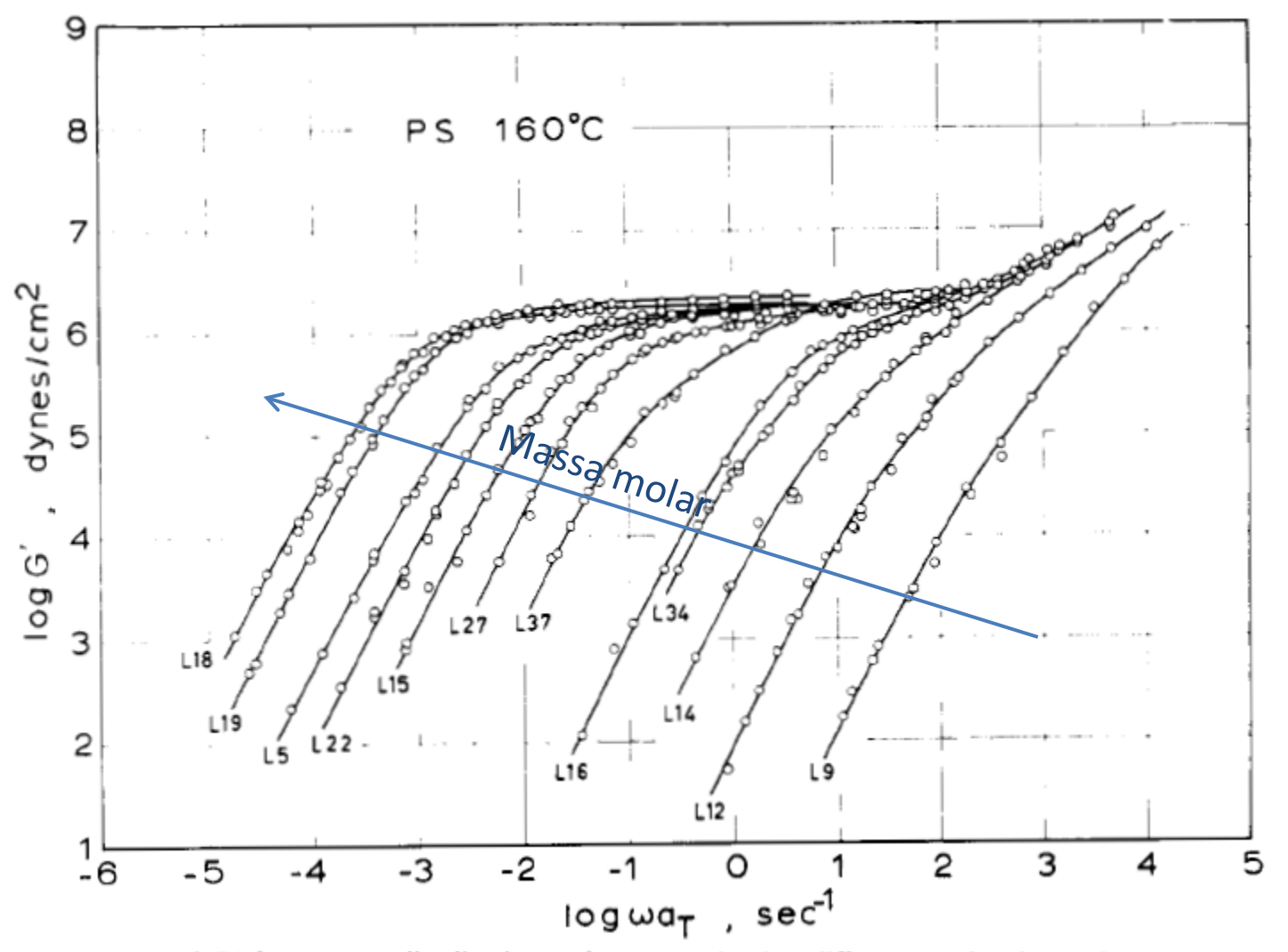


Figure 2. Master curves of G' for narrow-distribution polystyrenes having different molecular weights. The reference temperature is  $160^{\circ}$ .

S. Onogi, et al, Macromolecules, 3, 109 (1970).